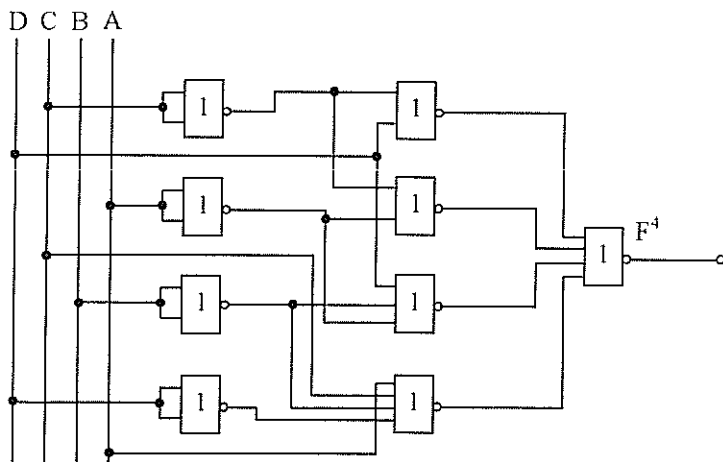
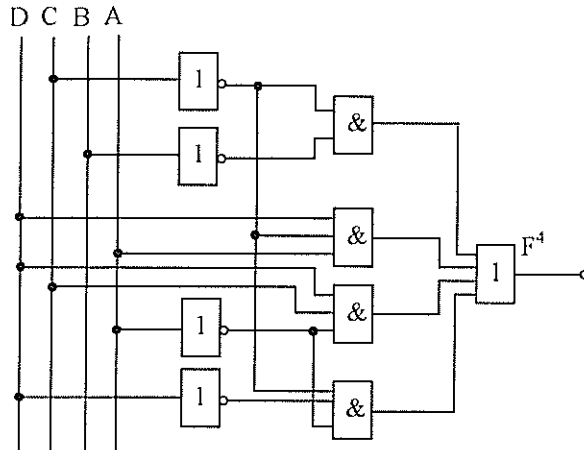


Az egyszerűsített függvény: $F^4 = (D + \bar{C}) \cdot (\bar{C} + \bar{A}) \cdot (D + \bar{B} + \bar{A}) \cdot (\bar{D} + C + \bar{B} + A)$.
 A függvény NOR kapus realizálása a 6.7. ábrán látható.



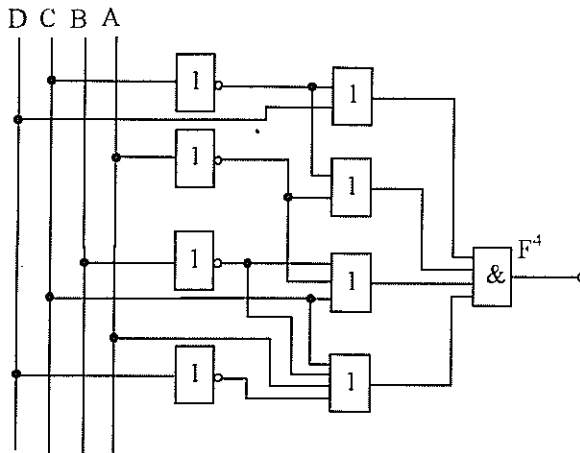
6.7. ábra

A két függvény NÉV rendszerben történő realizálása a 6.8. ábrán látható.



$$F^4 = \bar{C} \cdot \bar{B} + D \cdot \bar{C} \cdot A + D \cdot C \cdot \bar{A} + \bar{D} \cdot \bar{C} \cdot \bar{A}$$

6.8. ábra (első egyenlet)



$$F^4 = (\bar{D} + \bar{C}) \cdot (\bar{C} + \bar{A}) \cdot (\bar{D} + \bar{B} + \bar{A}) \cdot (\bar{D} + C + \bar{B} + A)$$

6.8. ábra (második egyenlet)

3. példa

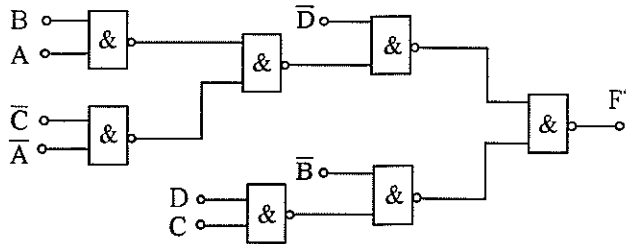
Realizáljuk egyszerűsítés után kétbemenetű NAND és kétbemenetű NOR kapukkal az $F^4 = \Sigma^4(0,2,3,4,5,7,8,9,12,13)$ függvényt! A változók ponált és negált formában is rendelkezésre állnak.

Megoldás

Az egyszerűsített függvény: $F^4 = \bar{D} \cdot B \cdot A + D \cdot \bar{B} + \bar{D} \cdot \bar{C} \cdot \bar{A} + C \cdot \bar{B}$ (vagy: $F^4 = \bar{D} \cdot \bar{C} \cdot B + D \cdot \bar{B} + \bar{B} \cdot \bar{A} + \bar{D} \cdot C \cdot A$).

A függvény kiemeléssel olyan alakra hozható, amely alkalmas kétbemenetű kapukkal történő realizálásra: $F^4 = \bar{D} \cdot (B \cdot A + \bar{C} \cdot \bar{A}) + \bar{B} \cdot (D + C)$.

A függvény realizálása NAND kapukkal 6.9. ábrán látható.

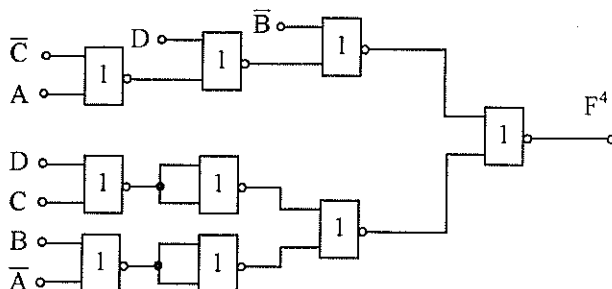


6.9. ábra

Átalakítás és egyszerűsítés után: $F^4 = (\bar{D} + \bar{B}) \cdot (\bar{C} + \bar{B} + A) \cdot (D + C + B + \bar{A})$.

Az első két változócsoportot kiemeléssel alkalmassá lehet tenni a kétbemenetű kapukkal történő realizálásra. A harmadik változócsoport csak inverterrel történő szinteltolással realizálható. Az ehhez szükséges csoportosítást zárójelekkel mutatjuk: $F^4 = (\bar{B} + \bar{D} \cdot (\bar{C} + A)) \cdot ((D + C) + B + A)$.

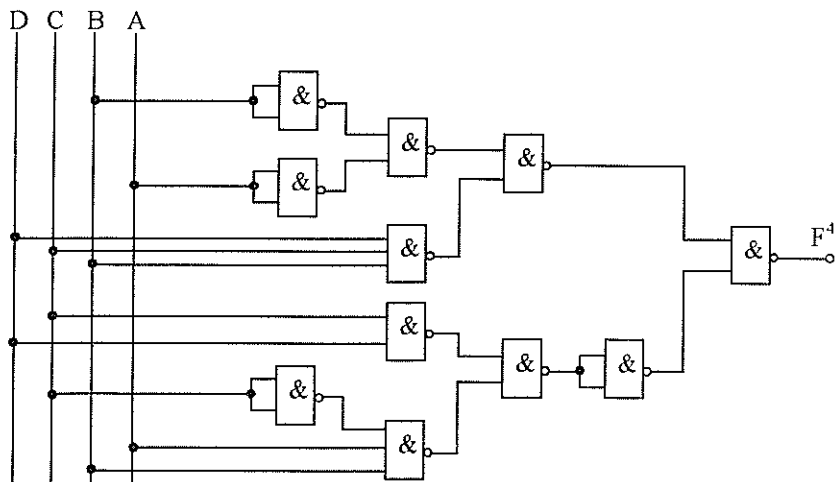
A függvény realizálása NOR kapukkal a 6.10. ábrán látható.



6.10. ábra

4. példa

Határozzuk meg, hogy milyen bemeneti vezérlés esetén keletkezik dinamikus hazárd a 6.11. ábrán látható kombinációs hálózatban! Alakítsuk át úgy az áramkört, hogy megszűnjön a hazárd!



6.11. ábra

Megoldás

A felső logikai hálózat az $F^4 = \bar{B} \cdot \bar{A} + D \cdot C \cdot B$ függvényt, az alsó hálózat az $F^4 = D \cdot C + C \cdot B \cdot A$ függvényt valósítja meg. A mintermtáblázatban ábrázolt függvények a 6.12. ábrán láthatók.

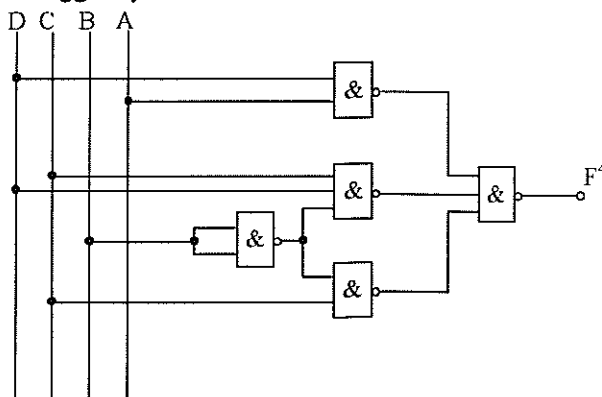
				B					
D		A		C		D		B	
1	4	5	7	6	4	5	7	6	
1	12	13	15	14	1	1	1	1	
1	8	9	11	10	12	13	15	14	
					8	9	11	10	

6.12. ábra

A mintermtáblából látható, hogy a hálózatokban sztatikus hazárd keletkezik, ha a bemeneteken az 1100–1110, ill. az 1011–1111 bemeneti vezérlések váltják egymást. A sztatikus hazárdok miatt (az inverter késleltetése miatt) a kimeneten 1–0–1 dinamikus hazárd jön létre. A hazárd megszüntetésére a 12–14, ill. 11–15 mintermekből álló hurkot kell redukálni. Így a hazárdmentesített hálózatok függvényei az $F^4 = \bar{B} \cdot \bar{A} + D \cdot C \cdot B + D \cdot C \cdot \bar{A}$ és az $F^4 = D \cdot C + \bar{C} \cdot B \cdot A + D \cdot B \cdot \bar{A}$ függvények lesznek.

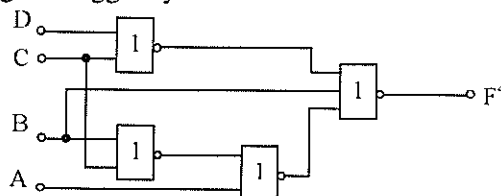
Feladatok

6.3.1. Írjuk fel a 6.13. ábrán látható NAND kapukból felépített hálózat egyszerűsített logikai függvényét!



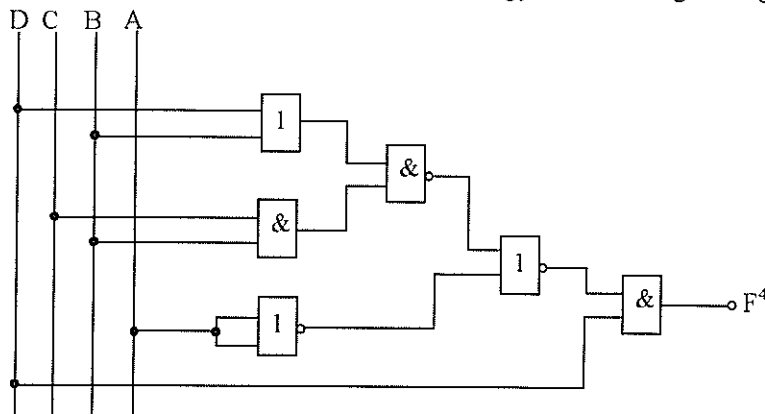
6.13. ábra

6.3.2. Írjuk fel a **6.14.** ábrán látható NOR kapukból álló kombinációs hálózat egyszerűsített logikai függvényét!



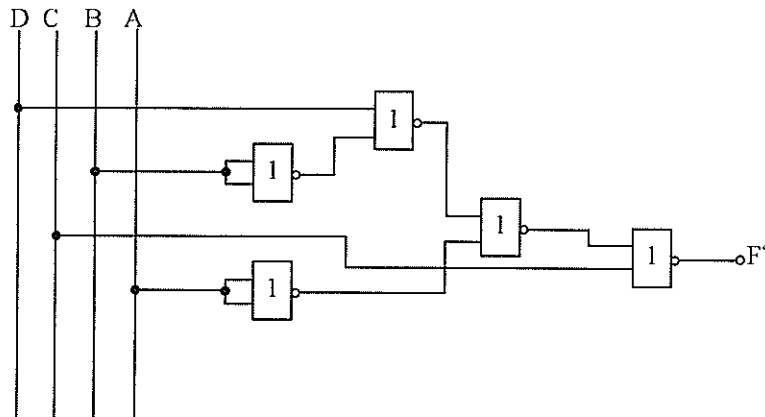
6.14. ábra

6.3.3 Írjuk fel a **6.15.** ábra kombinációs hálózatának egyszerűsített logikai függvényét!



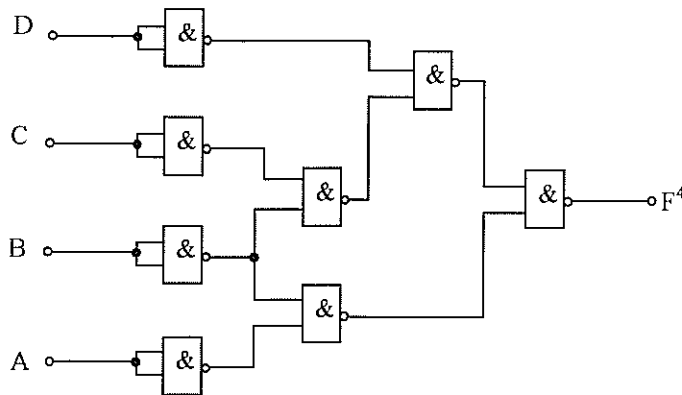
6.15. ábra

6.3.4. Írjuk fel a **6.16.** ábrán látható kombinációs hálózat logikai függvényének diszjunktív és konjunktív sorszámos alakját!



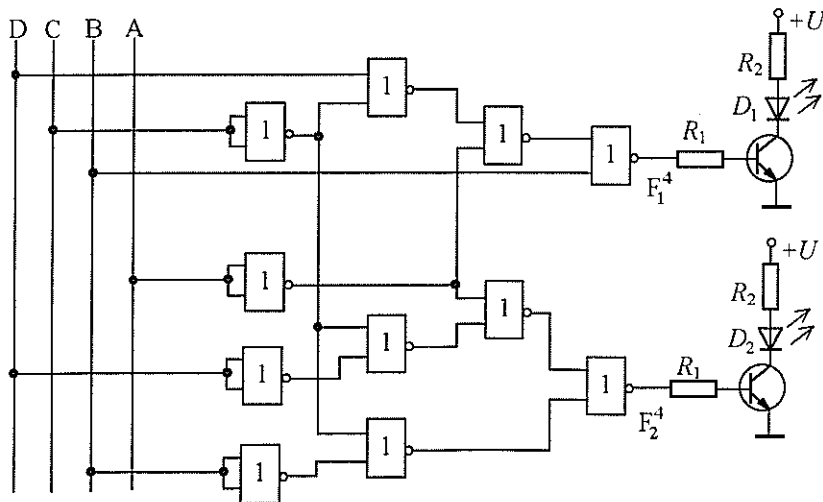
6.16. ábra

6.3.5. Írjuk fel a 6.17. ábrán látható kombinációs hálózat logikai függvényének konjunktív és diszjunktív sorszámos alakját!



6.17. ábra

6.3.6. Írjuk fel milyen logikai függvény szerint világít a 6.18. ábrán látható hálózatban a D_1 és D_2 LED.



6.18. ábra

6.3.7. Egyszerűsítés után realizáljuk NAND kapukkal a következő függvényeket! A változók ponált és negált formában is rendelkezésre állnak.

- a) $F^3 = \Sigma^3(0,1,2,5,6)$
 b) $F^3 = \Sigma^3(1,2,3,6,7)$
 c) $F^3 = \Pi^3(0,3,4,6,7)$
 d) $F^3 = \Pi^3(2,3,6,7)$
 e) $F^4 = \Pi^4(0,2,3,13,14,15)$
 f) $F^4 = \Pi^4(0,1,2,3,6,7,14,15)$
 g) $F^4 = \Pi^4(5,6,7,8,11,12,13)$
 h) $F^4 = \Pi^4(0,1,9,10,11,14,15)$
 i) $F^4 = \Pi^4(3,4,5,6,11,15; \text{ hat.: } 7,8,10)$
 j) $F^4 = \Pi^4(2,3,10; \text{ hat.: } 0,5,11)$

6.3.8. Egyszerűsítés után realizáljuk NOR kapukkal a következő függvényeket! A változók ponált és negált formában is rendelkezésre állnak.

- a) $F^3 = \Pi^3(0,1,3,7)$
 b) $F^3 = \Pi^3(1,3,4,6)$
 c) $F^3 = \Pi^3(1,3,5)$
 d) $F^3 = \Sigma^3(0,1,6,7)$
 e) $F^4 = \Sigma^4(1,5,7,9,13,15)$
 f) $F^4 = \Sigma^4(0,1,4,5,10,11,12)$
 g) $F^4 = \Sigma^4(1,2,3,9,10,11)$
 h) $F^4 = \Sigma^4(0,1,2,3,8,9,14,15)$
 i) $F^4 = \Pi^4(3,8,9,11; \text{ hat.: } 1,2,5,10)$
 j) $F^4 = \Sigma^4(4,5,6,13,15; \text{ hat.: } 0,1,2,7,9,10)$

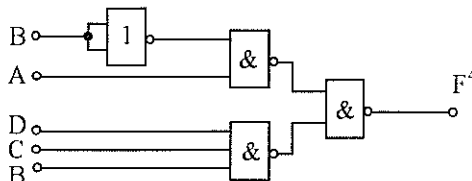
6.3.9. Egyszerűsítés után realizáljuk NÉV rendszerben a következő függvényeket! A változók ponált és negált formában is rendelkezésre állnak.

- a) $F^3 = \Pi^3(0,2,4,5)$
 b) $F^4 = \Sigma^4(0,1,4,5,10,11)$
 c) $F^4 = \Pi^4(0,2,5,8,10,13,15)$
 d) $F^4 = \Sigma^4(0,1,6,12; \text{ hat.: } 2,4,5,14)$

6.3.10. Realizáljuk egyszerűsítés után kétbemenetű NAND és kétbemenetű NOR kapukkal a következő függvényeket! A változók ponált és negált formában is rendelkezésre állnak.

- a) $F^4 = \Sigma^4(0,2,5,7,8,10)$
 b) $F^4 = \Sigma^4(0,1,6,7,10,11)$
 c) $F^4 = \Sigma^4(0,1,2,4,8,10,11,12,13,14,15)$
 d) $F^3 = \Pi^3(1,3,7)$

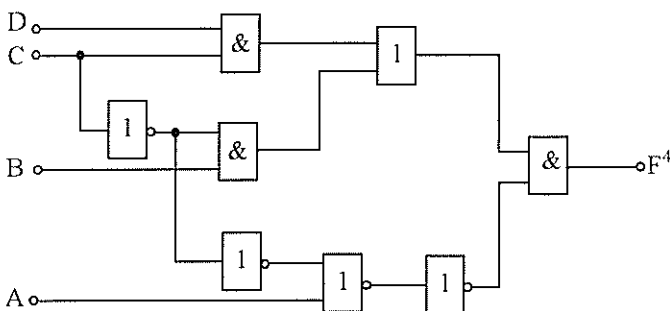
- 6.3.11.** Határozzuk meg, hogy milyen bemeneti vezérlésnél jelentkezik hazárd a 6.19. ábrán látható kombinációs hálózatnál! Végezzük el a hálózat hazárdmentesítését!



6.19. ábra

- 6.3.12.** Határozzuk meg, hogy milyen bemeneti vezérlésnél fordul elő hazárd az $F^4 = \Sigma^4(3,7,8,10,11,15)$ függvényt megvalósító kombinációs hálózatnál! Végezzük el a hazárdmentesítést!

- 6.3.13.** Határozzuk meg azt a logikai függvényt, amely hazárdmentessé teszi a 6.20. ábrán látható kombinációs hálózatot!



6.20. ábra

- 6.3.14.** Készítsünk olyan kombinációs hálózatot, amely a kimenetén $F=1$ jelzést ad, ha a bemenetére a decimális 1,3,5,7 számok megfelelő háromtöbbletes kód-szó érkezik! A 0,2,4,6,8 decimális számoknak megfelelő háromtöbbletes kód-számok esetén a kimenet határozatlannak tekinthető, egyéb esetekben pedig $F=0$. A kombinációs hálózat felépítéséhez NAND kapukat használunk!

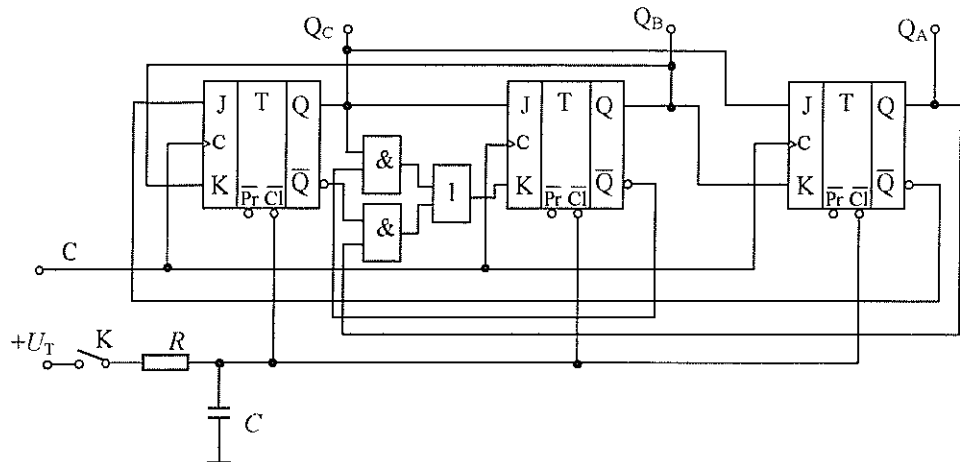
- 6.3.15.** Készítsünk olyan kombinációs hálózatot NAND, majd NOR kapukból, amely a kimenetén $F=0$ -val jelez, ha a négy bemeneti vonalára bináris kódban értelmezve páros szám, vagy a 7-es szám érkezik! A változók csak ponált formában állnak rendelkezésünkre.

- 6.3.16.** Készítsünk olyan kombinációs hálózatot kétbemenetű NOR kapukkal, amely a kimenetén $F=1$ -gyel jelez, ha a négy bemeneti vonalára kettőnél több „1”-es érkezik! A változók ponált és negált formában is rendelkezésre állnak.

6.4. Sorrendi hálózatok analízise és realizálása

1. példa

Határozzuk meg a 6.21. ábrán látható szinkron sorrendi (szekvenciális) hálózat K kapcsolójának zárása után a Q_C , Q_B , Q_A kimeneteken az órajelek hatására kialakuló állapot sorozatot! Ábrázoljuk a kimeneti állapotokat az idő függvényében!



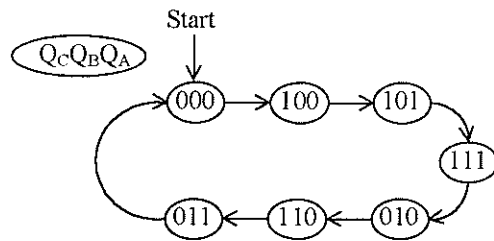
6.21. ábra

Megoldás

A K kapcsoló zárása után a tárolók a sztatikus törlőbemenetükön keresztül törlődnek, ezért a kiinduló állapot: $Q_C=0$; $Q_B=0$; $Q_A=0$. A vezérlési függvények: $J_C=\overline{Q_A}$; $K_C=Q_B$; $J_B=Q_A$; $K_B=Q_C \cdot \overline{Q_B} + \overline{Q_C} \cdot Q_A$; $J_A=Q_C$; $K_A=Q_B$. Az állapotátmeneti táblázat:

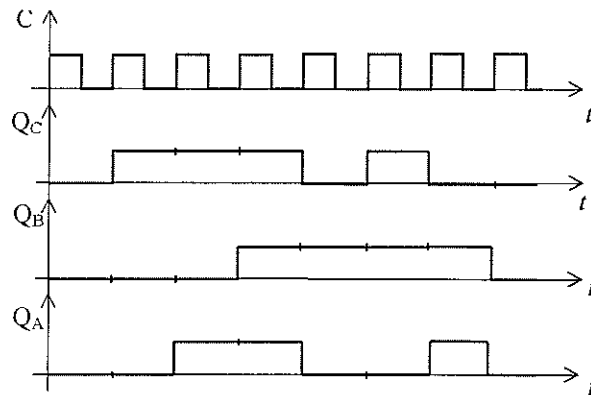
Q_C	Q_B	Q_A	n	J_C	K_C	J_B	K_B	J_A	K_A	$n+1$	Q_C	Q_B	Q_A
0	0	0		1	0	0	0	0	0		1	0	0
0	0	1		0	0	1	1	0	0		0	1	1
0	1	0		1	1	0	0	0	1		1	1	0
0	1	1		0	1	1	1	0	1		0	0	0
1	0	0		1	0	0	1	1	0		1	0	1
1	0	1		0	0	1	1	1	0		1	1	1
1	1	0		1	1	0	0	1	1		0	1	1
1	1	1		0	1	1	0	1	1		0	1	0

Az állapotátmeneti tábla alapján felrajzolható a 6.22. ábrán látható állapotdiagram.

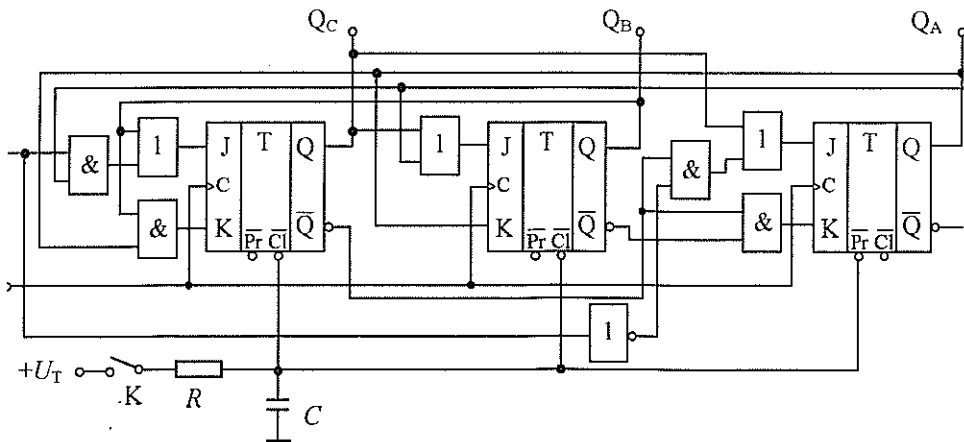


6.22. ábra.

Az idő függvényében az áramkör zárt ciklusát ábrázoljuk. Ez látható a 6.23. ábrán.



6.23. ábra



6.24. ábra

2. példa

Határozzuk meg a 6.24. ábrán látható szinkron sorrendi hálózat állapotdiagramját! Az F bit egy külső rendszerből érkező feltételbit.

Megoldás

A vezérlési függvények:

$$J_C = Q_B + F \cdot \overline{Q_A}; J_B = Q_C + \overline{Q_A}; J_A = Q_C + \overline{F} \cdot \overline{Q_C}.$$

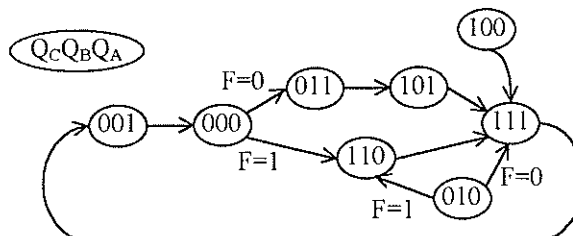
$$K_C = Q_B \cdot Q_A; K_B = Q_A; K_A = \overline{Q_C} \cdot \overline{Q_B}.$$

Az állapotátmeneti táblázat:

Q_C	Q_B	Q_A	J_C	K_C	J_B	K_B	J_A	K_A	$n+1$			
									$F=0$	Q_C	Q_B	Q_A
0	0	0	F 0		1 0		\bar{F} 1		0 1 1		1 1	0
0	0	1	0 0		0 1		\bar{F} 1		0 0 0		0 0	0
0	1	0	1 0		1 0		\bar{F} 0		1 1 1		1 1	0
0	1	1	1 1		0 1		\bar{F} 0		1 0 1		1 0	1
1	0	0	F 0		1 0		1 0		1 1 1		1 1	1
1	0	1	0 0		1 1		1 0			1 1	1	
1	1	0	1 0		1 0		1 0			1 1	1	
1	1	1	1 1		1 1		1 0			0 0	1	

A hálózat az 100 és a 010 állapotokat soha nem veszi fel, mert bekapcsoláskor a sztatikus bemenetek vezérlése miatt a tárolók a 001 állapotba kerülnek. Az órajelek hatására ezután már az állapotdiagramon látható ciklikus működés jellemzi a hálózatot.

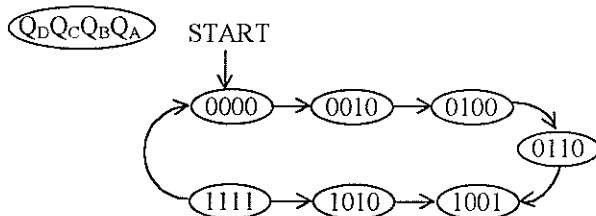
Az állapotdiagram az 6.25. ábrán látható.



6.25. ábra

3. példa

Készítsünk olyan szinkron sorrendi hálózatot, amely a 6.26. ábrán látható állapotdiagram szerint működik! A realizáláshoz $J-K$ tárolókat és tetszőleges kapuáramköröket használhatunk.



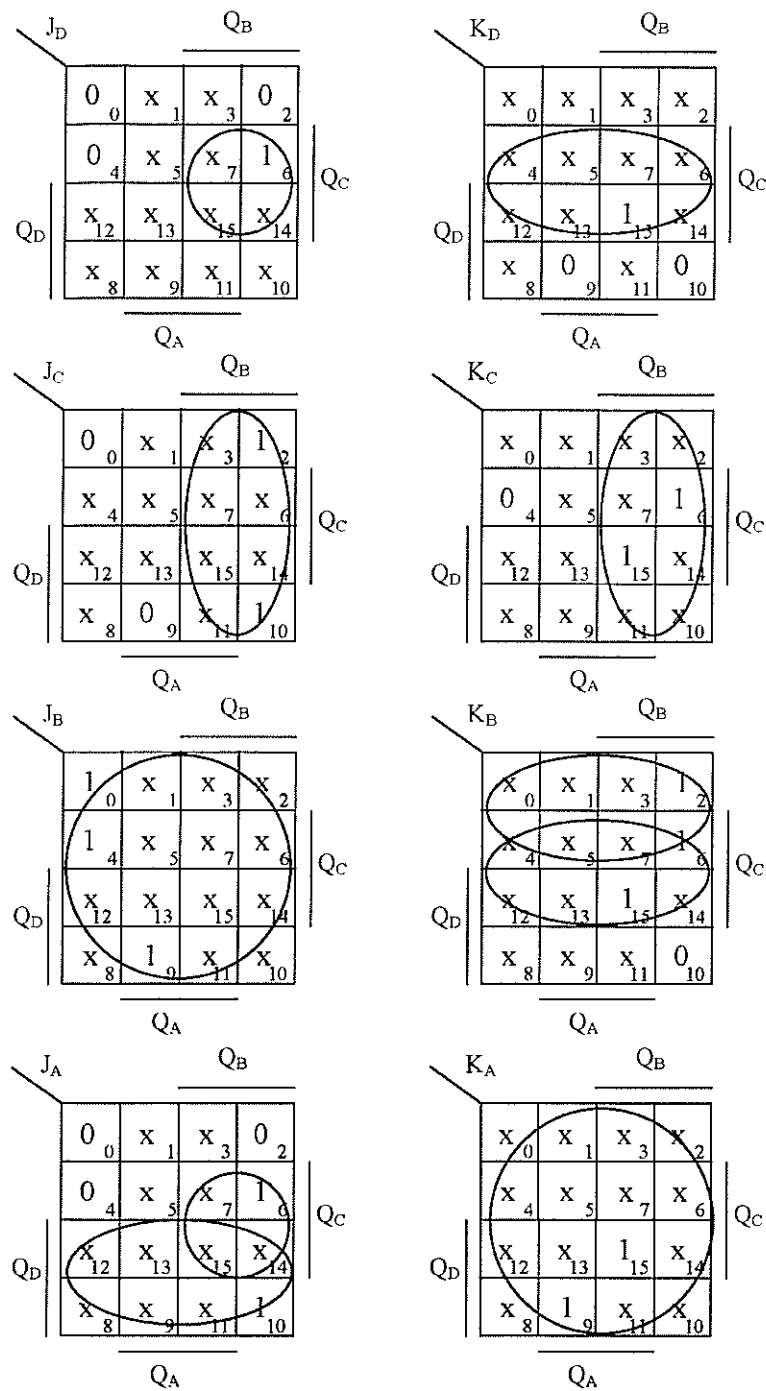
6.26. ábra

Megoldás

Az állapotdiagram alapján felírható az állapotátmeneti táblázat:

n				$n+1$				J_D	K_D	J_C	K_C	J_B	K_B	J_A	K_A
Q_D	Q_C	Q_B	Q_A	Q_D	Q_C	Q_B	Q_A								
0	0	0	0	0	0	1	0	0	x	0	x	1	x	0	x
0	0	0	1	x	x	x	x	x	x	x	x	x	x	x	x
0	0	1	0	0	1	0	0	0	x	1	x	x	1	0	x
0	0	1	1	x	x	x	x	x	x	x	x	x	x	x	x
0	1	0	0	0	1	1	0	0	x	x	0	1	x	0	x
0	1	0	1	x	x	x	x	x	x	x	x	x	x	x	x
0	1	1	0	1	0	0	1	1	x	x	1	x	1	1	x
0	1	1	1	x	x	x	x	x	x	x	x	x	x	x	x
1	0	0	0	x	x	x	x	x	x	x	x	x	x	x	x
1	0	0	1	1	0	1	0	x	0	0	x	1	x	x	1
1	0	1	0	1	1	1	1	x	0	1	x	x	0	1	x
1	0	1	1	x	x	x	x	x	x	x	x	x	x	x	x
1	1	0	0	x	x	x	x	x	x	x	x	x	x	x	x
1	1	0	1	x	x	x	x	x	x	x	x	x	x	x	x
1	1	1	0	x	x	x	x	x	x	x	x	x	x	x	x
1	1	1	1	0	0	0	0	x	1	x	1	x	1	x	1

A $J-K$ tárolók vezérlési függvényeinek $V-K$ tábláit a 6.27. ábra mutatja.

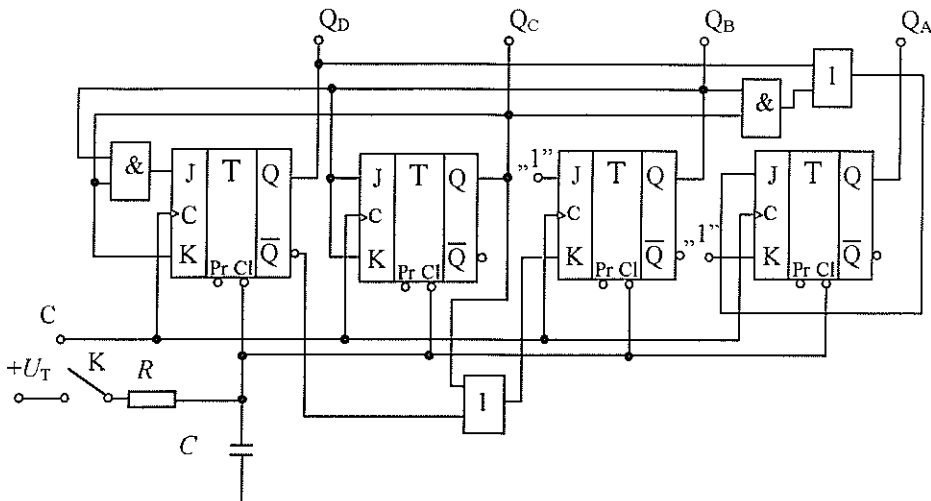


6.27. ábra

A vezérlési függvények a V-K táblák alapján:

$$J_D = Q_C \cdot Q_B; J_C = Q_B; J_B = 1; J_A = Q_D + Q_C \cdot Q_B; K_D = Q_C; K_C = Q_B; K_B = \overline{Q_D} + Q_C; K_A = 1 \quad (K_B = \overline{Q_D} + Q_A \text{ is lehet}).$$

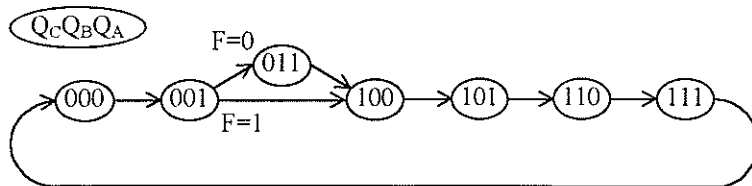
A megvalósított hálózat a 6.28. ábrán látható.



6.28. ábra

4. példa

Készítsünk olyan szinkron sorrendi hálózatot, amely a külső rendszerből érkező feltételből értékétől függően a 6.29. ábrán látható elágazásos állapotdiagram szerint működik! A realizáláshoz *J-K* tárolókat és tetszőleges kapuáramköröket használhatunk.

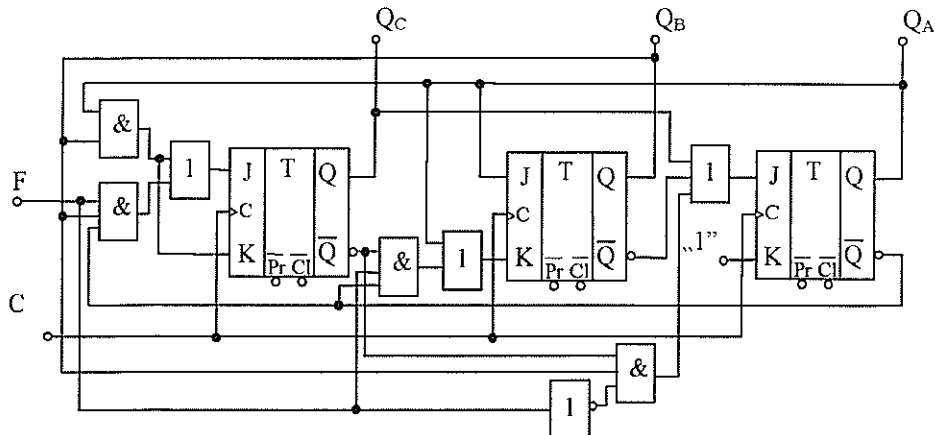
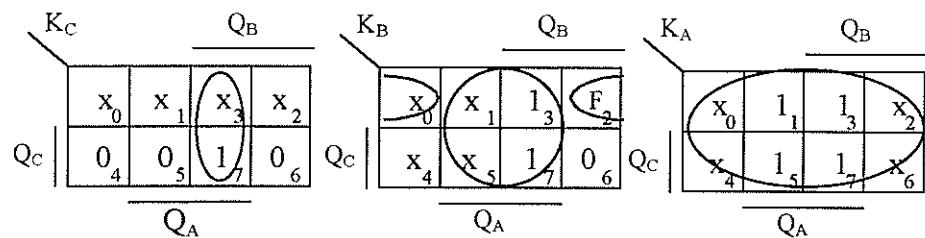
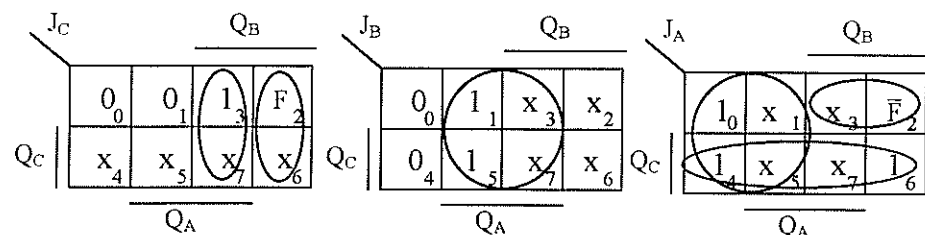


6.29. ábra

Megoldás

Az állapotátmeneti táblázat, a vezérlési függvények V-K táblái és a megvalósított hálózata a 6.30. ábrán láthatók.

n $Q_C\ Q_B\ Q_A$	$n+1$ $Q_C\ Q_B\ Q_A$ $F=0\ F=1$	$J_C\ K_C$	$J_B\ K_B$	$J_A\ K_A$
0 0 0	0 0 1	0 x	0 x	1 x
0 0 1	0 1 0	0 x	1 x	x 1
0 1 0	011 100	F x	x F	\bar{F} x
0 1 1	1 0 0	1 x	x 1	x 1
1 0 0	1 0 1	x 0	0 x	1 x
1 0 1	1 1 0	x 0	1 x	x 1
1 1 0	1 1 1	x 0	x 0	1 x
1 1 1	0 0 0	x 1	x 1	x 1



6.30. ábra

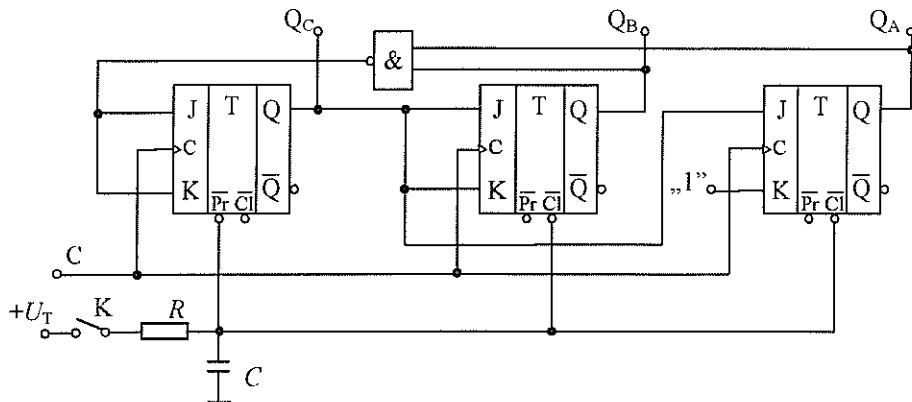
A vezérlési függvények:

$$J_C = Q_B \cdot Q_A + F \cdot Q_B \cdot \overline{Q_A}; J_B = Q_A; J_A = Q_C + \overline{Q_B} + \overline{F} \cdot \overline{Q_C} \cdot Q_B; K_C = Q_B \cdot Q_A;$$

$$K_B = Q_A + F \cdot \overline{Q_C} \cdot \overline{Q_A}; K_A = 1.$$

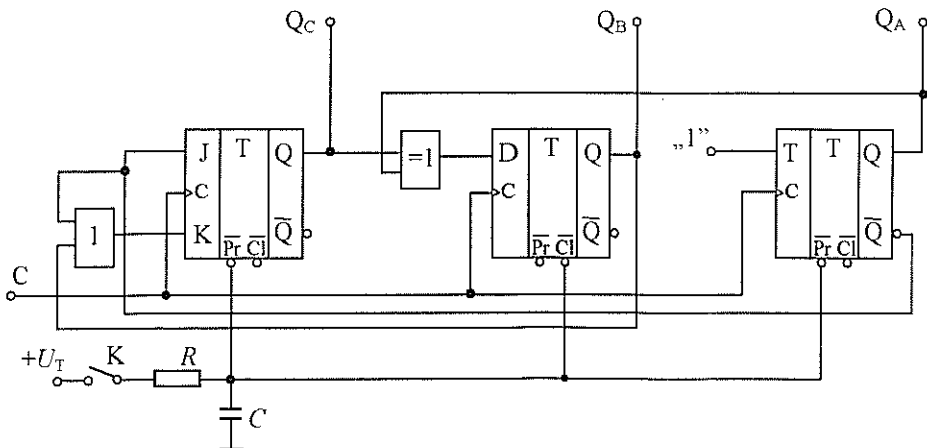
Feladatok

- 6.4.1.** Végezzük el a 6.31. ábrán látható szinkron sorrendi hálózat analízisét! Írjuk fel a vezérlési függvényeket, vegyük fel az állapotátmeneti táblázatot és rajzoljuk fel az állapotdiagramot!



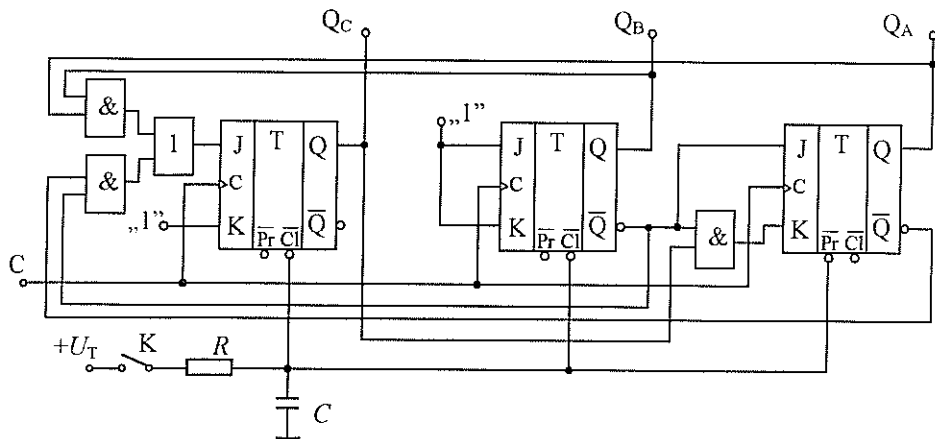
6.31. ábra

- 6.4.2.** Rajzoljuk fel a 6.32. ábrán látható szinkron sorrendi hálózat állapotdiagramját!



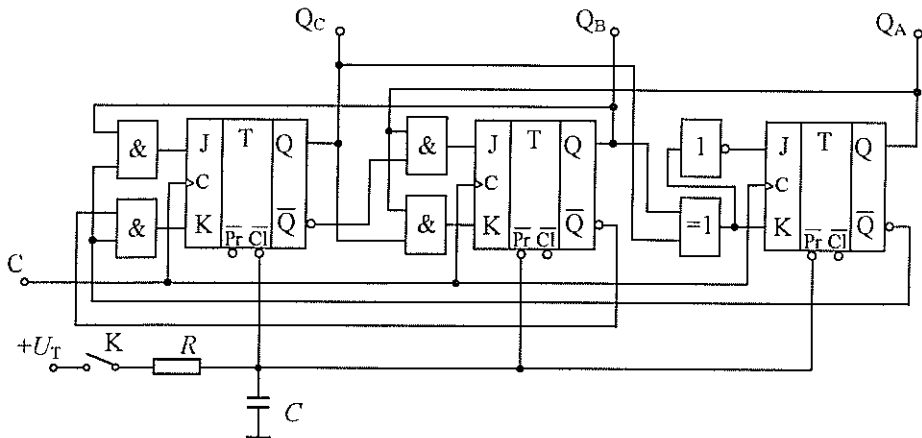
6.32. ábra

6.4.3. Határozzuk meg a 6.33. ábrán látható szinkron sorrendi hálózat állapotdiagramját!



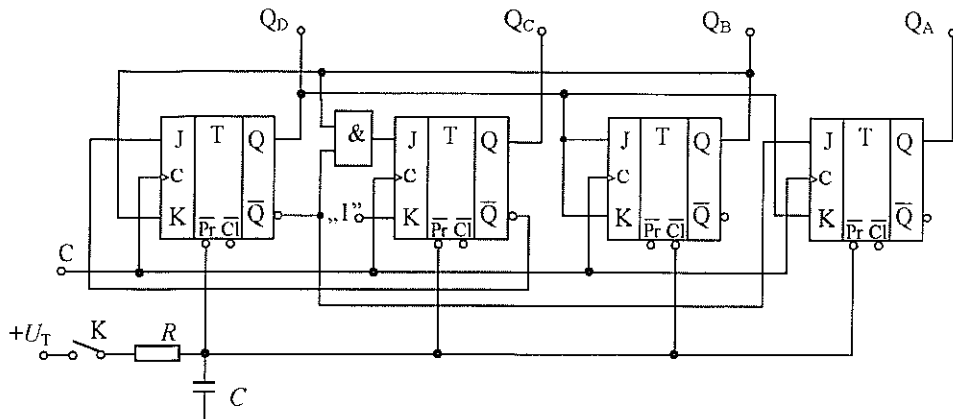
6.33. ábra

6.4.4. Határozzuk meg a 6.34. ábrán látható szinkron sorrendi hálózat állapotdiagramját!



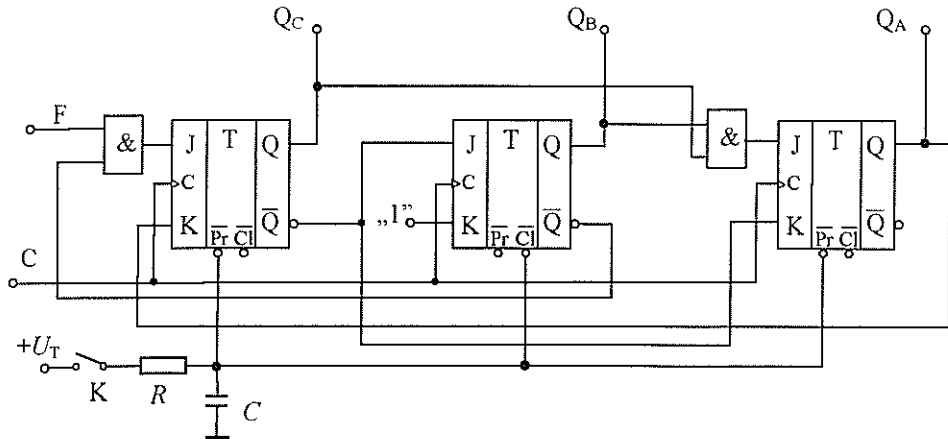
6.34. ábra

6.4.5. Határozzuk meg a 6.35. ábrán látható négybites szinkron sorrendi hálózat állapotdiagramját!



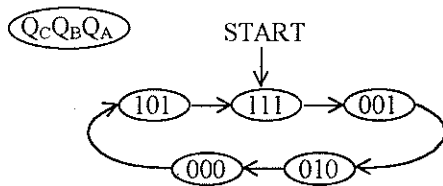
6.35. ábra

6.4.6. Határozzuk meg a 6.36. ábrán látható szinkron sorrendi hálózat állapotdiagramját!

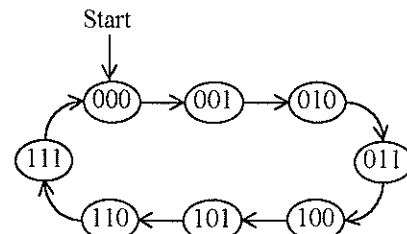


6.36. ábra.

6.4.7. Realizálunk J-K tárolókból egy olyan szinkron sorrendi hálózatot, amely a 6.37. ábrán látható állapotdiagramot valósítja meg!



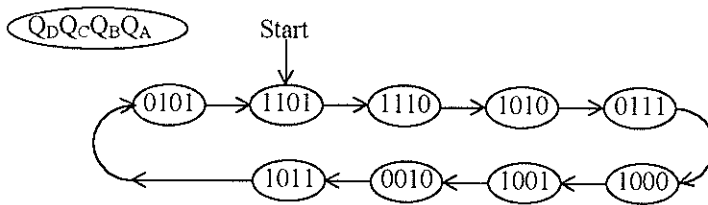
6.37. ábra



6.38. ábra

6.4.8. Realizálunk $J-K$ tárolókból 3 bites szinkron előre számlálót, amely a 6.38. ábrán látható állapotdiagram szerint működik!

6.4.9. Realizálunk $J-K$ tárolókból a 6.39. ábrán látható állapotdiagram szerint működő szinkron sorrendi hálózatot!

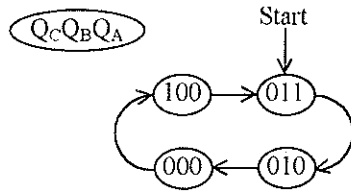


6.39. ábra

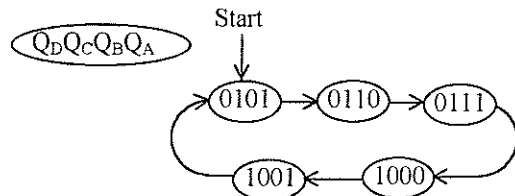
6.4.10. Írjuk fel annak a szinkron sorrendi hálóztnak a vezérlési függvényeit, amely a négy bites Gray-kódot elő a kimenetén! A kezdőállapot a $Q_D = Q_C = Q_B = Q_A = 0$ legyen!

6.4.11. Realizálunk $J-K$ tárolókból olyan szinkron sorrendi hálózatot, amely 3-többletes BCD kódban a páratlan számoknak megfelelő állapotokat veszi fel ciklikusan, növekvő sorrendben! A kezdőállapot: 1010.

6.4.12. Készítsünk olyan szinkron sorrendi hálózatot $J-K$ tárolókból, amely a 6.40. ábrán látható bináris állapotok 3-többletes kódját veszi fel a kimenetein!



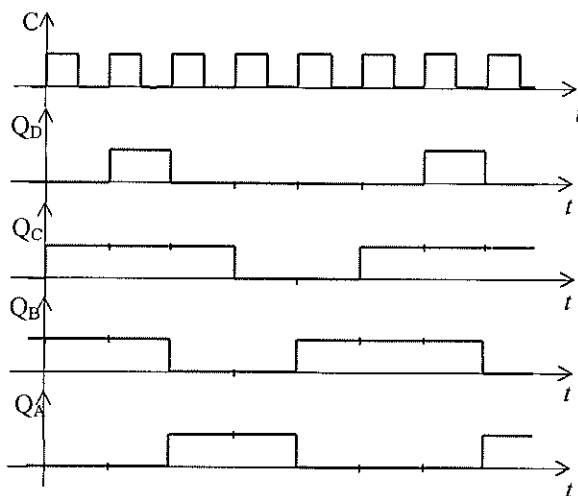
6.40. ábra



6.41. ábra

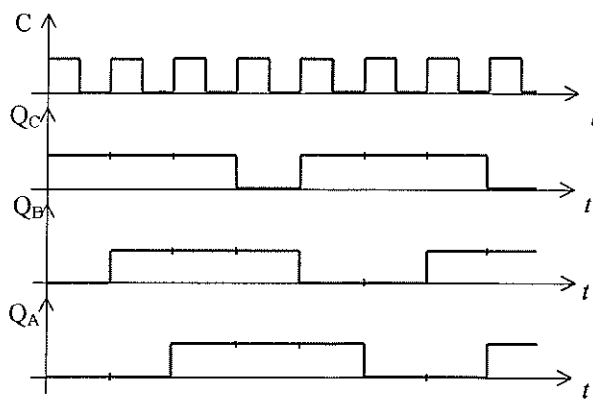
6.4.13. Realizálunk $J-K$ tárolókból olyan szinkron sorrendi hálózatot, amely Gray-kódban a 6.41. ábrán látható állapotdiagram állapotait veszi fel!

6.4.14. Készítsünk olyan szinkron sorrendi hálózatot $J-K$ tárolókból, amely az órajelek hatására kimenetein a 6.42. ábrán látható impulzussorozatot állítja elő!



6.42. ábra

6.4.15. Készítsünk $J-K$ tárolókból háromfázisú órajelgenerátort! A kimeneti jelalakok a **6.43.** ábrán láthatók.



6.43. ábra

6.4.16. Készítsünk $J-K$ tárolókból olyan sorrendi hálózatot, amely a **6.44.** ábrán látható jelalakokat állítja elő a kimenetein!

6.4.17. Realizáljuk a **6.45.** ábrán látható állapotdiagram szerint működő szinkron sorrendi hálózatot $J-K$ tárolókból!

Feladatok

6.2.1. Algebrai módszerekkel egyszerűsítsük a következő logikai függvényeket

a) $F^3 = C \cdot \bar{B} \cdot A + C \cdot B \cdot \bar{A} + \bar{C} \cdot A$

b) $F^2 = \underline{\bar{A}} + \bar{B} + \underline{\bar{B} \cdot \bar{A}}$

c) $F^2 = \bar{B} \cdot A + B \cdot \underline{\bar{A}}$

d) $F^3 = \underline{C \cdot B \cdot \bar{A}} + \underline{B \cdot \bar{A}}$

e) $F^3 = \underline{C \cdot B \cdot \bar{A}} + \bar{C} \cdot B \cdot \bar{A} + C \cdot B \cdot A + C \cdot \bar{B} \cdot A$

f) $F^3 = \bar{C} \cdot \bar{B} \cdot \bar{A} + C \cdot \bar{B} \cdot \bar{A} + C \cdot \bar{B} \cdot A + C \cdot B \cdot A$

g) $F^3 = \bar{C} \cdot B \cdot A + \bar{C} \cdot \bar{B} \cdot A + \bar{C} \cdot B \cdot \bar{A} + \bar{C} \cdot \bar{B} \cdot \bar{A}$

h) $F^2 = B \cdot A + \bar{B} \cdot \bar{A} + \bar{B} \cdot A + \bar{B} \cdot \bar{A}$

i) $F^3 = \underline{C \cdot B \cdot \bar{A}} + C \cdot \bar{B} \cdot \bar{A} + C \cdot B \cdot A$

j) $F^3 = (B + A) \cdot (\bar{C} + A) \cdot (C + \bar{A})$

k) $F^3 = \bar{B} \cdot (B + A) \cdot (C + \bar{A}) \cdot (\bar{C} + \bar{A})$

l) $F^4 = \overline{\underline{D \cdot C \cdot (B + A)} + \underline{C \cdot \bar{B}}}$

m) $F^4 = \overline{(D + C \cdot \overline{(B + A)}) \cdot \bar{B}}$

n) $F^4 = \overline{D + \bar{A} + \bar{D} \cdot \bar{C} \cdot \bar{B} + \bar{D} \cdot B \cdot \bar{A} + \bar{B} + (\overline{C + B + A}) \cdot (D + B + A)} + D \cdot C \cdot \bar{B} \cdot \bar{A}$

6.2.2. Egyszerűsítsük a következő függvényeket grafikus módszerrel!

a) $F^3 = \Sigma^3(0,2,4,6)$

b) $F^3 = \Sigma^3(2,3,4,5)$

c) $F^3 = \Sigma^3(1,3,7)$

d) $F^3 = \Sigma^3(1,4,6)$

e) $F^3 = \Sigma^3(1,2,4,7)$

f) $F^3 = \Sigma^3(1,3,5,7)$

g) $F^3 = \underline{CBA} + \underline{CBA} + \bar{C}BA + \bar{C}\bar{B}\bar{A}$

h) $F^3 = \bar{C}BA + \bar{C}BA + C\bar{B}A + CBA$

6.2.3. Egyszerűsítsük grafikus módszerrel a következő függvényeket!

a) $F^3 = \Pi^3(4,5,6,7)$

b) $F^3 = \Pi^3(5,7)$

c) $F^3 = \Pi^3(1,3,5,7)$

d) $F^3 = \Pi^3(0,2,5,7)$

e) $F^3 = \Pi^3(0,2,4,5)$

f) $F^3 = \Pi^3(1,2,3,4)$

g) $F^3 = (\bar{C} + \bar{B} + A) \cdot (\bar{C} + B + \bar{A}) \cdot (C + \bar{B} + A)$

h) $F^3 = (\bar{C} + \bar{B} + A) \cdot (\bar{C} + B + \bar{A}) \cdot (C + \bar{B} + \bar{A}) \cdot (C + B + A)$

- 6.2.4. Írjuk fel az igazságáblázatból (6.2. táblázat) a következő függvények diszjunktív és konjunktív sorszámos alakját és egyszerűsítük grafikus módszerrel!

<i>C</i>	<i>B</i>	<i>A</i>	<i>F</i>
0	0	0	0
0	0	1	0
0	1	0	0
0	1	1	1
1	0	0	0
1	0	1	1
1	1	0	1
1	1	1	1

a)

<i>C</i>	<i>B</i>	<i>A</i>	<i>F</i>
0	0	0	1
0	0	1	1
0	1	0	1
0	1	1	0
1	0	0	0
1	0	1	1
1	1	0	1
1	1	1	0

b)

6.2. táblázat

- 6.2.5. Egyszerűsítük grafikus módszerrel a következő függvényeket!

- a) $F^4 = \Sigma^4(1,3,5,7)$
- b) $F^4 = \Sigma^4(0,2,8,10)$
- c) $F^4 = \Sigma^4(1,3,8,10,12,14)$
- d) $F^4 = \Sigma^4(0,2,9,10,11)$
- e) $F^4 = \Sigma^4(0,2,4,6,8,10,12,14)$
- f) $F^4 = \Sigma^4(4,5,6,7,13,15)$
- g) $F^4 = \Sigma^4(2,3,4,9,11,13,15)$
- h)
$$F^4 = \bar{D} \cdot \bar{C} \cdot \bar{B} \cdot A + \bar{D} \cdot \bar{C} \cdot B \cdot \bar{A} + \bar{D} \cdot C \cdot \bar{B} \cdot A + \bar{D} \cdot C \cdot B \cdot A + D \cdot \bar{C} \cdot \bar{B} \cdot \bar{A} + D \cdot \bar{C} \cdot B \cdot \bar{A} + D \cdot C \cdot \bar{B} \cdot A + D \cdot C \cdot B \cdot A$$
- i)
$$F^4 = \bar{D} \cdot \bar{C} \cdot \bar{B} \cdot A + \bar{D} \cdot \bar{C} \cdot B \cdot A + \bar{D} \cdot C \cdot \bar{B} \cdot A + \bar{D} \cdot C \cdot B \cdot A + D \cdot \bar{C} \cdot \bar{B} \cdot \bar{A} + D \cdot \bar{C} \cdot B \cdot \bar{A} + D \cdot C \cdot \bar{B} \cdot A + D \cdot C \cdot B \cdot A$$

- 6.2.6. Egyszerűsítük grafikus módszerrel a következő függvényeket!

- a) $F^4 = \Pi^4(8,9,10,11)$
- b) $F^4 = \Pi^4(4,6,12,14)$
- c) $F^4 = \Pi^4(5,7,9,11,13,15)$
- d) $F^4 = \Pi^4(0,1,4,5,8,9)$
- e) $F^4 = \Pi^4(0,2,4,5,6,7,12,13,14,15)$
- f) $F^4 = \Pi^4(1,3,8,10,13,15)$
- g) $F^4 = \Pi^4(0,2,5,8,10,15)$
- h)
$$F^4 = (\bar{D} + C + \bar{B} + \bar{A}) \cdot (\bar{D} + C + B + \bar{A}) \cdot (\bar{D} + \bar{C} + \bar{B} + \bar{A}) \cdot (\bar{D} + \bar{C} + B + \bar{A}) \cdot (D + \bar{C} + \bar{B} + \bar{A}) \cdot (D + \bar{C} + B + A) \cdot (D + C + \bar{B} + A) \cdot (D + C + B + \bar{A})$$
- i)
$$F^4 = (\bar{D} + C + B + \bar{A}) \cdot (\bar{D} + C + B + A) \cdot (\bar{D} + \bar{C} + B + A) \cdot (D + C + \bar{B} + A) \cdot (D + C + B + \bar{A}) \cdot (D + C + B + A) \cdot (D + C + \bar{B} + \bar{A})$$

6.2.7. Írjuk fel az igazságtáblázatból (6.3. táblázat) a következő függvények diszjunktív és konjunktív sorszámos alakját és egyszerűsítsük grafikus módszerrel!

D C B A	F
0 0 0 0	1
0 0 0 1	1
0 0 1 0	1
0 0 1 1	1
0 1 0 0	1
0 1 0 1	0
0 1 1 0	1
0 1 1 1	0
1 0 0 0	0
1 0 0 1	0
1 0 1 0	0
1 0 1 1	1
1 1 0 0	0
1 1 0 1	0
1 1 1 0	0
1 1 1 1	1

a)

D C B A	F
0 0 0 0	0
0 0 0 1	0
0 0 1 0	1
0 0 1 1	1
0 1 0 0	1
0 1 0 1	0
0 1 1 0	0
0 1 1 1	0
1 0 0 0	0
1 0 0 1	1
1 0 1 0	1
1 0 1 1	1
1 1 0 0	1
1 1 0 1	0
1 1 1 0	0
1 1 1 1	1

b)

6.3. táblázat

- 6.2.8.** Hozzuk szabályos alakra algebrai és grafikus úton az $F^4 = B \cdot \bar{A} + \bar{D} \cdot \bar{C} \cdot \bar{B} + D \cdot C \cdot A$ függvényt! Írjuk fel a függvény sorszámos alakját!
- 6.2.9.** Hozzuk szabályos alakra algebrai úton a következő függvényeket és adjuk meg sorszámos alakjukat!
- $F^3 = \bar{B} \cdot \bar{A} + \bar{C} \cdot A + C \cdot \bar{B}$
 - $F^3 = C \cdot B \cdot A + \bar{C} \cdot \bar{A}$
 - $F^3 = \bar{B} + C \cdot A$
 - $F^3 = (\bar{C} + A) \cdot (\bar{B} + \bar{A})$
 - $F^3 = (B + \bar{A}) \cdot (C + B + A) \cdot (\bar{C} + \bar{A})$
 - $F^4 = \bar{D} \cdot \bar{C} + B \cdot \bar{A} + D \cdot \bar{B} \cdot A$
 - $F^4 = \bar{C} \cdot \bar{B} \cdot \bar{A} + C + B \cdot A + \bar{D}$
 - $F^4 = C \cdot \bar{A} + \bar{B} \cdot A + \bar{D} \cdot \bar{C} \cdot \bar{A}$
 - $F^4 = (\bar{D} + \bar{A}) \cdot (\bar{C} + B) \cdot (D + C + B)$
 - $F^4 = (\bar{C} + B + \bar{A}) \cdot D \cdot (\bar{D} + \bar{B})$

6.2.10. Hozzuk szabályos alakra grafikus úton a következő függvényeket!

- a) $F^3 = \bar{C} \cdot B \cdot A + C \cdot \bar{A} + \bar{B}$
- b) $F^3 = B \cdot A + \bar{C} \cdot A + C \cdot B$
- c) $F^3 = A + \bar{B} \cdot \bar{A} + C \cdot \bar{B} \cdot A$
- d) $F^3 = (B + A) \cdot (C + B)$
- e) $F^3 = (C + \bar{A}) \cdot (\bar{C} + \bar{B}) \cdot (\bar{C} + B)$
- f) $F^4 = D \cdot B \cdot A + \bar{D} \cdot A + \bar{C} \cdot B \cdot \bar{A}$
- g) $F^4 = \bar{D} + B \cdot A$
- h) $F^4 = C \cdot \bar{A} + \bar{B} \cdot A + \bar{D} \cdot \bar{C} \cdot \bar{A}$
- i) $F^4 = (\bar{C} + A) \cdot (\bar{C} + B + \bar{A}) \cdot (\bar{D} + B)$
- j) $F^4 = (\bar{D} + \bar{C} + \bar{B}) \cdot (C + A) \cdot (D + \bar{B} + A) \cdot (C + B)$

6.2.11. Alakítsuk át a következő konjunktív szabályos alakú függvényeket diszjunktív szabályos alakba! Végezzük el az átalakítást algebrai és grafikus úton is.

- a) $F^3 = \Pi^3(5,6,7)$
- b) $F^3 = \Pi^3(0,5,7)$
- c) $F^3 = \Pi^3(1,2,3,4,5)$
- d) $F^4 = \Pi^4(3,4,5,6,11,12)$
- e) $F^4 = \Pi^4(0,8,9,11,15)$
- f) $F^4 = \Pi^4(7,8,9,14)$

6.2.12. Alakítsuk át a következő diszjunktív szabályos alakú függvényeket konjunktív szabályos alakba! Végezzük el az átalakítást algebrai és grafikus úton is!

- a) $F^3 = \Sigma^3(5,6,7)$
- b) $F^3 = \Sigma^3(0,5,7)$
- c) $F^3 = \Sigma^3(1,2,3,4,5)$
- d) $F^4 = \Sigma^4(3,4,5,6,11,12)$
- e) $F^4 = \Sigma^4(0,8,9,11,15)$
- f) $F^4 = \Sigma^4(7,8,9,14)$

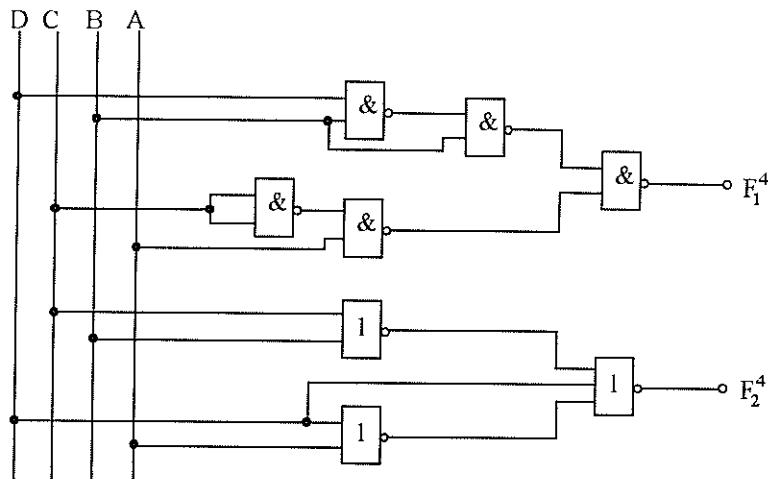
6.2.13. Írjuk fel az $F_3^4 = F_1^4 \cdot F_2^4$ függvény diszjunktív, valamint az $F_4^4 = F_1^4 + F_2^4$ függvény konjunktív szabályos alakját! Egyszerűsítsük grafikus módszerrel az F_3 és F_4 függvényeket!

$$F_1^4 = \Sigma^4(0,1,2,3,9,13,14); \quad F_2^4 = \Pi^4(0,1,2,9,11,12,13,14).$$

6.3. Kombinációs hálózatok analízise és realizálása

1. példa

Írjuk fel a 6.3. ábrán látható kombinációs hálózatokkal megvalósított logikai függvényeket a legegyszerűbb formában!



6.3. ábra

Megoldás

$$F_1^4 = \bar{D} \cdot B + \bar{C} \cdot A; \quad F_2^4 = C + B + A.$$

2. példa

Realizáljuk az $F^4 = \Sigma^4(0,1,2,8,9,11,12,14)$ logikai függvényt egyszerűsítés után NAND kapukkal, majd átalakítás és egyszerűsítés után NOR kapukkal! Valósítsuk meg mindkét egyszerűsített függvényt NÉV rendszerben is!

Megoldás

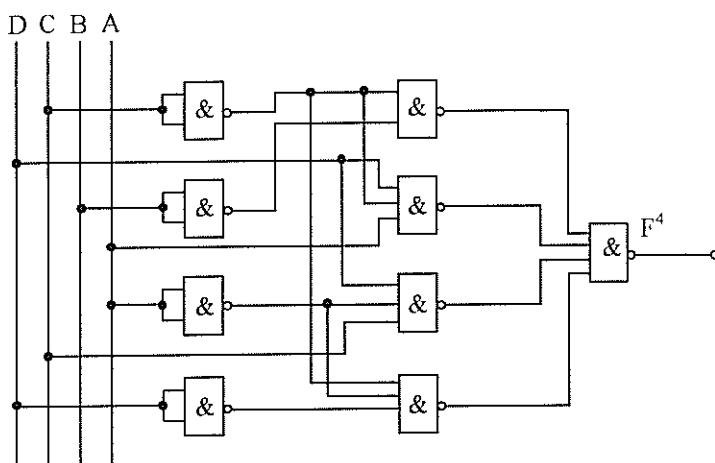
A diszjunktív függvény egyszerűsítése a 6.4. ábrán követhető.

				B
				C
D				
1	0	1	2	
4	5	7	6	
1	12	13	14	
8	9	11	10	
				A

6.4. ábra

$$F^4 = \bar{C} \cdot \bar{B} + D \cdot \bar{C} \cdot A + D \cdot C \cdot \bar{A} + \bar{D} + \bar{C} + \bar{A}.$$

A függvény NAND kapus realizálása 6.5. ábrán látható.



6.5. ábra

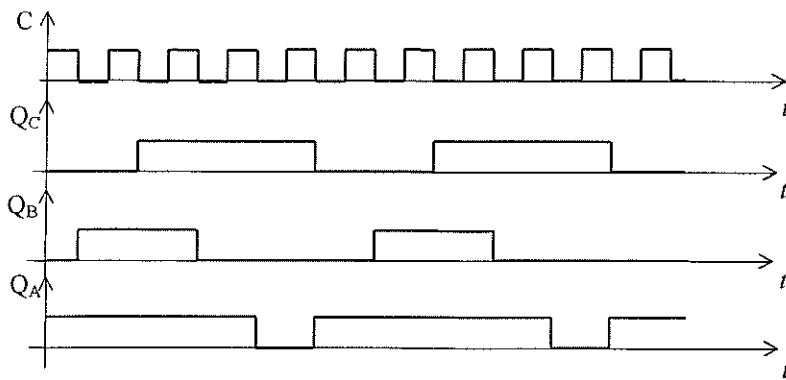
				B
				C
D				
1	0	1	2	
4	5	7	6	
1	12	13	14	
8	9	11	10	
				A

				B
				C
D				
1	0	1	2	
4	5	7	6	
1	12	13	14	
8	9	11	10	
				A

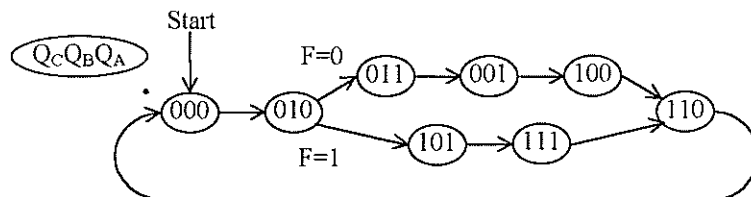
				B
				C
D				
1	0	1	2	
4	5	7	6	
1	12	13	14	
8	9	11	10	
				A

6.6. ábra

A függvény átalakítása és egyszerűsítése a 6.6. ábrán követhető.

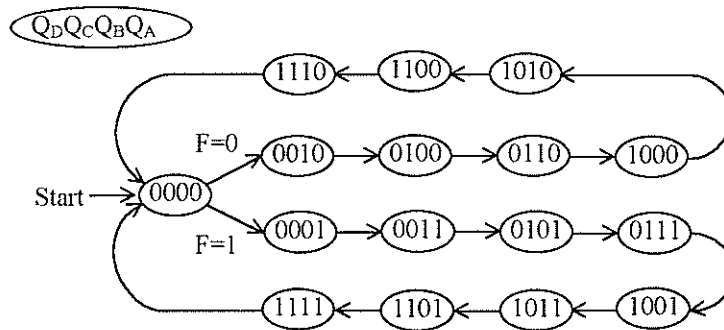


6.44. ábra



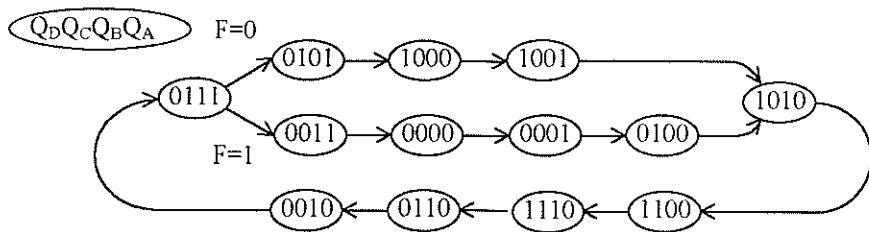
6.45. ábra

6.4.18. Valósítsuk meg $J-K$ tárolókból azt a szinkron sorrendi hálózatot, amely a **6.46.** ábrán látható állapotdiagram szerint működik!



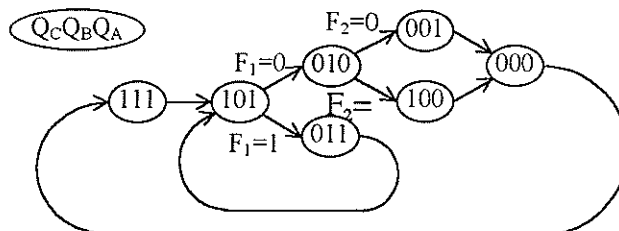
6.46. ábra

6.4.19. Írjuk fel a **6.47.** ábrán látható állapotdiagram szerint működő, $J-K$ tárolóból felépített, szinkron sorrendi hálózat vezérlési függvényeit!



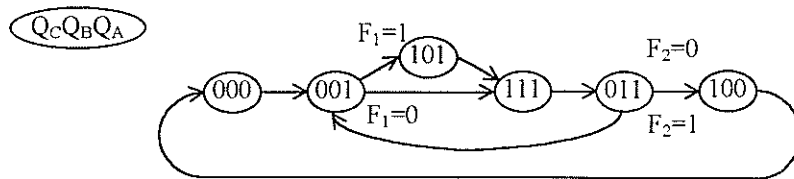
6.47. ábra

6.4.20. Írjuk fel annak a $J-K$ tárolókból felépülő szinkron sorrendi hálózatnak a vezérlési függvényét, amely a 6.48. ábrán látható állapotdiagram szerint működik!



6.48. ábra

6.4.21. Írjuk fel annak a $J-K$ tárolókból felépülő szinkron sorrendi hálózatnak a vezérlési függvényeit, amely a 6.49. ábrán látható állapotdiagram szerint működik!



6.49. ábra

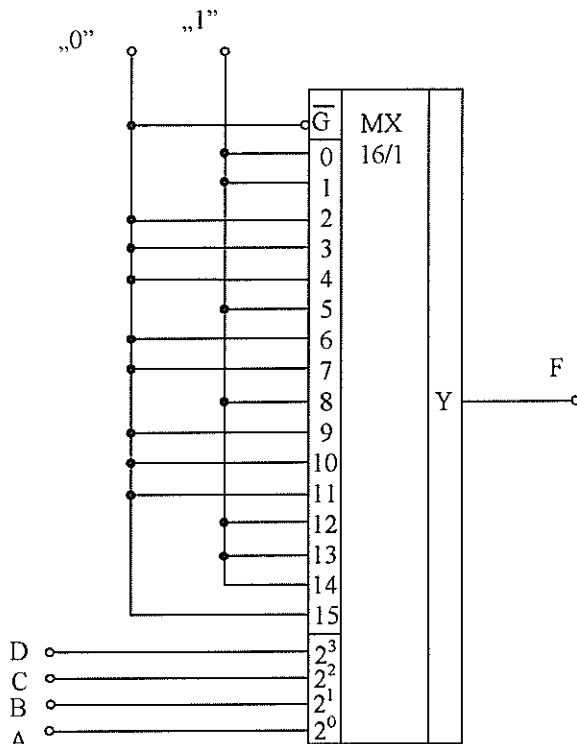
6.5. Funkcionális áramkörök

1. példa

Realizáljuk az $F^4 = \Sigma^4(0, 1, 5, 8, 12, 13, 14)$ logikai függvényt egy 16/1, majd két 8/1, végül egy 8/1 multiplexer felhasználásával!

Megoldás

A 16/1 multiplexerrel történő realizálásnak a függvény sorszámainak megfelelő bemenetekre „1”, a többi bemenetre „0” kötendő. A címzést a változók aktuális értéke végzi! A megvalósítás 16/1 MX-szel a 6.50. ábrán látható.

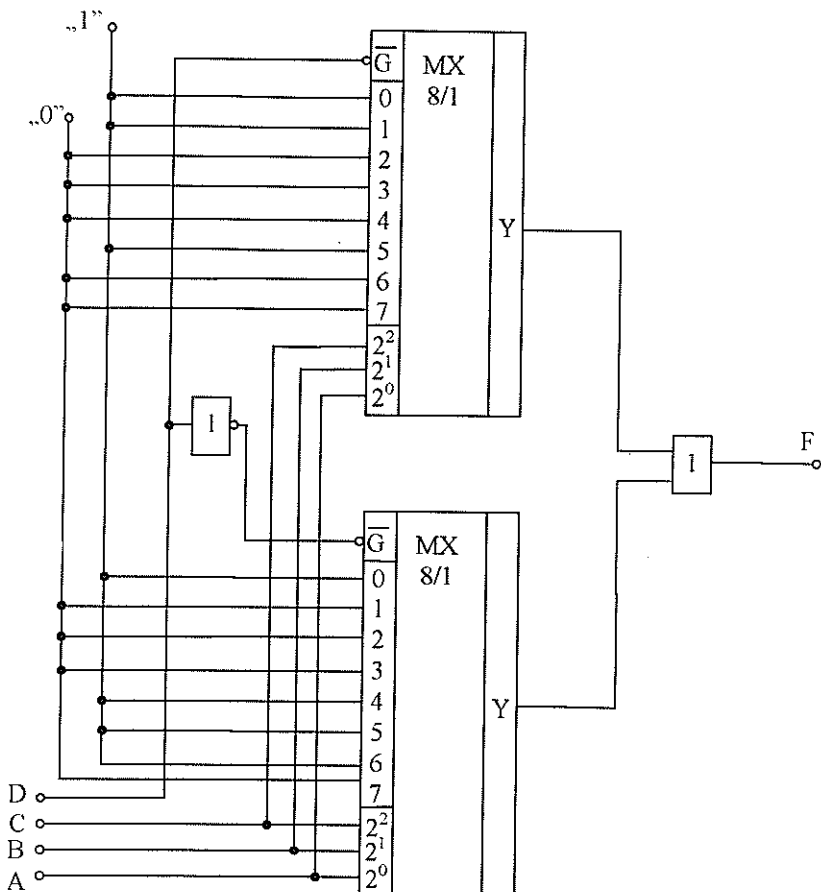


6.50. ábra.

A két 8/1 multiplexer kaszkádosításával létrehozható egy 16/1 multiplexer. A két multiplexer között, a G engedélyező bemeneteket felhasználva a legnagyobb helyiértékű változó választ. A multiplexereken belüli címzés az alacsonyabb helyiértékű változókkal történik. A kaszkádosítással kialakult a 16 adatbemenet, amelynek bekötése megegyezik a 6.50. ábrán láthatóval. A megvalósított kapcsolást két 8/1 MX-szel a 6.51. ábra szemlélteti.

Az egy 8/1 multiplexerrel történő realizálásnál az adatbemenetek aktuális értékének beállításához felhasználjuk a legkisebb, vagy a legnagyobb helyiértékű változót. A további három változó végzi a címzést. Példánkban a címzés a C, B, A változókkal történik. A D változó felhasználása az igazságátlázat alapján követhető. Például az

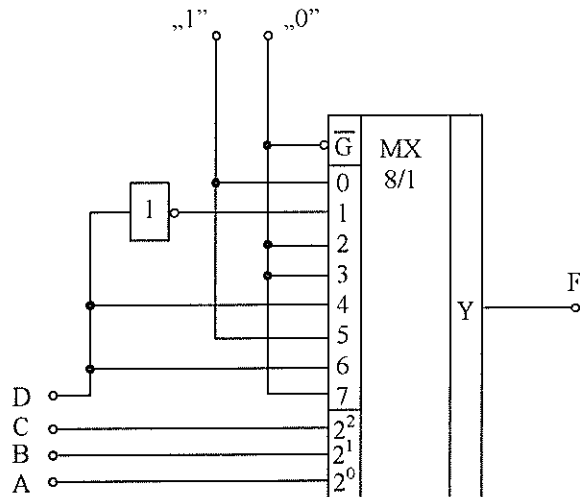
igazságtáblázat második és tizedik sorában $C B A$ változók értéke 001 (tehát az 1. sorszámú bemenetet címkzik), a D értéke viszont a függvény értékének negáltja.



6.51. ábra

Ezért az 1. sorszámú bemenete a \bar{D} kötendő. Hasonlóképpen elemezve az igazságtáblázat sorait, megállapítható a bemenetek bekötése. Az igazságtáblázat és a megvalósított kapcsolás 1 db 8/1 MX-szel a 6.52. ábrán látható.

D C B A	F
0 0 0 0	1
0 0 0 1	1
0 0 1 0	0
0 0 1 1	0
0 1 0 0	0
0 1 0 1	1
0 1 1 0	0
0 1 1 1	0
1 0 0 0	1
1 0 0 1	0
1 0 1 0	0
1 0 1 1	0
1 1 0 0	1
1 1 0 1	1
1 1 1 0	1
1 1 1 1	0



6.52. ábra

2. példa

Készítsünk olyan kódáltalakító (dekódoló) áramkört, amely a D, C, B, A bemenetekre érkező NBCD kódszavakat 3-többletes kódszavakká alakítja! A realizálást NÉV rendszerben végezzük (6.4. táblázat).

D C B A	F_1	F_2	F_3	F_4
0 0 0 0	0	0	1	1
0 0 0 1	0	1	0	0
0 0 1 0	0	1	0	1
0 0 1 1	0	1	1	0
0 1 0 0	0	1	1	1
0 1 0 1	1	0	0	0
0 1 1 0	1	0	0	1
0 1 1 1	1	0	1	0
1 0 0 0	1	0	1	1
1 0 0 1	1	1	0	0

6.4. táblázat

Megoldás

A két kódrendszer kódszavainak összerendezése a 6.4. táblázat szerinti.

A táblázat alapján a dekóderkimenetek logikai függvényei:

$$F_1^4 = \Sigma^4(5,6,7,8,9),$$

$$F_2^4 = \Sigma^4(1,2,3,4,9),$$

$$F_3^4 = \Sigma^4(0,3,4,7,8),$$

$$F_4^4 = \Sigma^4(0,2,4,6,8).$$

A függvények egyszerűsített alakjai:

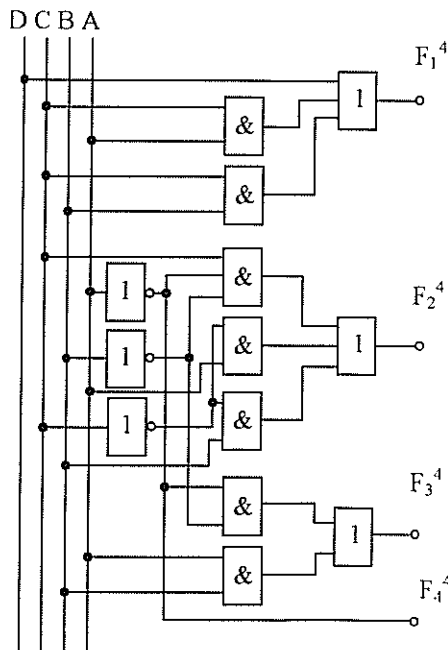
$$F_1^4 = D + C \cdot A + C \cdot B,$$

$$F_2^4 = C \cdot \bar{B} \cdot \bar{A} + \bar{C} \cdot A + \bar{C} \cdot B,$$

$$F_3^4 = \bar{B} \cdot \bar{A} + B \cdot A,$$

$$F_4^4 = \bar{A}.$$

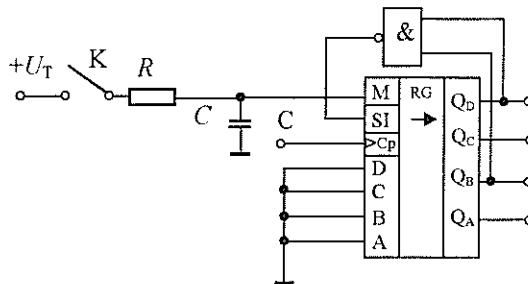
A NÉV rendszerben realizált hálózat a 6.53. ábrán látható.



6.53. ábra

3. példa

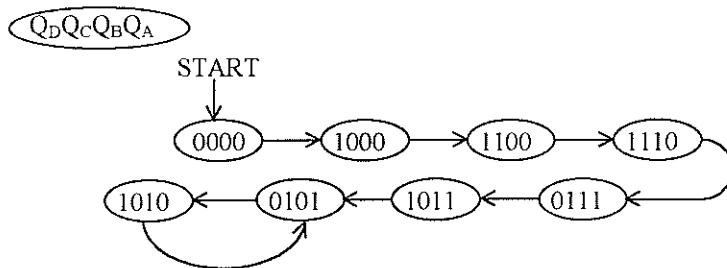
Írjuk fel a 6.54. ábrán látható gyűrűs számláló állapotdiagramját a K kapcsoló zárása után, majd alakítsuk át az áramkört úgy, hogy az 1010 állapotból a 0000 állapotba kerüljön! Az M = 0 vezérlésre párhuzamos beírás, az M = 1 vezérlésre léptetés történik szinkron módon.



6.54. ábra

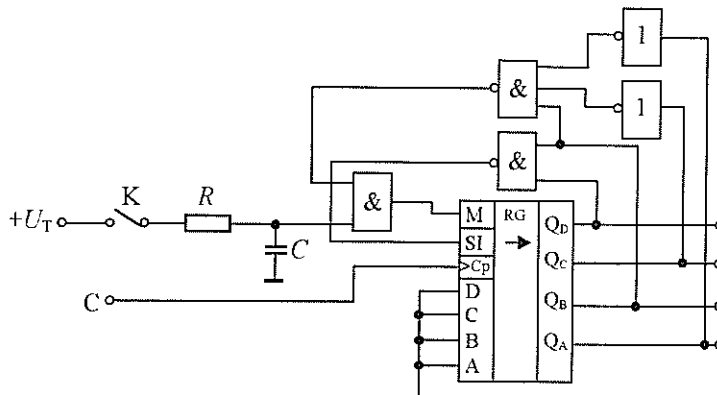
Megoldás

A soros bemenet vezérlési függvénye $SI = \overline{Q_D} \cdot \overline{Q_B}$. A K kapcsoló zárása után az M bemenetre egy rövid ideig „0” kerül, ezért a párhuzamos bemeneteken keresztül a regiszterbe 0000 íródik. A kondenzátor feltöltődése után M = 1, így az órajelek hatására a továbbiakban léptetés történik. A vezérlési függvény alapján felírható állapotdiagram a 6.55. ábrán látható.



6.55. ábra

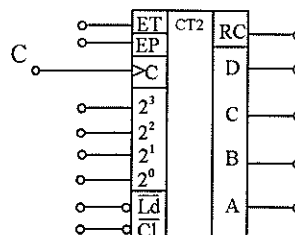
A ciklus módosításához figyelni kell az 1010 állapotot és ennek elérésekor az M bemeneten M = 0 vezérlést kell létrehozni. Így a párhuzamos bemeneteken keresztül újra 0000 íródik be. A ciklusban csak az 1010 állapotban vesz fel $Q_C = 0$; $Q_B = 1$; $Q_A = 0$ állapotot, ezért elegendő ezeket a kimeneteket figyelni. Mivel az M bemenetre ilyenkor „0” szükséges, ezért az $M = \overline{Q_C} \cdot Q_B \cdot \overline{Q_A}$ figyelése NAND kapuval történik. A módosított kapcsolást a 6.56. ábra mutatja.



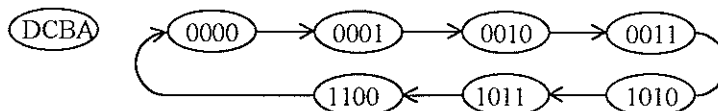
6.56. ábra

4. példa

Realizáljuk a 6.57. ábrán látható 4 bites szinkronszámlálóval a 6.58. ábra szerinti számlálási ciklust megvalósító áramkört! A számláló szinkron \overline{Ld} párhuzamos beíró és aszinkron \overline{Cl} törlőbemenetekkel rendelkezik. Az ET és EP bemenetek a számláló engedélyező bemenetei. Az RC kimenet az átvitelkimenet.



6.57. ábra



6.58. ábra

Megoldás

A szinkron módon történő párhuzamos beírás miatt a 0011 állapotot kell figyelni a kimeneten és megjelenésekor 1010 értéket beírni a párhuzamos beíró bemeneteken. Az asszinkron törlés miatt az 1100 után következő, tehát az 1101 állapotot kell figyelni és ennek hatására a \overline{Cl} bemeneten törölve a számlálót, a 0000 állapotot előállítani.

A 0011 állapotot jelző F_3 függvény V-K táblája a 6.59. ábrán látható.

F_3	B			
	0	1	3	2
D	X ₄	X ₅	X ₇	X ₆
A	X ₈	X ₉	X ₁₁	X ₁₀

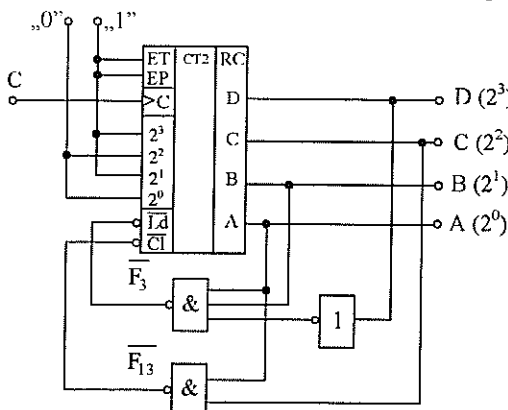
6.59. ábra. Az F_3 függvény V-K táblája

F_{13}	B			
	0	1	3	2
D	X ₄	X ₅	X ₇	X ₆
A	X ₈	X ₉	X ₁₅	X ₁₄

6.60. ábra

Az egyszerűsített függvény: $F_3 = \overline{D} \cdot \overline{B} \cdot A$.

Az F_{13} függvény egyszerűsítése a 6.60. ábra szerint történik. Az egyszerűsített függvény: $F_{13} = C \cdot A$. A megvalósított kapcsolás a 6.61. ábrán látható.



6.61. ábra

F_{12}	B			
	0	1	3	2
D	X ₄	X ₅	X ₇	X ₆
A	X ₈	X ₉	X ₁₁	X ₁₀

6.62. ábra.

Az F_{12} függvény V-K táblája

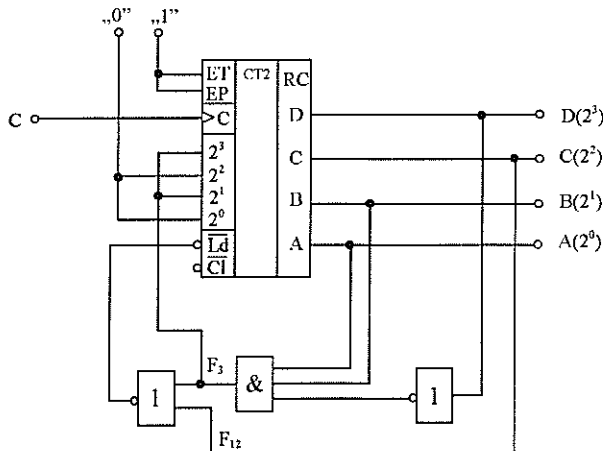
A feladat megoldható a \overline{Cl} bemenet felhasználása nélkül is, a 0000 állapot párhuzamos beírásával. Mivel az \overline{Ld} bemenet szinkronműködésű, ezért a kimeneten megjelenő 1100 állapotot kell figyelni. Az egyszerűsített F_{12} függvény a 6.62. ábra alapján állapítható meg.

Az \overline{Ld} bemenet vezérlése: a bemenetre „0” szintnek kell kerülni, ha az F_3 vagy az F_{12} jelez. A párhuzamos beíró bemenetek vezérlése:

	2^3	2^2	2^1	2^0
F_3	1	0	1	0
F_{12}	0	0	0	0

Tehát a 2^2 és 2^0 bemenetekre „0” szintet kell kapcsolni, a 2^1 és 2^3 bemenetekre pedig az F_3 függvényt megvalósító kapcsolás kimenetét kell kötni.

A realizált kapcsolást a 6.63. ábra mutatja.



6.63. ábra

5. példa

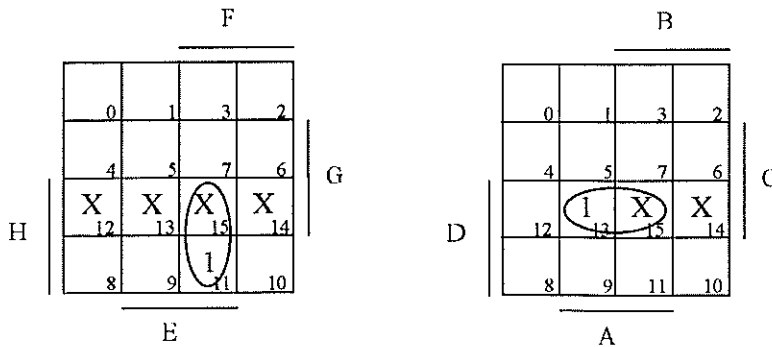
Készítsünk kaszkádosítással a 6.57. ábrán látható számlálóból 8 bitest és rövidítsük le a számlálási ciklusát úgy, hogy 190 egymástól különböző kimeneti állapota legyen! A törlő bemenet szinkron működésű.

Megoldás

A 190 kimeneti állapothoz az szükséges, hogy a számláló 0-tól 189-ig számoljon. A szinkron törlés miatt a 189 bináris megfelelőjét kell figyelni a kimeneteken:

$$189_2 = 1 \quad 0 \quad 1 \quad 1 \quad 1 \quad 1 \quad 0 \quad 1$$

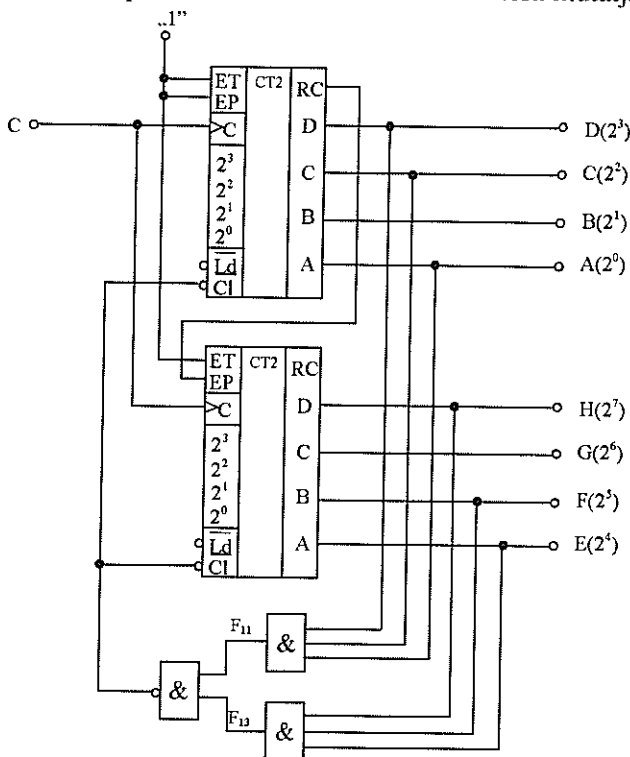
A két számláló kimeneteit figyelő függvények a 6.64. ábra alapján állapíthatók meg:



6.64. ábra

Az egyszerűsített függvények: $F_{11} = H \cdot F \cdot E$; $F_{13} = D \cdot C \cdot A$.

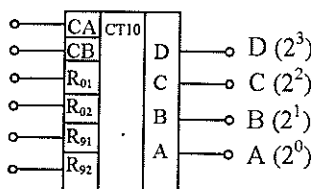
A kaszkádosítást és a kapuáramkörök bekötését a 6.65. ábra mutatja.



6.65. ábra

6. példa

Készítsünk a 6.66. ábrán látható decimális számlálóból 3 dekádos számlálót és rövidítsük le a számlálási ciklusát úgy, hogy a max. érték decimálisan 699 legyen! A számláló aszinkron működésű. A CA bemenet a számláló legkisebb helyiértékű flip-flopjának bemenete, a CB pedig a 2^1 helyiértékű tárolóbemenete. Az R_{01} és R_{02} bemenetekre egyszerre „1” szintet adva a számláló törlődik. Az R_{91} és R_{92} bemenetekre egyszerre „1” szintet adva a számláló a végértékét (bináris 9) veszi fel. A számlálás engedélyezéséhez legalább az egyik R_0 és az egyik R_9 bemenetre (vagy mindkettőre) „0” szintet kell adni. Az R bemenetek aszinkron működésűek.



6.66. ábra

Megoldás

A három aszinkron decimális számláló kaszkádosítása is aszinkron módon történik, tehát az előző számláló legnagyobb helyiértékű kimenete adja a következő számláló órajelét.

		B			
		0	1	3	2
		4	5	1	6
D	X ₁₂	X ₁₃	X ₁₅	1	X ₁₄
	X ₈	X ₉	X ₁₁	X ₁₀	

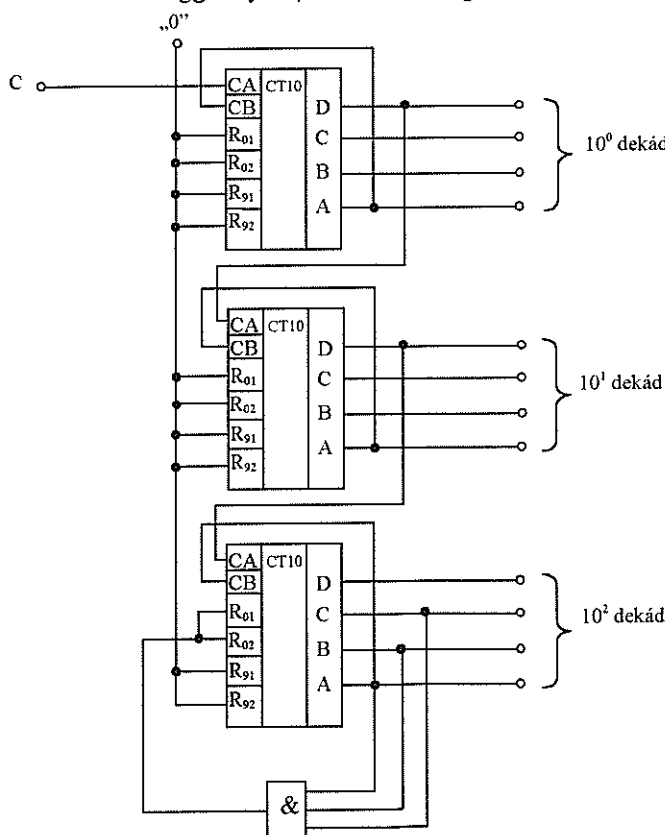
C

A tokon belül különálló A flip-flop kimenetét tokon kívül kell összekötni a B flip-flop CB bemenetével.

A háromdekásos számláló legnagyobb helyiértékű dekádjának ciklusát kell lerövidíteni. Az ehhez szükséges függvény a 6.67. ábra V-K táblájából határozható meg.

6.67. ábra

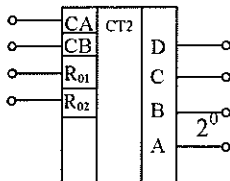
A táblázatból kiolvasható függvény: $F_7 = C \cdot B \cdot A$. A megvalósítás a 6.68. ábrán látható.



6.68. ábra

7. példa

Készítsünk frekvenciaosztót a 6.69. ábrán látható számláló felhasználásával. Az osztásviszony legyen $1/60!$ A számláló 4 bites, aszinkron működésű, aszinkron R_{01} és R_{02} törlőbemenetekkel.



6.69. ábra

Megoldás

Az előírt osztásviszonyhoz az szükséges, hogy a számlálónak 60 egymástól különböző kimeneti állapota legyen. Ez teljesül, ha a számláló $0\dots59$ ciklus szerint számol. Ehhez két számlálót kell kaszkádosítani és lerövidíteni a ciklusukat.

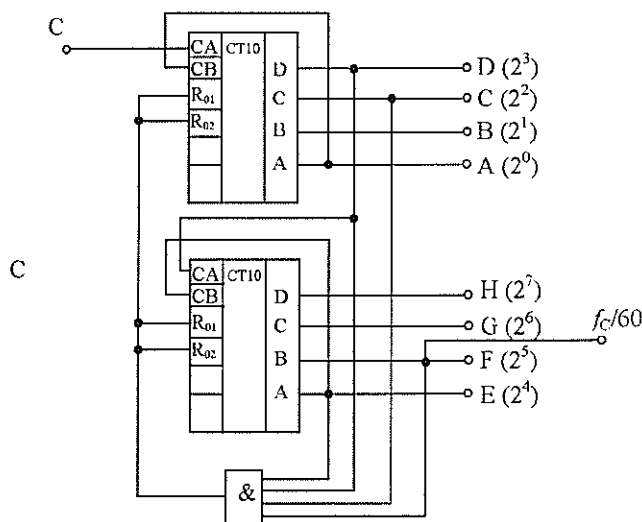
Az aszinkron törlés miatt a figyelt érték bináris 60.

$$\begin{array}{ccccccc} F & E & D & C & B & A \\ 60_2 = 1 & 1 & 1 & 1 & 0 & 0 \end{array}$$

$$F_3 = F \cdot E$$

A 6.70. ábra V-K tábla alapján: $F_{12} = D \cdot C$. Az osztó kimenete a 2^6 helyiértékű kimenet.

		B			
		0	1	3	2
D	0	X	X	X	X
	1	12	13	15	14
	2	8	9	11	10



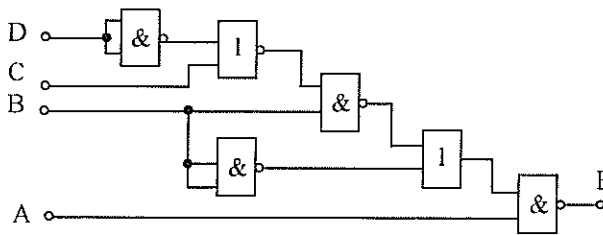
6.70. ábra

6.71. ábra

A realizált számláló a 6.71. ábrán látható.

Feladatok

- 6.5.1.** Realizáljuk az $F^3 = \Sigma^3(0,1,5,6)$ logikai függvényt egy 8/1, majd két 4/1, végül egy 4/1 multiplexerrel! Az utóbbi esetben a címzéshez a kisebb helyiértékű változókat használjuk!
- 6.5.2.** Realizáljuk az $F^3 = \Sigma^3(1,2,4,6,7)$ logikai függvényt egy 8/1, majd két 4/1, végül egy 4/1 multiplexerrel! Az utóbbi esetben a címzéshez a nagyobb helyiértékű változókat használjuk!
- 6.5.3.** Valósítsuk meg az $F^3 = \Pi^3(2,5,6,7)$ logikai függvényt egy 4/1 multiplexerrel! Címzéskor a kisebb helyiértékű változókat használjuk!
- 6.5.4.** Realizáljuk az $F^3 = \bar{B} \cdot A + C \cdot \bar{A} + \bar{C} \cdot B$ függvényt egy 8/1 és egy 4/1 multiplexerrel! Címzéskor a nagyobb helyiértékű változókat használjuk!
- 6.5.5.** Valósítsuk meg az $F^4 = \Pi^4(2,4,6,11,14,15)$ függvényt 16/1, majd két 8/1, végül egy 8/1 multiplexerrel! Az utóbbi esetben a kisebb helyiértékű változókat használjuk címzésre!
- 6.5.6.** Készítsünk olyan hálózatot egy 8/1 multiplexerrel, amely négy kapcsoló állásától függően akkor ad „1”-et a kimenetén, ha legalább két kapcsoló bekapcsolt („1”-es) állapotban van! A kapcsolókat jelöljük A, B, C, D -vel, súlyozásuk pedig $2^0 \cdot A; 2^1 \cdot B; 2^2 \cdot C; 2^3 \cdot D$. Címzéshez a nagyobb helyiértékű változókat használjuk!
- 6.5.7.** Készítsünk olyan hálózatot egy 8/1 multiplexerrel, amely a kimenetén „0”-val jelez, ha a négy bemenetére érkező bitek között páratlan az „1”-esek száma! Címzéshez a kisebb helyiértékű biteket használjuk!
- 6.5.8.** Realizáljuk a $F^4 = \Sigma^4(1,3,4,5,8,9,10,12,15)$ logikai függvényt egy 8/1 negált engedélyező bemenetű és negált kimenetű multiplexerrel, majd két 4/1 ponált engedélyezésű és negált kimenetű multiplexerrel! Címzéshez a nagyobb helyiértékű változókat használjuk!
- 6.5.9.** Helyettesítsük a **6.72.** ábrán látható logikai hálózatot 8/1 multiplexerrel! A címzés a nagyobb helyiértékű változókkal történik.

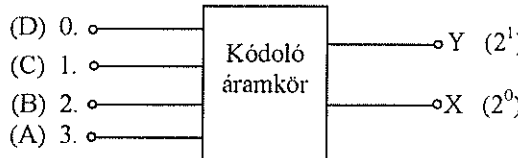


6.72. ábra

6.5.10. Készítsünk 3 bites bináris-decimális dekódolót NOR kapukból!

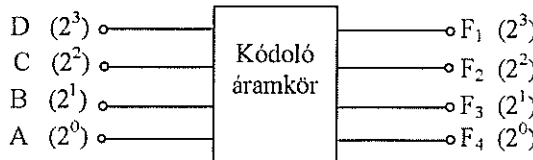
6.5.11. Írjuk fel annak a 4 bites dekódolónak a logikai függvényeit, amely az Aiken-kód kódszavait háromtöbbletes kóddá alakítja!

6.5.12. Készítsünk 4 bites prioritáskódoló áramkört, amely a kimenetén annak a legmagasabb sorszámú bemenetnek a bináris kódját jeleníti meg, amelyre „0” kerül! A csak „1”-et tartalmazó bemeneti kód esetén a kimenetek határozatlannak tekinthetők. A realizáláshoz NAND kapukat használunk! A kódoló be- és kimenetének jelöléseit a 6.73. ábra mutatja.



6.73. ábra

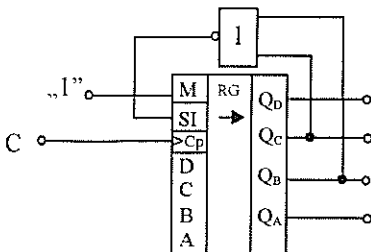
6.5.13. Készítsünk olyan négybites kódoló áramkört, amely a bináris kódszavak kettes komplementét képezi! A be- és kimenetek jelöléseit a 6.74. ábra mutatja. A realizálást NÉV rendszerben végezzük el!



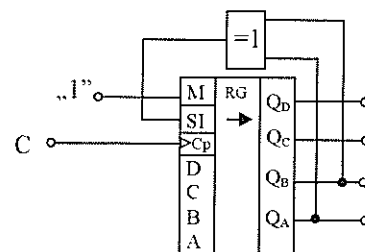
6.74. ábra

6.5.14. Vegyük fel a 6.75. ábrán látható gyűrűs számláló állapotátmeneti táblázatát és rajzoljuk fel az állapotdiagramot! Egészítsük ki a kapcsolást úgy, hogy a

0000 állapot is a ciklus része legyen! Az $M = 0$ vezérlésre szinkronpárhuzamos beírás, $M = 1$ vezérlésre léptetés történik.



6.75. ábra

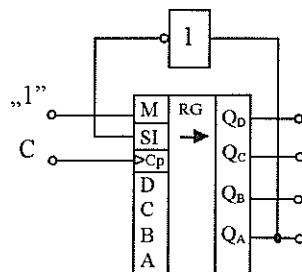


6.76. ábra

6.5.15. Írjuk fel a 6.76. ábrán látható max. szóhosszúságú gyűrűs számláló teljes állapotdiagramját, majd alakítsuk át úgy a kapcsolást, hogy a 0000 állapot is a ciklus része legyen a 0001 és az 1000 állapot között! Az átalakításhoz a párhuzamos beíró bemeneteket nem használhatjuk!

6.5.16. Alakítsuk át a 6.76. ábrán látható max. szóhosszúságú gyűrűs számlálót úgy, hogy az 1111 állapot kimeradjon a ciklusból! Az átalakításnál a párhuzamos beíró bemeneteket nem használhatjuk!

6.5.17. Írjuk fel a 6.77. ábrán látható Johnson-számláló két ciklusának állapotdiagramját! A kapcsolás átalakításával kapcsoljuk össze a két ciklust az $1100 \rightarrow 0110$ és az $1101 \rightarrow 1110$ átmenetek létrehozásával! Az átalakításhoz a párhuzamos beírbemenetek nem használhatók!



6.77. ábra

6.5.18. Rövidítsük le a 6.57. ábrán látható számláló számlálási ciklusát úgy, hogy csak 12 db egymástól különböző kimeneti állapota legyen! Oldjuk meg a feladatot csak az aszinkron törlő és csak a szinkron párhuzamos beírbemenetek felhasználásával!

- 6.5.19.** Készítsünk a **6.57.** ábrán látható számlálóból olyan áramkört, amely a 0-1-2-6-7-8-9-10-13-14-15-0... állapotok bináris megfelelőjét veszi fel ciklikusan a kimenetein. A megvalósításhoz használjuk a párhuzamos beíró és a törlő bemeneteket is, feltételezve, hogy szinkron működésük.
- 6.5.20.** Készítsünk a **6.57.** ábrán látható számlálóból olyan áramkört, amely az 1-2-3-7-8-9-11-12-13-1... állapotok bináris megfelelőit veszi fel kimenetein ciklikusan! A párhuzamos beíró bemenet szinkron működésű.
- 6.5.21.** Rövidítsük le a **6.57.** ábrán látható számlálóból kaszkádosítással előállított 8 bites számláló számlálási ciklusát úgy, hogy a max. érték 183 legyen! A törlő bemenet aszinkron működésű.
- 6.5.22.** Készítsünk 4 dekádos aszinkron számlálót a **6.66.** ábra decimális számlálójából! A számláló max. értéke 1999 legyen BCD kódban.
- 6.5.23.** Készítsünk a **6.66.** ábra aszinkron decimális számlálójából olyan 2 dekádos számlálót, amely max. értéke 57.
- 6.5.24.** Készítsünk a **6.69.** ábrán látható számláló felhasználásával 1/100 osztásviszonyú számlálót!
- 6.5.25.** Készítsünk olyan frekvenciaosztót, amely az órajel frekvenciáját 73-ad részére osztja! A megvalósításhoz a **6.69.** ábra számlálóját használjuk!

A feladatok megoldása

6.1.1.

- a) $3526_{10} = 110111000110_2$
- b) $9735_{10} = 10011000000111_2$
- c) $0,326_{10} = 0.01010011_2$
- d) $0,0503_{10} = 0.00001100_2$
- e) $0,1717_{10} = 0.00101011_2$
- f) $3,696_{10} = 11.10110010_2$
- g) $8,421_{10} = 1000.01101011_2$
- h) $29,052_{10} = 11101.00001101_2$
- i) $399,998_{10} = 110001111.11111111_2$
- j) $7536,4125_{10} = 1110101110000.01101001_2$

6.1.2.

- a) $11001100110_2 = 1638_{10}$
- b) $10111011010_2 = 1498_{10}$
- c) $0,0111101_2 = 0,4765625_{10}$
- d) $0.111100001_2 = 0,939453125_{10}$
- e) $0,10111000_2 = 0,71875_{10}$
- f) $10101.11101_2 = 21,90625_{10}$
- g) $1111100001.00100011_2 = 993,13671875_{10}$
- h) $111111.11111_2 = 63,96875_{10}$

6.1.3.

- a) $14_{10} = E_{16}$
- b) $16_{10} = 10_{16}$
- c) $504_{10} = 1F8_{16}$
- d) $8666_{10} = 21DA_{16}$
- e) $2400_{10} = 960_{16}$
- f) $1024_{10} = 400_{16}$
- g) $65536_{10} = 10000_{16}$
- h) $7777_{10} = 1E61_{16}$
- i) $93517_{10} = 16D4D_{16}$
- j) $1048576_{10} = 100000_{16}$
- k) $0,328_{10} = 0.53F7CED9\text{ H}$
- l) $0,093_{10} = 0.17CED916\text{ H}$
- m) $736,477_{10} = 2E0.7A1CAC08\text{ H}$
- n) $9099,999_{10} = 238B.FFBEB76C8\text{ H}$
- o) $1234,5678_{10} = 4D2.915B573E\text{ H}$

6.1.4.

- a) $8E\text{ H} = 142_{10}$
- b) $FFF\text{ H} = 4095_{10}$
- c) $300A\text{ H} = 12298_{10}$
- d) $ABCD\text{ H} = 43981_{10}$
- e) $E06C\text{ H} = 57452_{10}$
- f) $987FA\text{ H} = 624634_{10}$
- g) $4431\text{ H} = 17457_{10}$
- h) $17D6E\text{ H} = 97646_{10}$

- i) $2000F H = 131087_{10}$
j) $C4301 H = 803585_{10}$
k) $0.9F6 H = 0,62255859_{10}$
l) $0.FFF H = 0,99975585_{10}$
m) $ACD.ABC H = 2765,06708984_{10}$
n) $6002.012 H = 24578,00439453_{10}$
o) $5379.00F H = 21369,00366210_{10}$

6.1.5.

- a) $101_2 = 5 H$
b) $1100111110_2 = 33E H$
c) $10000001110_2 = 40E H$
d) $1010110011001_2 = 1599 H$
e) $1111000011101_2 = 1E10 H$
f) $0.1001101101_2 = 0.9B2 H$
g) $0.1111000101_2 = 0.F14 H$
h) $1011.01_2 = B.4 H$
i) $10000110001.1000011_2 = 431.86 H$
j) $1111111010.001001_2 = 3FA.24 H$

6.2.1.

- a) $F^3 = C \cdot \bar{B} \cdot A + C \cdot B \cdot A + \bar{C} \cdot A = A$
b) $F^2 = \underline{\bar{A} + \bar{B}} + \underline{\bar{B} \cdot A} = \bar{A} + \bar{B}$
c) $F^2 = \bar{B} \cdot A + B \cdot \underline{\bar{A}} = 1$
d) $F^3 = \bar{C} \cdot \bar{B} \cdot A + B \cdot \bar{A} = 1$
e) $F^3 = C \cdot B \cdot \bar{A} + \bar{C} \cdot B \cdot \bar{A} + C \cdot B \cdot A + C \cdot \bar{B} \cdot A = B \cdot \bar{A} + C \cdot A$
f) $F^3 = \bar{C} \cdot \bar{B} \cdot \bar{A} + C \cdot \bar{B} \cdot \bar{A} + C \cdot \bar{B} \cdot A + C \cdot B \cdot A = \bar{B} \cdot \bar{A} + C \cdot A$
g) $F^3 = \bar{C} \cdot B \cdot A + \bar{C} \cdot \bar{B} \cdot A + \bar{C} \cdot B \cdot \bar{A} + \bar{C} \cdot \bar{B} \cdot \bar{A} = \bar{C}$
h) $F^2 = B \cdot A + B \cdot \bar{A} + \bar{B} \cdot A + \bar{B} \cdot \bar{A} = 1$
i) $F^3 = C \cdot \bar{B} \cdot \bar{A} + C \cdot B \cdot \bar{A} + C \cdot B \cdot A = C \cdot \bar{A} + C \cdot B$
j) $F^3 = (B + A) \cdot (\bar{C} + A) \cdot (C + A) = A$
k) $F^3 = \bar{B} \cdot (B + A) \cdot (C + A) \cdot (\bar{C} + \bar{A}) = 0$
l) $F^4 = \underline{\overline{D \cdot C \cdot (B + A)}} + \underline{\overline{C \cdot \bar{B}}} = D \cdot C \cdot \bar{B} \cdot A$
m) $F^4 = (D + C \cdot (\bar{B} + A)) \cdot \bar{B} = B$
n) $F^4 = \overline{\bar{D} + \bar{A} + \bar{D} \cdot \bar{C} \cdot \bar{B} + \bar{D} \cdot B \cdot \bar{A} + \bar{B} + (C + B + A) \cdot (D + B + A)} + D \cdot C \cdot \bar{B} \cdot \bar{A} = \bar{D} + \bar{B} + \bar{A}$

6.2.2.

- a) $F^3 = \bar{A}$
 b) $F^3 = \bar{C} \cdot B + C \cdot \bar{B}$
 c) $F^3 = \bar{C} \cdot A + B \cdot A$
 d) $F^3 = \bar{C} \cdot \bar{B} \cdot A + C \cdot \bar{A}$
 e) $F^3 = \bar{C} \cdot \bar{B} \cdot A + \bar{C} \cdot B \cdot \bar{A} + C \cdot \bar{B} \cdot \bar{A} + C \cdot B \cdot A$
 f) $F^3 = A$
 g) $F^3 = C \cdot \bar{B} + \bar{C} \cdot B$
 h) $F^3 = \bar{C} \cdot \bar{A} + C \cdot A$

6.2.3.

- a) $F^3 = C$
 b) $F^3 = C + A$
 c) $F^3 = A$
 d) $F^3 = (\bar{C} + \bar{A}) \cdot (C + A)$
 e) $F^3 = (\bar{C} + \bar{A}) \cdot (C + \bar{B})$
 f) $F^3 = (\bar{C} + A) \cdot (\bar{C} + B) \cdot (C + \bar{B} + \bar{A})$
 g) $F^3 = (\bar{B} + A) \cdot (\bar{C} + B + \bar{A})$
 h) $F^3 = \bar{A}$

6.2.4.

- a) $F^3 = \Sigma^3(3,5,6,7); F^3 = B \cdot A + C \cdot A + C \cdot B$
 $F^3 = \Pi^3(0,1,2,4); F^3 = (\bar{B} + \bar{A}) \cdot (\bar{C} + \bar{A}) \cdot (\bar{C} + \bar{B})$
 b) $F^3 = \Sigma^3(0,1,2,5,6); F^3 = \bar{C} \cdot \bar{A} + \bar{B} \cdot A + \bar{C} \cdot \bar{B}$ (vagy az utolsó helyett: $B \cdot \bar{A}$)
 $F^3 = \Pi^3(3,4,7); F^3 = (B + A) \cdot (C + \bar{B} + \bar{A})$

6.2.5.

- a) $F^4 = \bar{D} \cdot A$
 b) $F^4 = \bar{C} \cdot \bar{A}$
 c) $F^4 = \bar{D} \cdot \bar{C} \cdot A + D \cdot \bar{A}$
 d) $F^4 = \bar{D} \cdot \bar{C} \cdot \bar{A} + D \cdot \bar{C} \cdot A + \bar{C} \cdot B \cdot \bar{A}$ (vagy az utolsó helyett: $\bar{D} \cdot \bar{C} \cdot B$)
 e) $F^4 = \bar{A}$

f) $F^4 = \bar{D} \cdot C + C \cdot A$

g) $F^4 = \bar{D} \cdot \bar{C} \cdot B + \bar{D} \cdot C \cdot \bar{B} \cdot \bar{A} + D \cdot A$

h) $F^4 = \bar{C} \cdot \bar{A} + C \cdot A$

i) $F^4 = \bar{D} \cdot A + D \cdot \bar{A}$

6.2.6.

a) $F^4 = D + \bar{C}$

b) $F^4 = C + \bar{A}$

c) $F^4 = (C + A) \cdot (D + A)$

d) $F^4 = (\bar{D} + \bar{B}) \cdot (\bar{C} + \bar{B})$

e) $F^4 = C \cdot (\bar{D} + \bar{A})$

f) $F^4 = (\bar{D} + \bar{C} + A) \cdot (D + \bar{C} + \bar{A}) \cdot (D + C + A)$

g) $F^4 = (\bar{C} + \bar{A}) \cdot (\bar{D} + C + \bar{B} + A) \cdot (D + C + B + A)$

h) $F^4 = (\bar{D} + \bar{A}) \cdot (D + \bar{C})$

i) $F^4 = (\bar{D} + C + B) \cdot (\bar{D} + B + A) \cdot (D + C + \bar{B}) \cdot (D + \bar{B} + A)$

6.2.7.

a) $F^4 = \Sigma^4(0,1,2,3,4,6,11,15);$

$$F^4 = \bar{D} \cdot \bar{C} + \bar{D} \cdot \bar{A} + D \cdot B \cdot A$$

$F^4 = \Pi^4(5,7,8,9,10,12,13,14);$

$$F^4 = (\bar{D} + C + A) \cdot (D + \bar{B}) \cdot (D + \bar{A})$$

b) $F^4 = \Sigma^4(2,3,4,9,10,11,12,15);$

$$F^4 = \bar{C} \cdot B + D \cdot \bar{C} \cdot A + D \cdot B \cdot A + C \cdot \bar{B} \cdot \bar{A}$$

$F^4 = \Pi^4(0,1,5,6,7,8,13,14);$

$$F^4 = (\bar{D} + C + B) \cdot (C + \bar{B} + A) \cdot (\bar{D} + \bar{C} + \bar{B}) \cdot (\bar{C} + \bar{B} + \bar{A}) \cdot (C + B + \bar{A})$$

6.2.8.

Szabályos alakra hozás algebrai úton:

$$\begin{aligned} F^4 &= B \cdot \bar{A} \cdot (D + \bar{D}) \cdot (C + \bar{C}) + \bar{D} \cdot \bar{C} \cdot \bar{B} \cdot (A + \bar{A}) + D \cdot C \cdot A \cdot (B + \bar{B}) = D \cdot C \cdot B \cdot \bar{A} + D \cdot \bar{C} \cdot B \cdot \bar{A} + \\ &\quad + \bar{D} \cdot C \cdot B \cdot \bar{A} + \bar{D} \cdot \bar{C} \cdot B \cdot \bar{A} + \bar{D} \cdot \bar{C} \cdot \bar{B} \cdot A + \bar{D} \cdot \bar{C} \cdot \bar{B} \cdot \bar{A} + D \cdot C \cdot B \cdot A + D \cdot C \cdot \bar{B} \cdot A \end{aligned}$$

A sorszámos alak: $F^4 = \Sigma^4(0,1,2,6,10,13,14,15).$

Szabályos alakra hozás grafikus úton a 6.78. ábrán látható.

				B
				C
D				
1	1	3	1	
0	1	2	0	
4	5	7	1	
			6	
12	13	15	1	
			14	
8	9	11	1	
			10	
				A

6.78. ábra

$$F^4 = \Sigma^4(0,1,2,6,10,13,14,15).$$

6.2.9.

- a) $F^3 = \Sigma^3(0,1,3,4,6,7)$
 b) $F^3 = \Sigma^3(0,2,7)$
 c) $F^3 = \Sigma^3(0,1,4,5,7)$
 d) $F^3 = \Pi^3(0,1,3,4)$
 e) $F^3 = \Pi^3(0,2,6,7)$
 f) $F^4 = \Sigma^4(0,1,2,3,6,9,10,13,14)$
 g) $F^4 = \Sigma^4(0,1,2,3,4,5,6,7,8,11,12,13,14,15)$
 h) $F^4 = \Sigma^4(0,1,2,4,5,6,9,12,13,14)$
 i) $F^4 = \Sigma^4(0,2,3,4,6,10,11,14,15)$
 j) $F^4 = \Pi^4(0,1,2,4,5,8,9,10,11,12,13,14,15)$

6.2.10.

- a) $F^3 = \Sigma^3(0,1,3,4,5,6)$
 b) $F^3 = \Sigma^3(1,3,6,7)$
 c) $F^3 = \Sigma^3(0,1,3,4,5,7)$
 d) $F^3 = \Pi^3(3,6,7)$
 e) $F^3 = \Pi^3(0,1,2,3,4,6)$
 f) $F^4 = \Sigma^4(1,2,3,5,7,10,11,15)$
 g) $F^4 = \Sigma^4(0,1,2,3,4,5,6,7,11,15)$
 h) $F^4 = \Sigma^4(0,1,2,4,5,6,9,12,13,14)$
 i) $F^4 = \Pi^4(0,1,2,3,6,7,8,9,11)$
 j) $F^4 = \Pi^4(0,1,5,6,7,9,13,14,15)$

6.2.11.

- a) $F^3 = \Sigma^3(0,1,3,5)$
 b) $F^3 = \Sigma^3(0,1,6,7)$
 c) $F^3 = \Sigma^3(2,3,4,5,6)$
 d) $F^4 = \Sigma^4(0,1,2,3,4,5,6,9,10)$
 e) $F^4 = \Sigma^4(3,4,5,6,7,8,11,12,13,14,15)$
 f) $F^4 = \Sigma^4(1,3,5,7,9,11,13,15)$

6.2.12.

- a) $F^3 = \Pi^3(3,4,5,6,7)$
 b) $F^3 = \Pi^3(1,3,4,5,6)$
 c) $F^3 = \Pi^3(0,1,7)$
 d) $F^4 = \Pi^4(0,1,2,5,6,7,8,13,14,15)$
 e) $F^4 = \Pi^4(1,2,3,5,8,9,10,11,12,13,14)$
 f) $F^4 = \Pi^4(0,2,3,4,5,9,10,11,12,13,14,15)$

6.2.13.

$$F_3^4 = \Sigma^4(0,1,2,3,5,7,8,9,10,11,12,13,14); \quad F_3^4 = \bar{C} + D \cdot \bar{B} + D \cdot \bar{A} + \bar{D} \cdot A$$

$$F_4^4 = \Pi^4(0,1,2,3,4,5,7,8,9,10,11,12,13,14); \quad F_4^4 = \bar{B} \cdot \bar{C} \cdot (D + \bar{A}) \cdot (\bar{D} + A)$$

6.3.1. $F^4 = D \cdot A + C \cdot \bar{B}$.

6.3.2. $F^4 = (D + C) \cdot (\bar{C} \cdot \bar{B} + A) \cdot \bar{B}$.

6.3.3. $F^4 = D \cdot C \cdot B \cdot A$.

6.3.4. $F^4 = \Pi^4(0,2,3,8,10); \quad F^4 = \Sigma^4(0,1,2,3,4,6,8,9,10,11,14)$.

6.3.5. $F^4 = \Sigma^4(0,4,5,6,7,8,12); \quad F^4 = \Pi^4(0,1,2,4,5,6,12,13,14)$.

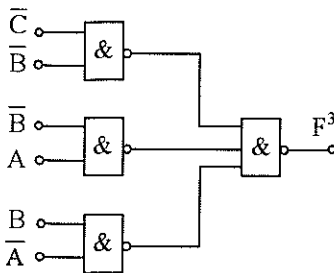
6.3.6. $F_1^4 = \bar{D} \cdot C \cdot \bar{B} + \bar{B} \cdot \bar{A}; \quad F_2^4 = \bar{C} \cdot \bar{A} + D \cdot C \cdot \bar{B} + \bar{B} \cdot \bar{A}$.

6.3.7. a) $F^3 = \bar{C} \cdot \bar{B} + \bar{B} \cdot A + B \cdot \bar{A}$.

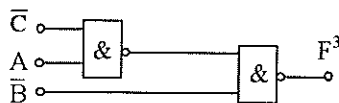
A 6.3.7.a) feladat áramköre a 6.79. ábrán látható.

b) $F^3 = B + \bar{C} \cdot A$.

A 6.3.7.b) feladat áramköre a 6.80. ábrán látható.



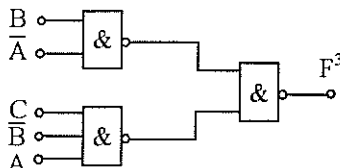
6.79. ábra



6.80. ábra

$$c) F^3 = B \cdot \bar{A} + C \cdot \bar{B} \cdot A.$$

A 6.3.7.c) feladat áramköre a 6.81. ábrán látható.



6.81. ábra



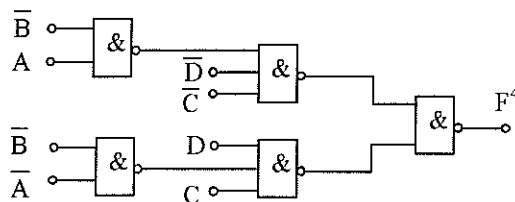
6.82. ábra

$$d) F^3 = B.$$

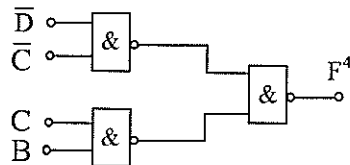
A 6.3.7.d) feladat áramköre a 6.82. ábrán látható.

$$e) F^4 = \bar{D} \cdot \bar{C} \cdot (B + \bar{A}) + D \cdot C \cdot (B + A) \text{ (egy lehetséges megoldás).}$$

A 6.3.7.e) feladat áramköre 6.83. ábrán látható.



6.83. ábra



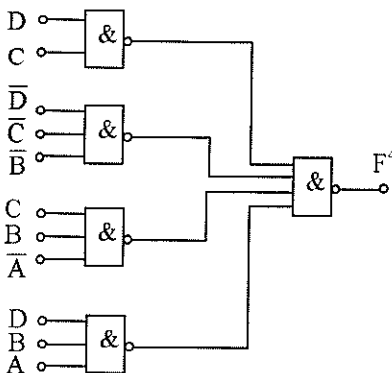
6.84. ábra

$$f) F^4 = \bar{D} \cdot \bar{C} + C \cdot B.$$

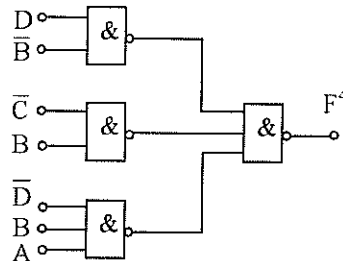
A 6.3.7.f) feladat áramköre a 6.84. ábrán látható.

$$g) F^4 = D \cdot C + \bar{D} \cdot \bar{C} \cdot \bar{B} + C \cdot B \cdot \bar{A} + D \cdot B \cdot A.$$

A 6.3.7.g) feladat áramköre a 6.85. ábrán látható.



6.85. ábra



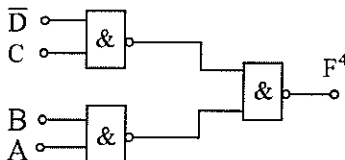
6.86. ábra

$$h) F^4 = D \cdot \bar{B} + \bar{C} \cdot B + \bar{D} \cdot B \cdot A.$$

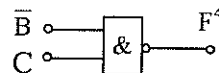
A 6.3.7.h) feladat áramköre 6.86. ábrán látható.

$$i) F^4 = \bar{D} \cdot C + B \cdot A.$$

A 6.3.7.i) feladat áramköre a 6.87. ábrán látható.



6.87. ábra



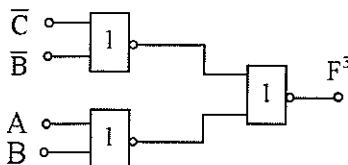
6.88. ábra

$$j) F^4 = B + \bar{C}.$$

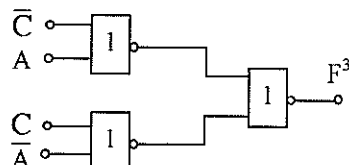
A 6.3.7.j) feladat áramköre a 6.88. ábrán látható.

$$\text{6.3.8. a)} F^3 = (\bar{C} + \bar{B}) \cdot (B + A).$$

A 6.3.8.a) feladat áramköre a 6.89. ábrán látható.



6.89. ábra



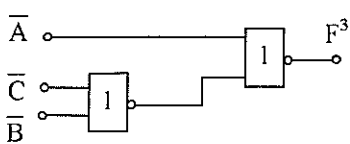
6.90. ábra

$$b) F^3 = (\bar{C} + A) \cdot (C + \bar{A}).$$

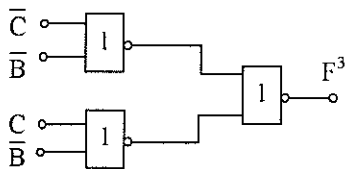
A 6.3.8.b) feladat áramköre a 6.90. ábrán látható.

$$c) F^3 = A \cdot (\bar{C} + \bar{B}).$$

A 6.3.8.c) feladat áramköre a 6.91. ábrán látható.



6.91. ábra



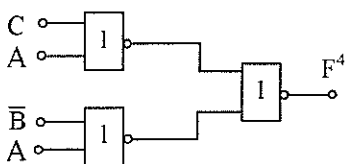
6.92. ábra

$$d) F^3 = (\bar{C} + B) \cdot (C + \bar{B}).$$

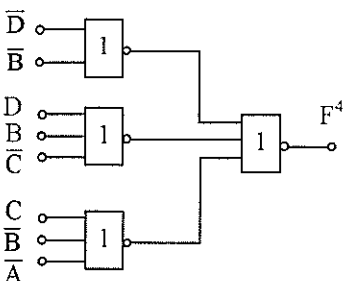
A 6.3.8.d) feladat áramköre a 6.92. ábrán látható.

$$e) F^4 = (C + A) \cdot (\bar{B} + A).$$

A 6.3.8.e) feladat áramköre a 6.93. ábrán látható.



6.93. ábra



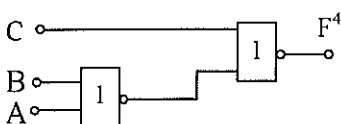
6.94. ábra

$$f) F^4 = (\bar{D} + \bar{B}) \cdot (D + B + \bar{C}) \cdot (C + \bar{B} + \bar{A}).$$

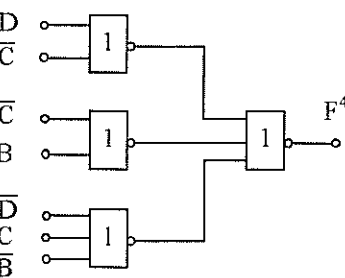
A 6.3.8.f) feladat áramköre a 6.94. ábrán látható.

$$g) F^4 = \bar{C} \cdot (B + A).$$

A 6.3.8.g) feladat áramköre a 6.95. ábrán látható.



6.95. ábra



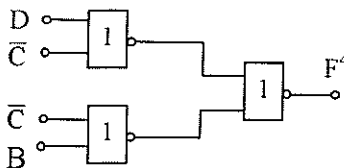
6.96. ábra

$$h) F^4 = (D + \bar{C}) \cdot (\bar{C} + B) \cdot (\bar{D} + C + \bar{B}).$$

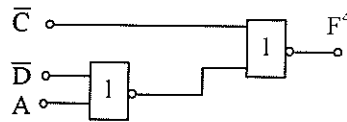
A 6.3.8.h) feladat áramköre a 6.96. ábrán látható.

i) $F^4 = (D + \bar{C}) \cdot (\bar{C} + B)$.

A 6.3.8.i) feladat áramköre a 6.97. ábrán látható.



6.97. ábra



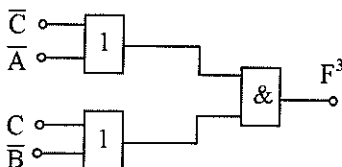
6.98. ábra

j) $F^4 = C \cdot (\bar{D} + A)$.

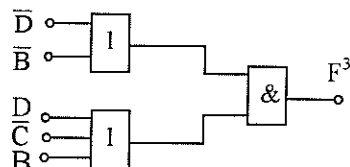
A 6.3.8.j) feladat áramköre a 6.98. ábrán látható.

6.3.9. a) $F^3 = (\bar{C} + \bar{A}) \cdot (C + \bar{B})$.

A 6.3.9.a) feladat áramköre a 6.99. ábrán látható.



6.99. ábra



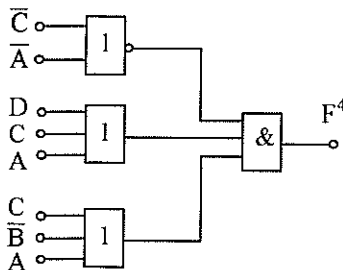
6.100. ábra

b) $F^4 = \bar{D} \cdot \bar{B} + D \cdot \bar{C} \cdot B$.

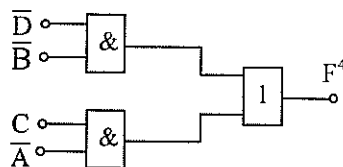
A 6.3.9.b) feladat áramköre a 6.100. ábrán látható.

c) $F^4 = (\bar{C} + \bar{A}) \cdot (D + C + A) \cdot (C + \bar{B} + A)$.

A 6.3.9.c) feladat áramköre a 6.101. ábrán látható.



6.101. ábra



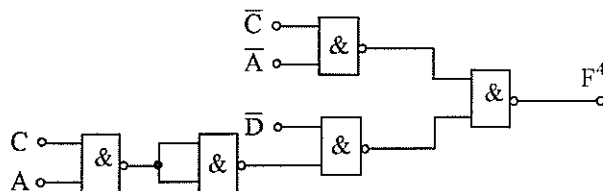
6.102. ábra

d) $F^4 = \bar{D} \cdot \bar{B} + C \cdot \bar{A}$.

A 6.3.9.d) feladat áramköre a 6.102. ábrán látható.

$$6.3.10. a) F^4 = \bar{C} \cdot \bar{A} + \bar{D} \cdot C \cdot A.$$

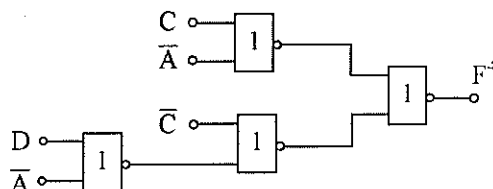
A 6.3.10.a) feladat NAND kapus realizálása a 6.103. ábrán látható.



6.103. ábra

$$F^4 = (C + \bar{A}) \cdot (\bar{C} + \bar{D} \cdot A).$$

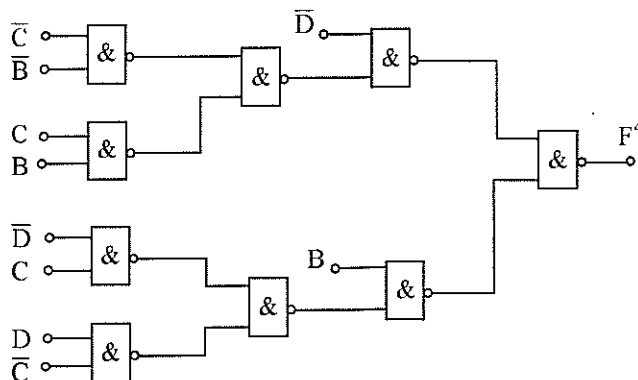
A 6.3.10.a) feladat NOR kapus áramköre a 6.104. ábrán látható.



6.104. ábra

$$b) F^4 = \bar{D} \cdot \bar{C} \cdot \bar{B} + \bar{D} \cdot C \cdot B + D \cdot \bar{C} \cdot B = \bar{D} \cdot (\bar{C} \cdot \bar{B} + C \cdot B) + B \cdot (\bar{D} \cdot C + D \cdot \bar{C})$$

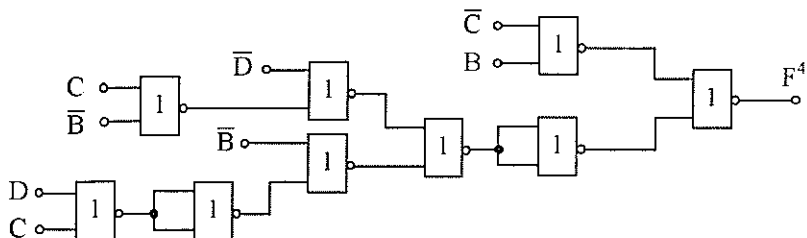
A 6.3.10.b) feladat NAND kapus realizálása a 6.105. ábrán látható.



6.105. ábra

$$F^4 = (\bar{D} + \bar{C}) \cdot (\bar{D} + B) \cdot (\bar{C} + B) \cdot (D + C + \bar{B}) = (\bar{D} + \bar{C} \cdot B) \cdot (\bar{C} + B) \cdot (D + C + \bar{B}).$$

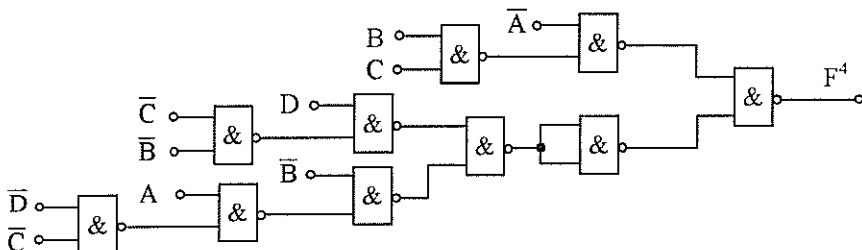
A 6.3.10.b) feladat NOR kapus realizálása a 6.106. ábrán látható.



6.106. ábra

$$c) F^4 = \bar{B} \cdot \bar{A} + \bar{C} \cdot \bar{A} + D \cdot C + D \cdot B + \bar{D} \cdot \bar{C} \cdot \bar{B} = \bar{A} \cdot (\bar{B} + \bar{C}) + (D \cdot (C + B) + \bar{B} \cdot (\bar{A} + \bar{D} \cdot \bar{C})).$$

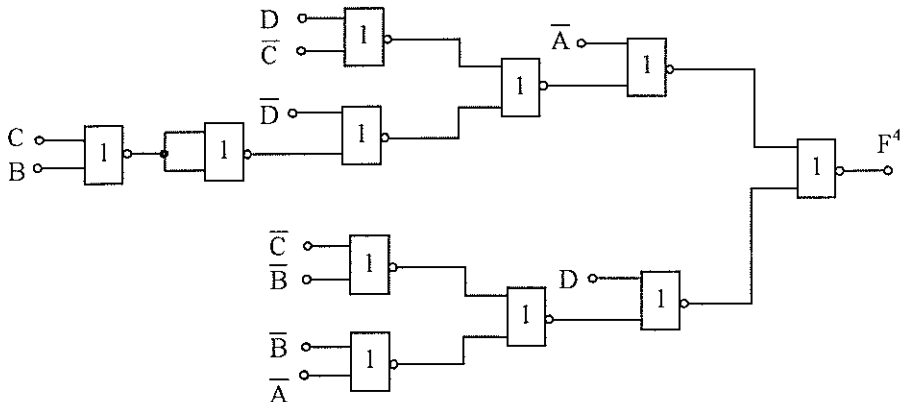
A 6.3.10.c) feladat NAND kapus realizálása a 6.107. ábrán látható.



6.107. ábra

$$F^4 = (\bar{D} + C + B + \bar{A}) \cdot (D + \bar{C} + \bar{A}) \cdot (D + \bar{C} + \bar{B}) \cdot (D + \bar{B} + \bar{A}) = \\ (\bar{A} + (\bar{D} + C + B) \cdot (D + \bar{C})) \cdot (D + (\bar{C} + \bar{B}) \cdot (\bar{B} + \bar{A})).$$

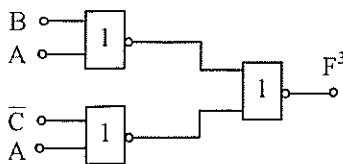
A 6.3.10.c) feladat NOR kapus realizálása a 6.108. ábrán látható.



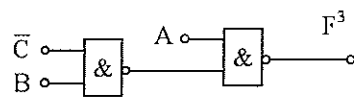
6.108. ábra

$$d) F^3 = (B + A) \cdot (\bar{C} + A).$$

A 6.3.10.d) feladat NOR kapus realizálása a 6.109. ábrán látható.



6.109. ábra



6.110. ábra

$$F^3 = A + \bar{C} \cdot B.$$

A 6.3.10.d) feladat NAND kapus realizálása a 6.110. ábrán látható.

6.3.11. Sztatikus hazárd keletkezik, ha a bemeneti vezérlés 1101–1111 állapotok között változik. A hazárdmentesítéshez az eredeti $F^4 = \bar{B} \cdot A + D \cdot C \cdot B$ függvény helyett az $F^4 = \bar{B} \cdot A + D \cdot C \cdot B + D \cdot C \cdot A$ függvényt kell megvalósítani.

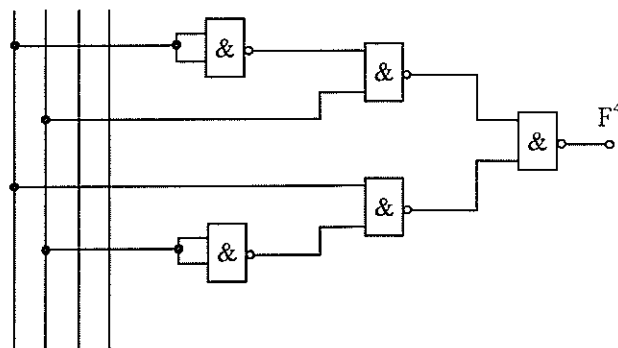
6.3.12. Sztatikus hazárd keletkezik a 1011–1010 átmenetnél. A hazárdmentesített függvény: $F^4 = B \cdot A + D \cdot \bar{C} \cdot \bar{A} + D \cdot \bar{C} \cdot B$.

6.3.13. Dinamikus hazárd keletkezik 1111–1011 bemeneti vezérlés esetén. A hazárdmentesített függvény: $F^4 = D \cdot C + \bar{C} \cdot B \cdot A + D \cdot B \cdot A$.

$$6.3.14. F^4 = \bar{D} \cdot C + D \cdot \bar{C}.$$

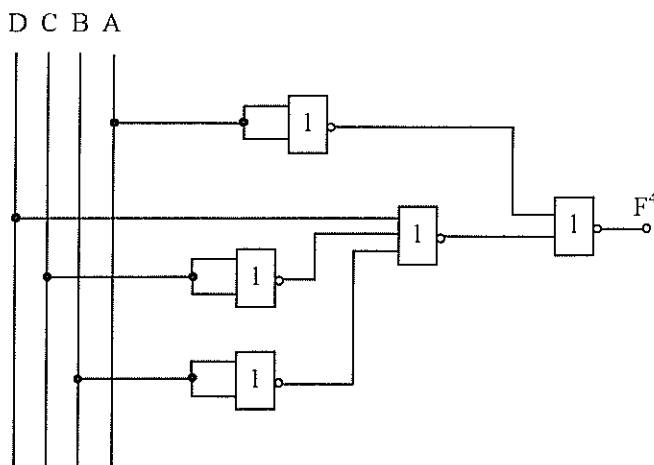
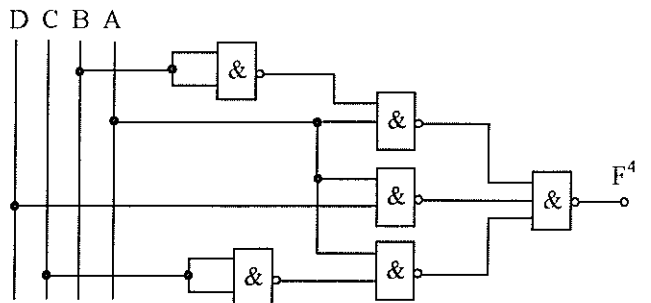
A kombinációs hálózat a 6.111. ábrán látható.

D C B A



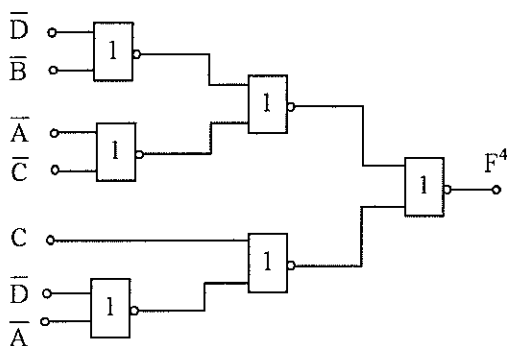
6.111. ábra

6.3.15. A hálózatok a **6.112.** ábrán láthatók.



6.112. ábra

6.3.16. A feladat kombinációs hálózata a **6.113.** ábrán látható.



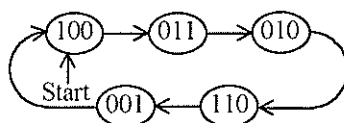
6.113. ábra

$$6.4.1. J_C = K_C = \overline{Q_A} + \overline{Q_B}; J_B = K_B = Q_C; J_A = Q_C; K_A = 1.$$

Az állapotátmeneti táblázat és az állapotdiagram a 6.114. ábrán látható.

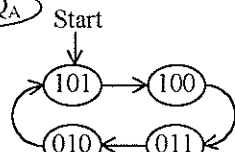
N QC QB QA	J _C K _C J _B K _B J _A K _A	N+1 QC QB QA
0 0 0	1 1 0 0 0 1	1 0 0
0 0 1	1 1 0 0 0 1	1 0 0
0 1 0	1 1 0 0 0 1	1 1 0
0 1 1	0 0 0 0 0 1	0 1 0
1 0 0	1 1 1 1 1 1	0 1 1
1 0 1	1 1 1 1 1 1	0 1 0
1 1 0	1 1 1 1 1 1	0 0 1
1 1 1	0 0 1 1 1 1	1 0 0

(Q_CQ_BQ_A)



6.114. ábra

(Q_CQ_BQ_A)

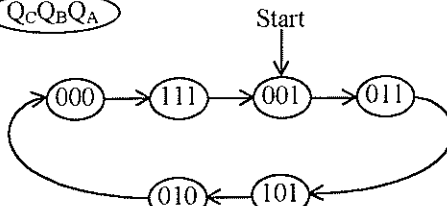


6.115. ábra

6.4.2. A hálózat állapotdiagramja a 6.115. ábrán látható.

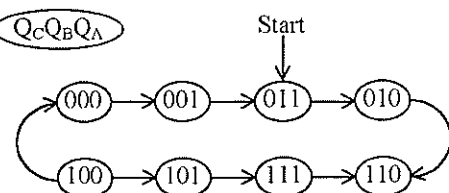
6.4.3. A hálózat állapotdiagramja a 6.116. ábrán látható.

(Q_CQ_BQ_A)



6.116. ábra

(Q_CQ_BQ_A)



6.117. ábra

6.4.4. A hálózat állapotdiagramja a 6.117. ábrán látható.

6.4.5. A hálózat állapotdiagramja a 6.118. ábrán látható.

(Q_DQ_CQ_BQ_A)

Start

↓

1101

↓

1000

↓

1010

↓

1001

↓

0101

↓

0010

↓

1010

↓

1000

↓

1010

↓

0101

↓

0010

↓

1010

↓

0101

↓

0010

↓

1010

↓

1000

↓

1010

↓

0101

↓

0010

↓

1010

↓

0101

↓

0010

↓

1010

↓

0101

↓

0010

↓

1010

↓

0101

↓

0010

↓

1010

↓

0101

↓

0010

↓

1010

↓

0101

↓

0010

↓

1010

↓

0101

↓

0010

↓

1010

↓

0101

↓

0010

↓

1010

↓

0101

↓

0010

↓

1010

↓

0101

↓

0010

↓

1010

↓

0101

↓

0010

↓

1010

↓

0101

↓

0010

↓

1010

↓

0101

↓

0010

↓

1010

↓

0101

↓

0010

↓

1010

↓

0101

↓

0010

↓

1010

↓

0101

↓

0010

↓

1010

↓

0101

↓

0010

↓

1010

↓

0101

↓

0010

↓

1010

↓

0101

↓

0010

↓

1010

↓

0101

↓

0010

↓

1010

↓

0101

↓

0010

↓

1010

↓

0101

↓

0010

↓

1010

↓

0101

↓

0010

↓

1010

↓

0101

↓

0010

↓

1010

↓

0101

↓

0010

↓

1010

↓

0101

↓

0010

↓

1010

↓

0101

↓

0010

↓

1010

↓

0101

↓

0010

↓

1010

↓

0101

↓

0010

↓

1010

↓

0101

↓

0010

↓

1010

↓

0101

↓

0010

↓

1010

↓

0101

↓

0010

↓

1010

↓

0101

↓

0010

↓

1010

↓

0101

↓

0010

↓

1010

↓

0101

↓

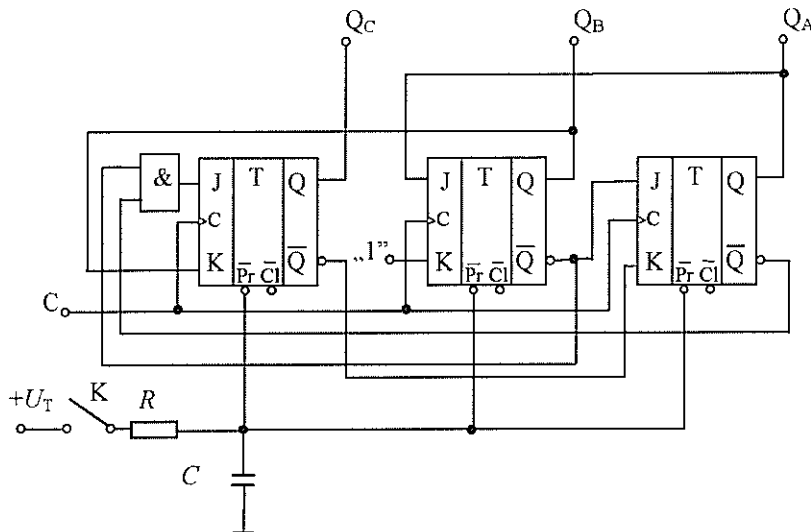
0010

↓

1010

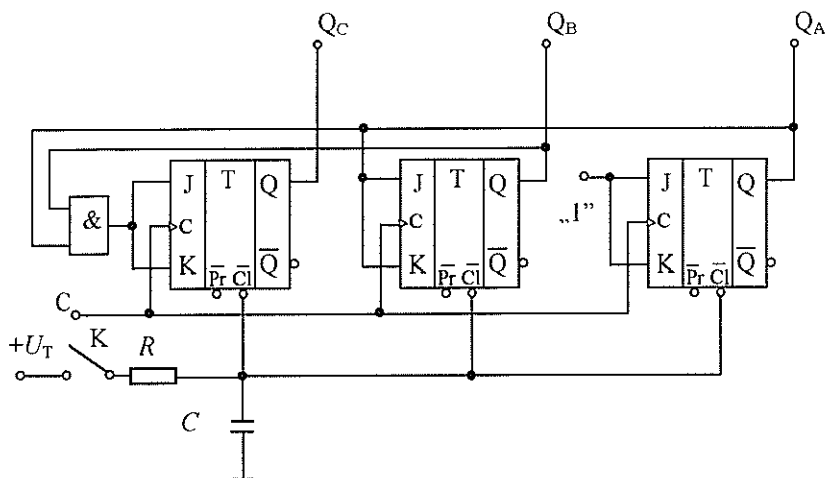
6.4.7.

$J_C = \overline{Q_B} \cdot \overline{Q_A}$; $J_B = Q_A$; $J_A = \overline{Q_B}$; $K_C = Q_B$; $K_B = „1”$; $K_A = \overline{Q_C}$. A hálózat a 6.120. ábrán látható.



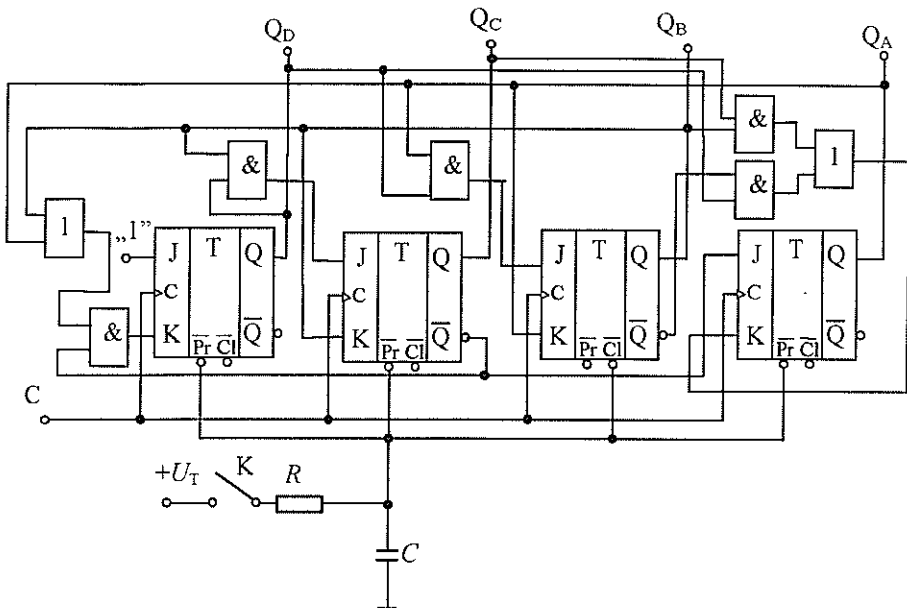
6.120. ábra

6.4.8. $J_C = Q_B \cdot Q_A$; $J_B = Q_A$; $J_A = „1”$; $K_C = Q_B \cdot Q_A$; $K_B = Q_A$; $K_A = „1”$ (6.121. ábra).



6.121. ábra

6.4.9. $J_D = 1$; $J_C = Q_D \cdot Q_B$; $J_B = Q_D \cdot Q_A$; $J_A = \overline{Q_C}$; $K_D = \overline{Q_C} \cdot Q_B + \overline{Q_C} \cdot Q_A$;
 $K_C = Q_B$; $K_B = Q_A$; $K_A = Q_D \cdot \overline{Q_B} + Q_C \cdot Q_B$. A hálózat a 6.122. ábrán látható.



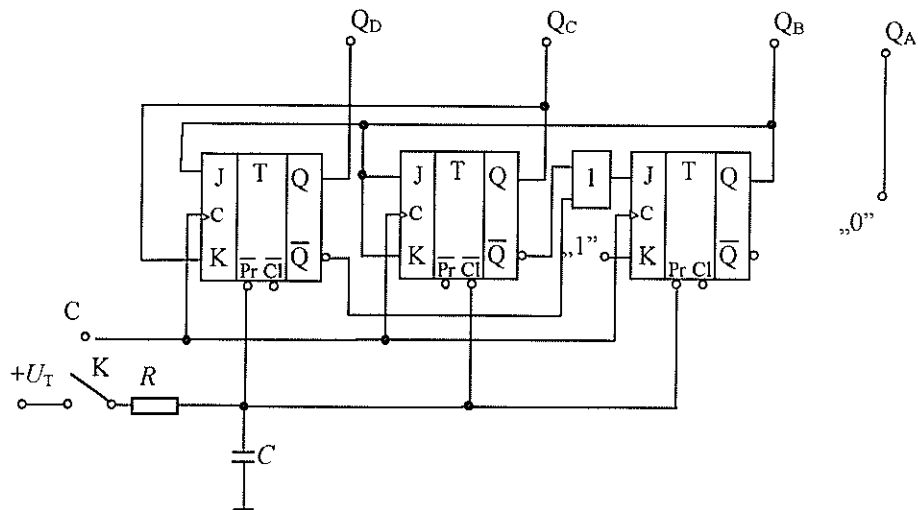
6.122. ábra

6.4.10. $J_D = \overline{Q_B} \cdot Q_C \cdot \overline{Q_A}$; $J_C = \overline{Q_D} \cdot Q_B \cdot \overline{Q_A}$; $J_B = \overline{Q_D} \cdot \overline{Q_C} \cdot Q_A + Q_D \cdot Q_C \cdot Q_A$;
 $K_D = \overline{Q_C} \cdot \overline{Q_B} \cdot \overline{Q_A}$; $K_C = Q_D \cdot Q_B \cdot \overline{Q_A}$; $K_B = \overline{Q_D} \cdot Q_C \cdot Q_A + Q_D \cdot \overline{Q_C} \cdot Q_A$;
 $J_A = \overline{Q_D} \cdot \overline{Q_C} \cdot \overline{Q_B} + \overline{Q_D} \cdot Q_C \cdot Q_B + Q_D \cdot Q_C \cdot \overline{Q_B} + Q_D \cdot \overline{Q_C} \cdot Q_B$;
 $K_A = \overline{Q_D} \cdot \overline{Q_C} \cdot Q_B + \overline{Q_D} \cdot Q_C \cdot \overline{Q_B} + Q_D \cdot Q_C \cdot Q_B + Q_D \cdot \overline{Q_C} \cdot \overline{Q_B}$.

6.4.11. $J_D = Q_B$; $J_C = Q_B$; $J_B = \overline{Q_D} + \overline{Q_C}$; $J_A = „0”$;

$K_D = Q_C$; $K_C = Q_B$; $K_B = „1”$; $K_A = „0”$.

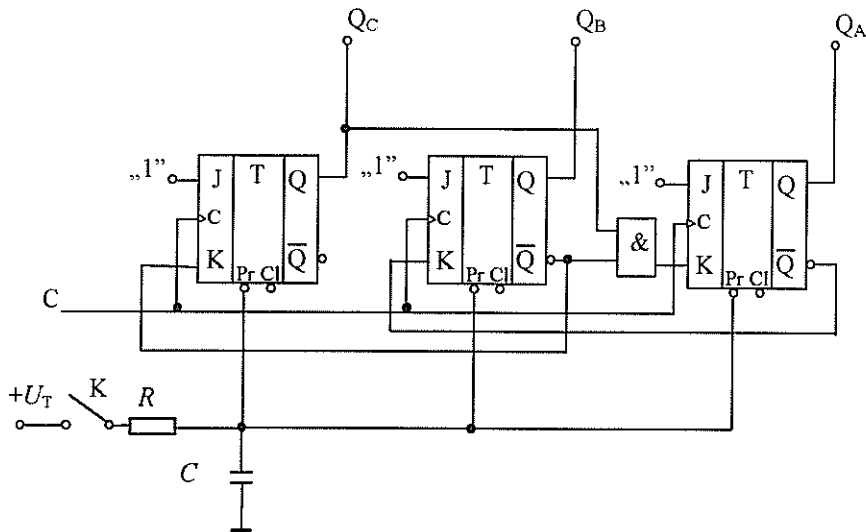
A realizált hálózat a 6.123. ábrán látható.



6.123. ábra

6.4.12. $J_C = \text{„1”}$; $J_B = 1$; $J_A = \text{„1”}$;

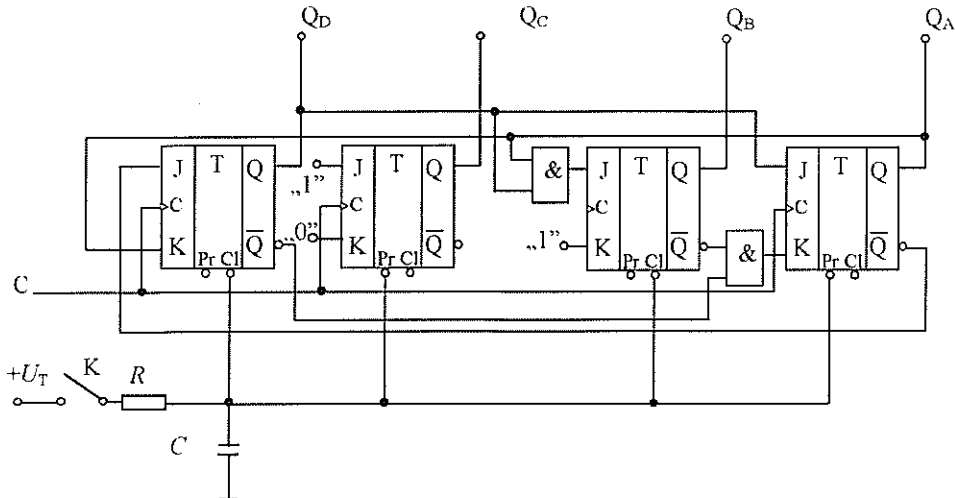
$K_C = \overline{Q_B}$; $K_B = \overline{Q_A}$; $K_A = Q_C \cdot Q_B$. A realizált hálózat a 6.124. ábrán látható.



6.124. ábra

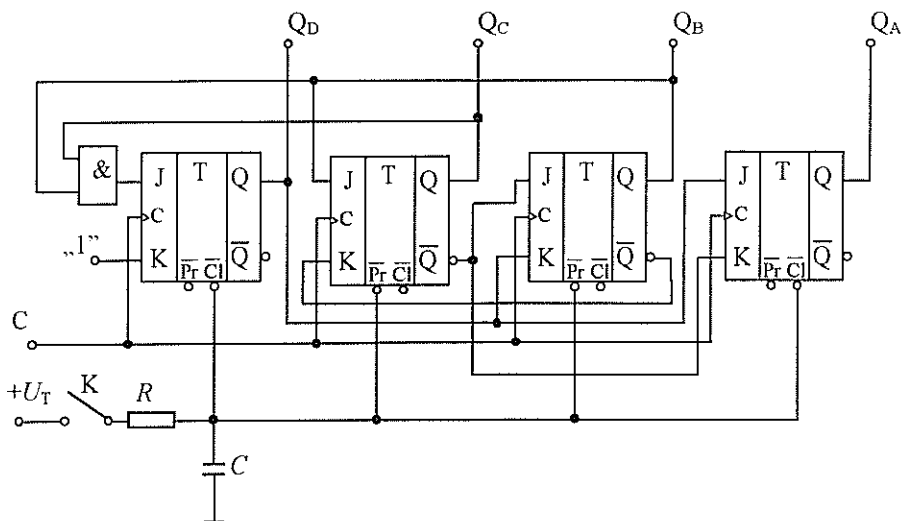
6.4.13. $J_D = \overline{Q_A}$; $J_C = \text{„1”}$; $J_B = Q_D \cdot Q_A$; $J_A = Q_D$; $K_D = Q_A$; $K_C = \text{„0”}$;

$K_B = \text{„1”}$; $K_A = \overline{Q_D} \cdot \overline{Q_B}$. A realizált hálózat a 6.125. ábrán látható.



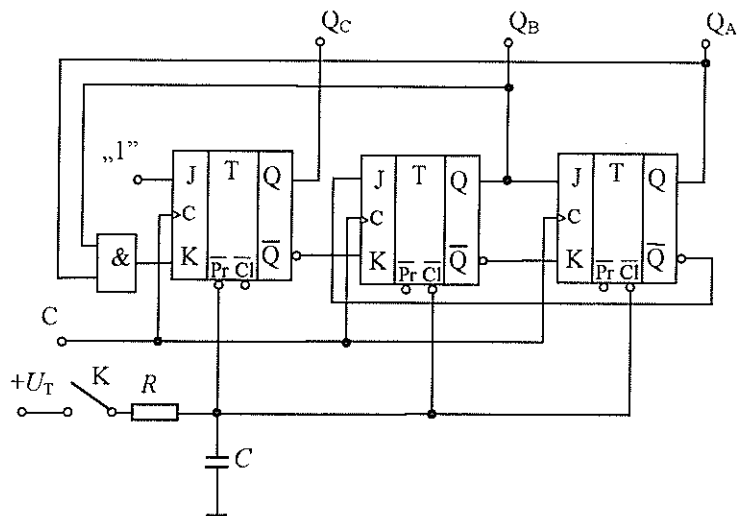
6.125. ábra

6.4.14. $J_D = Q_C \cdot Q_B$; $J_C = Q_B$; $J_B = \overline{Q_C}$; $J_A = Q_D$; $K_D = \text{„1”}$; $K_C = \overline{Q_B}$; $K_B = Q_D$; $K_A = \overline{Q_C}$. A realizált hálózat a 6.126. ábrán látható.



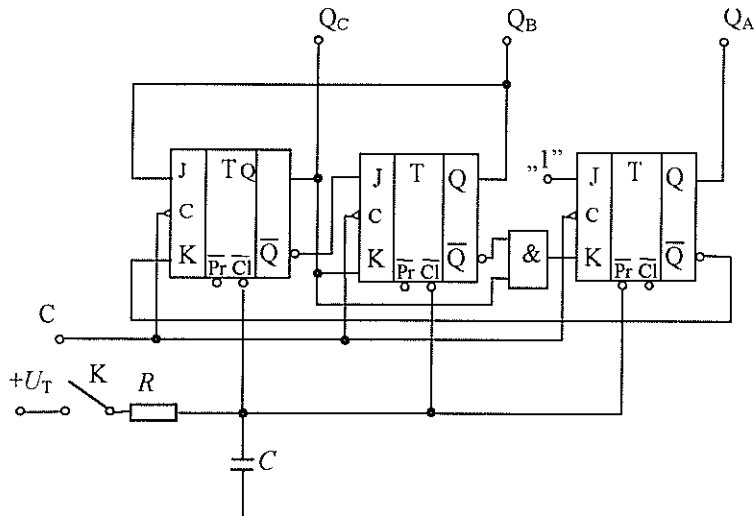
6.126. ábra

6.4.15. $J_C = \text{„1”}$; $J_B = \overline{Q_A}$; $J_A = Q_B$; $K_C = Q_B \cdot Q_A$; $K_B = \overline{Q_C}$; $K_A = \overline{Q_B}$. A realizált hálózat a 6.127. ábrán látható.



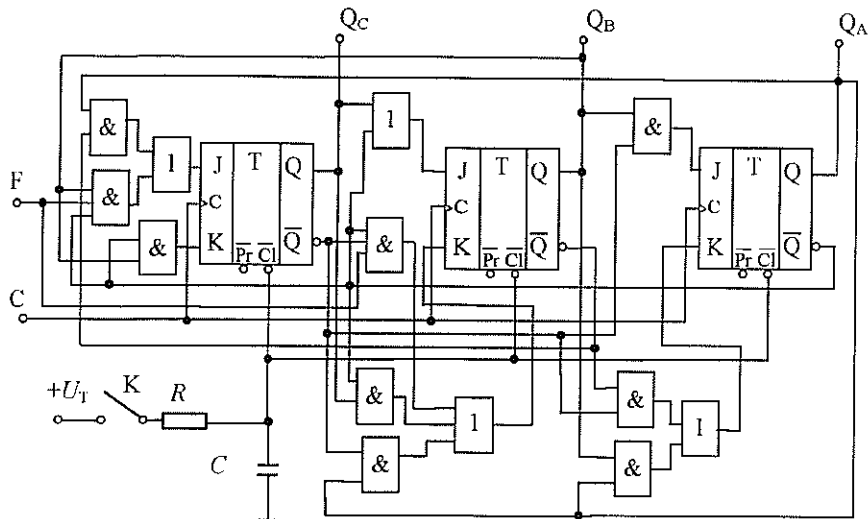
6.127. ábra

6.4.16. $J_C = Q_B$; $K_C = \bar{Q}_A$; $J_B = \bar{Q}_C$; $K_B = Q_C$; $J_A = 1$; $K_A = Q_C \cdot \bar{Q}_B$. A szükséges tárolók negatív elvezéreltek. A realizált hálózat a 6.128. ábrán látható.



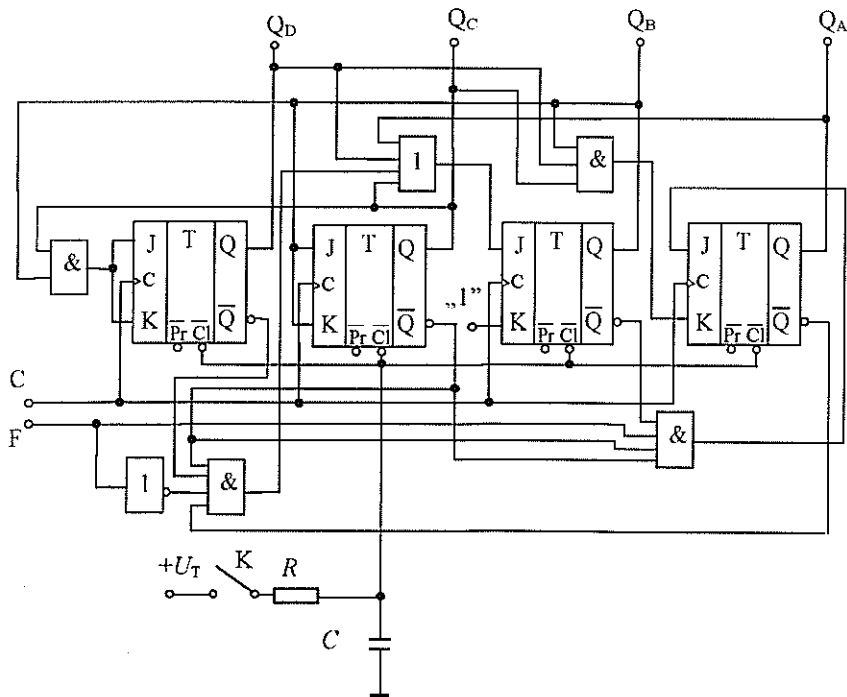
6.128. ábra.

6.4.17. $J_C = \bar{Q}_B \cdot Q_A + F \cdot Q_B \cdot \bar{Q}_A$; $J_B = Q_C + \bar{Q}_A$; $J_A = \bar{Q}_C \cdot Q_B$; $K_C = Q_B \cdot \bar{Q}_A$; $K_B = Q_C \cdot \bar{Q}_A + \bar{Q}_C \cdot Q_A + F \cdot \bar{Q}_C \cdot \bar{Q}_A$; $K_A = \bar{Q}_C \cdot \bar{Q}_B + Q_B \cdot Q_A$. A realizált hálózat a 6.129. ábrán látható.



6.129. ábra

6.4.18. $J_D = Q_C \cdot Q_B$; $J_B = Q_B$; $J_C = Q_D + Q_C + Q_A + \bar{F} \cdot \bar{Q}_D \cdot \bar{Q}_C \cdot \bar{Q}_A$; $J_A = F \cdot \bar{Q}_D \cdot \bar{Q}_C \cdot \bar{Q}_B$; $K_D = Q_C \cdot Q_B$; $K_C = Q_B$; $K_B = \text{„1”}$; $K_A = Q_D \cdot Q_C \cdot Q_B$. A realizált hálózat a 6.130. ábrán látható.



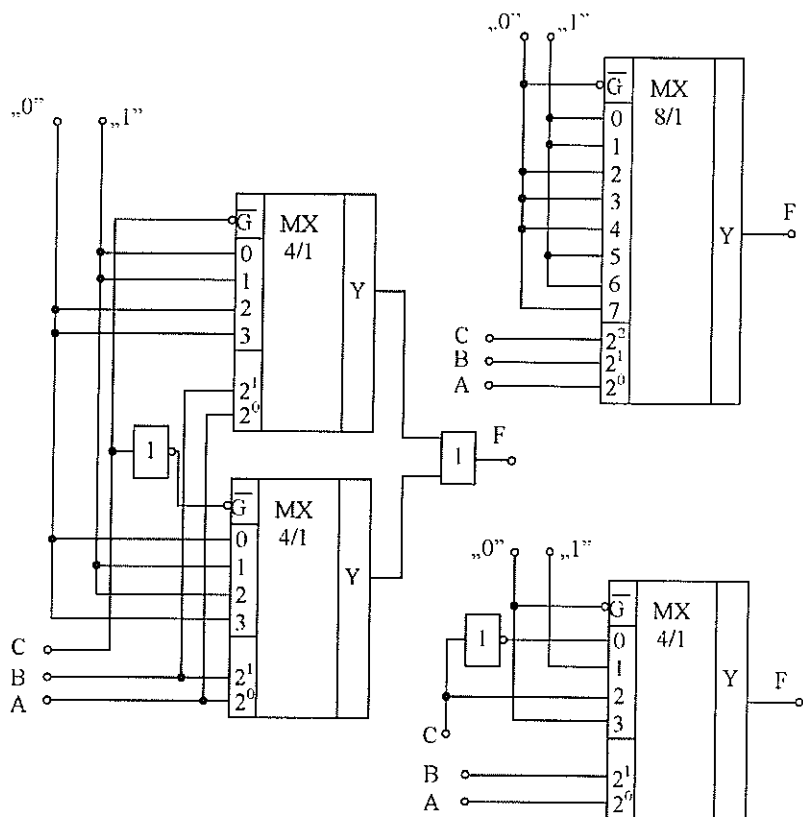
6.130. ábra

$$\begin{aligned}
 6.4.19. \quad & J_D = Q_C \cdot \overline{Q_B}; \quad J_C = Q_B \cdot \overline{Q_A} + \overline{Q_D} \cdot \overline{Q_B} \cdot Q_A; \\
 & K_D = Q_C \cdot Q_B; \quad K_C = \overline{Q_D} \cdot \overline{Q_B} + \overline{Q_D} \cdot \overline{Q_A} + F \cdot Q_B \cdot Q_A; \\
 & J_B = Q_C \cdot \overline{Q_A} + Q_D \cdot Q_A; \quad J_A = \overline{Q_D} \cdot \overline{Q_C} + \overline{Q_C} \cdot \overline{Q_B}; \\
 & K_B = Q_D \cdot \overline{Q_C} + \overline{Q_C} \cdot Q_A + F \cdot Q_C \cdot Q_A; \quad K_A = \overline{Q_C} + \overline{Q_B}.
 \end{aligned}$$

$$\begin{aligned}
 6.4.20. \quad & J_C = \overline{Q_B} \cdot \overline{Q_A} + Q_B \cdot Q_A + F_2 \cdot Q_B \cdot \overline{Q_A}; \quad K_C = \overline{Q_B}; \quad J_B = Q_C \cdot Q_A + \overline{Q_C} \cdot \overline{Q_A}; \\
 & K_B = "1"; \quad J_A = \overline{Q_C} \cdot \overline{Q_B} + \overline{F}_2 \cdot Q_B; \quad K_A = \overline{Q_C} \cdot \overline{Q_B} + \overline{F}_1 \cdot Q_C \cdot \overline{Q_B}.
 \end{aligned}$$

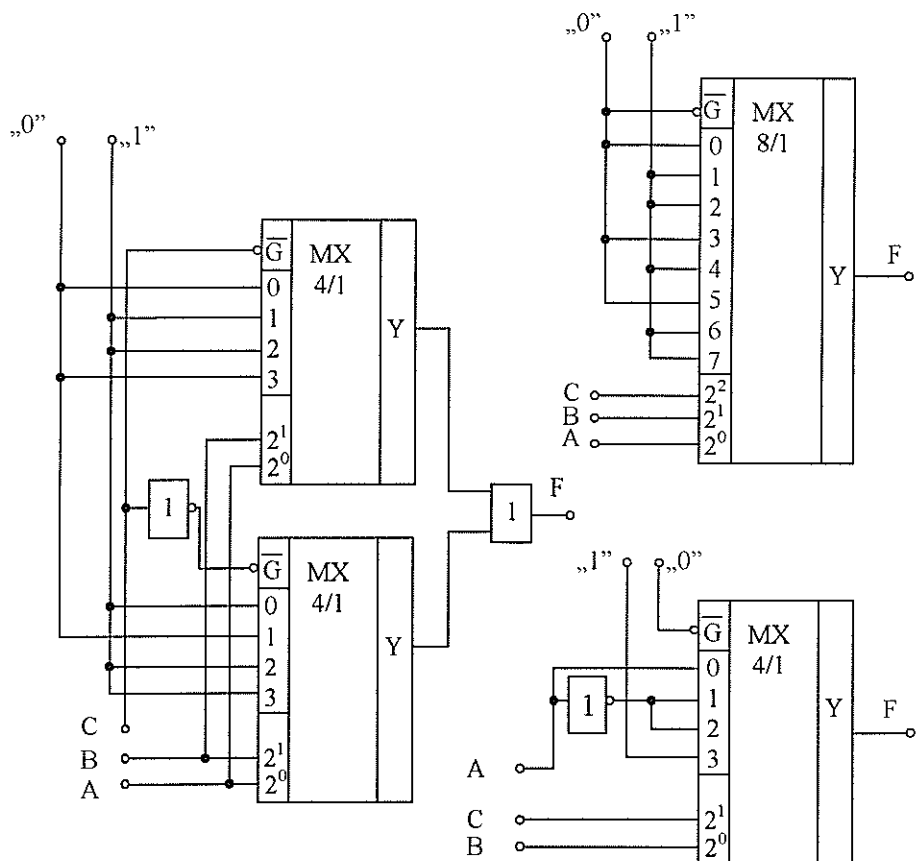
$$\begin{aligned}
 6.4.21. \quad & J_C = \overline{Q_B} \cdot Q_A + \overline{F}_2 \cdot Q_B; \quad J_B = Q_C \cdot Q_A + \overline{F}_1 \cdot \overline{Q_C} \cdot Q_A; \quad J_A = \overline{Q_C}; \\
 & K_C = Q_B \cdot Q_A; \quad K_B = \overline{Q_C}; \quad K_A = \overline{F}_2 \cdot \overline{Q_C} \cdot \overline{Q_B}.
 \end{aligned}$$

6.5.1. A realizált hálózat a 6.131. ábrán látható.



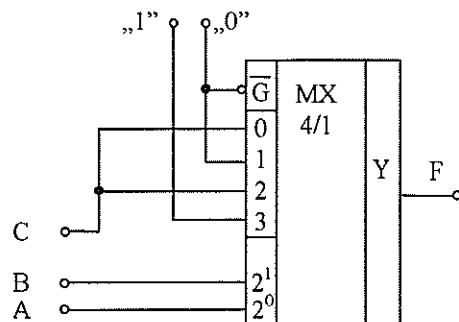
6.131. ábra

6.5.2. A realizált hálózat a **6.132.** ábrán látható.



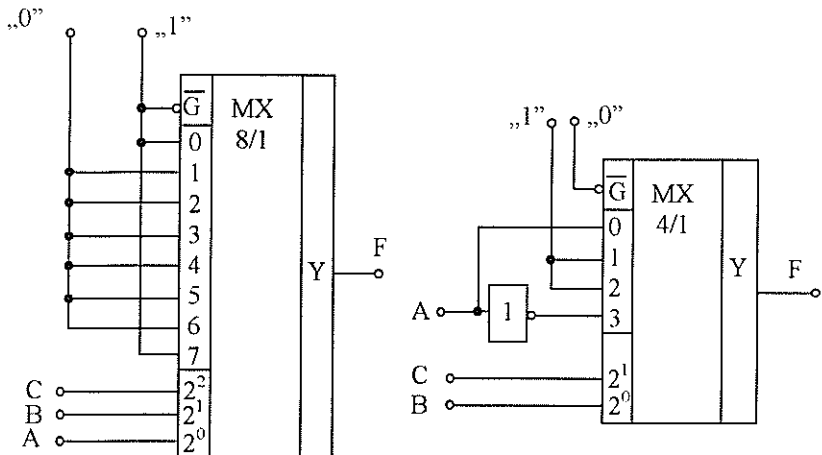
6.132. ábra

6.5.3. $F^3 = \sum^3(3,4,6,7)$ A realizált hálózat a **6.133.** ábrán látható.



6.133. ábra

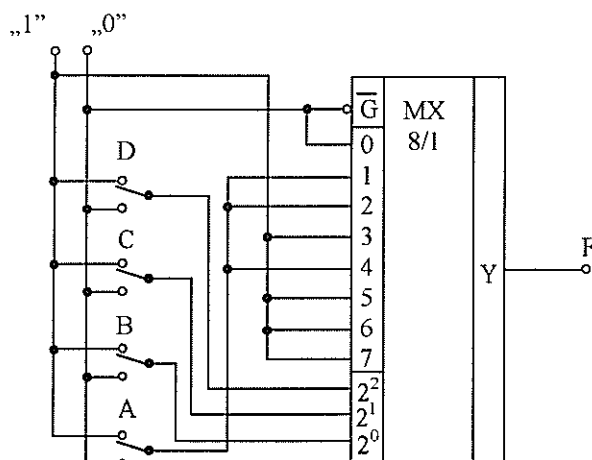
6.5.4. $F^3 = \sum^3 (1, 2, 3, 4, 5, 6)$. A realizált hálózat a 6.134. ábrán látható.



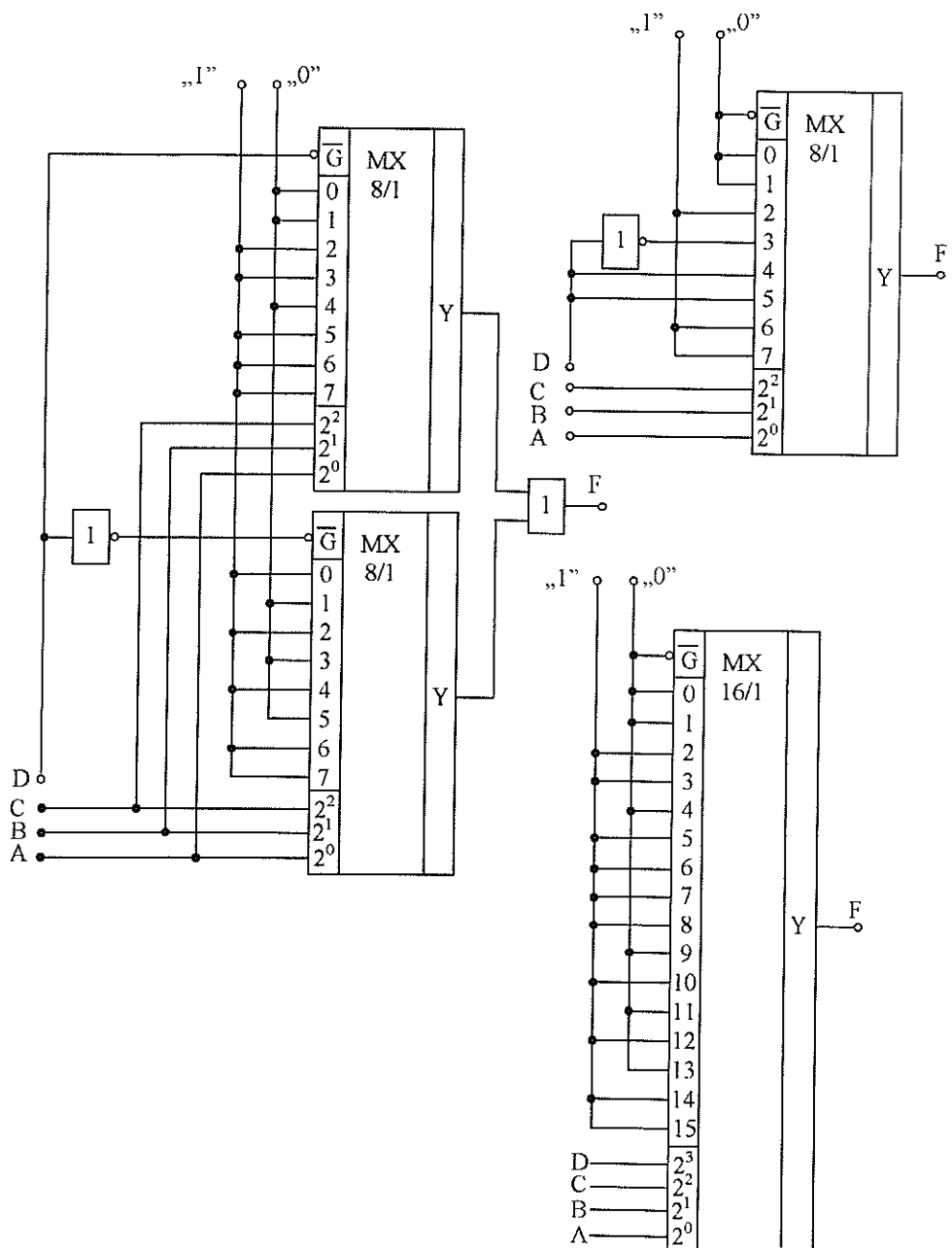
6.134. ábra

6.5.5. $F^4 = \sum^4 (2, 3, 5, 6, 7, 8, 10, 12, 14, 15)$. A realizált hálózat a 6.135. ábrán látható.

6.5.6. A realizált hálózat a 6.136. ábrán látható.

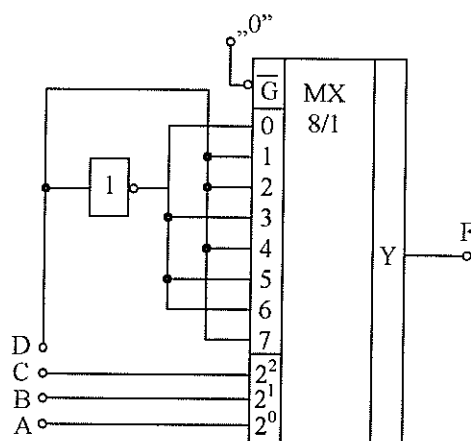


6.136. ábra



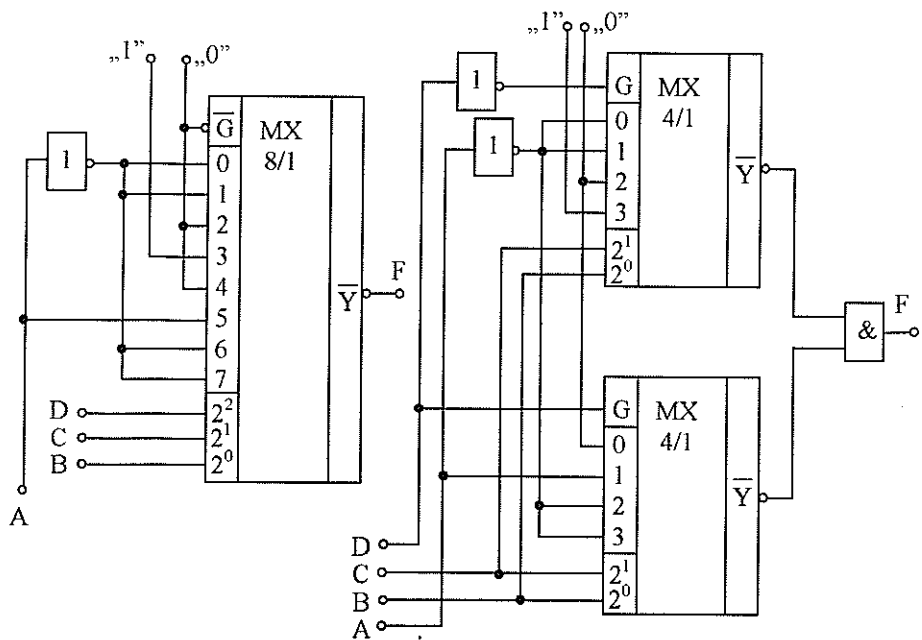
6.135. ábra

6.5.7. A realizált hálózat a 6.137. ábrán látható.



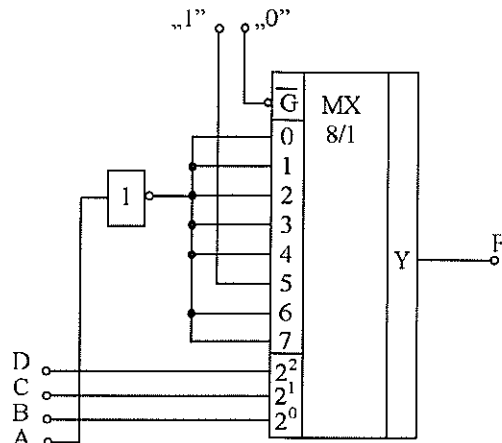
6.137. ábra

6.5.8. A realizált hálózat a 6.138. ábrán látható.



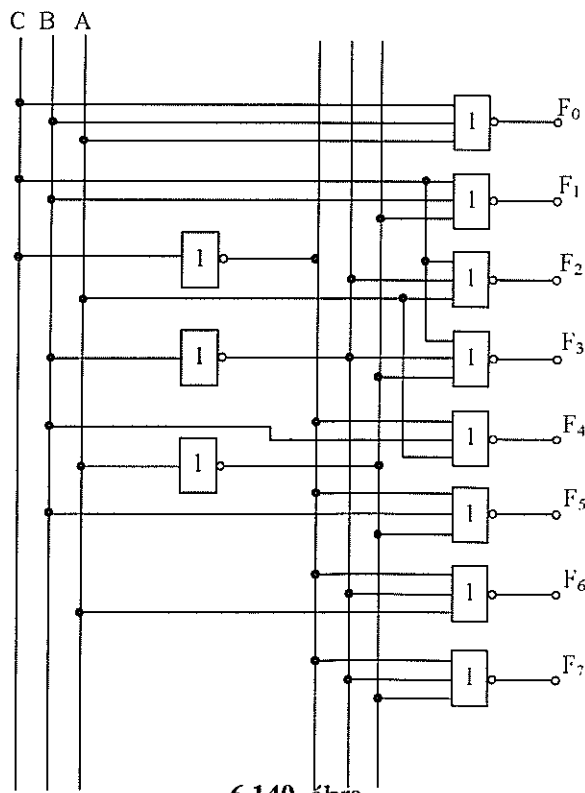
6.138. ábra

6.5.9. Az egyenértékű hálózat a 6.139. ábrán látható.



6.139. ábra

6.5.10. A dekódoló a 6.140. ábrán látható.

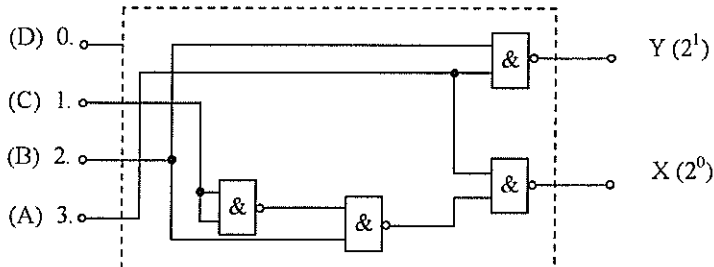


6.140. ábra

$$6.5.11. \quad F_1^4 = D; \quad F_2^4 = \overline{D} \cdot C + \overline{D} \cdot A + \overline{D} \cdot B + C \cdot B \cdot A;$$

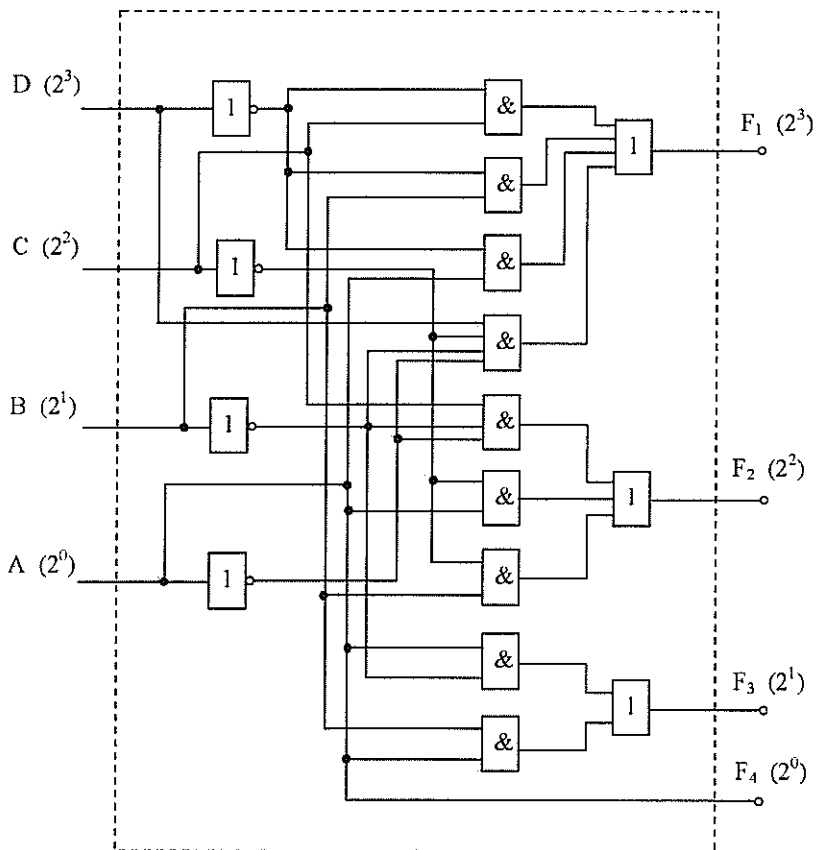
$$F_3^4 = \overline{D} \cdot \overline{B} \cdot \overline{A} + \overline{D} \cdot B \cdot A + D \cdot \overline{B} \cdot A + D \cdot B \cdot \overline{A}; \quad F_4^4 = A.$$

6.5.12. A megvalósított áramkör a 6.141. ábrán látható.



6.141. ábra

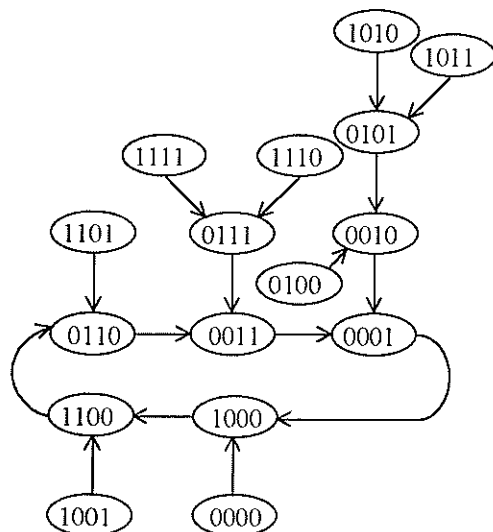
6.5.13. A kódoló a **6.142.** ábrán látható.



6.142. ábra

6.5.14. Az állapotátmeneti tábla és az állapotdiagram a 6.143. ábrán látható.

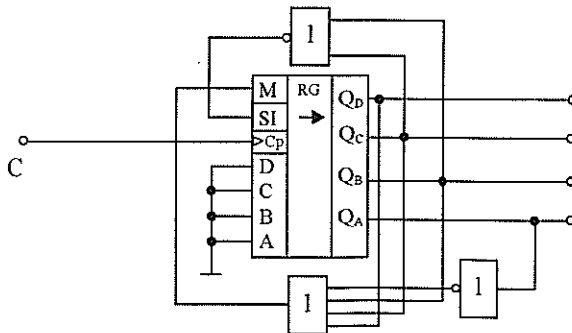
n				n+1			
Q _D	Q _C	Q _B	Q _A	Q _D	Q _C	Q _B	Q _A
0	0	0	0	1	0	0	0
0	0	0	1	1	0	0	0
0	0	1	0	0	0	0	1
0	0	1	1	0	0	0	1
0	1	0	0	0	0	1	0
0	1	0	1	0	0	1	0
0	1	1	0	0	0	1	1
0	1	1	1	0	0	1	1
1	0	0	0	1	1	0	0
1	0	0	1	1	1	0	0
1	0	1	0	0	1	0	1
1	0	1	1	0	1	0	1
1	1	0	0	0	1	1	0
1	1	0	1	0	1	1	0
1	1	1	0	0	1	1	1
1	1	1	1	0	1	1	1



6.143. ábra

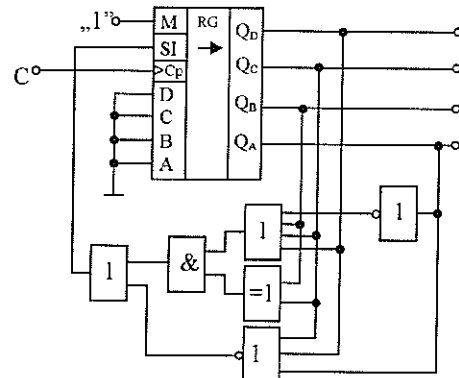
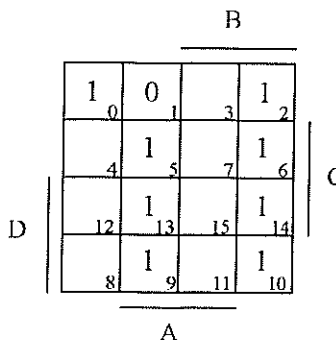
Az átalakításhoz a 0001 kimeneti állapotot kell figyelni: $F = \overline{Q_D} \cdot \overline{Q_C} \cdot \overline{Q_B} \cdot Q_A$. Mivel a párhuzamos beírás $M = 0$ -ra történik, ezért az M bemenetet az F függvény negáltja vezérli: $\bar{F} = \overline{Q_D} \cdot \overline{Q_C} \cdot \overline{Q_B} \cdot Q_A = Q_D + Q_C + Q_B + Q_A$.

A figyelt kimeneti állapot elérésekor a párhuzamos beíró bemeneteken 0000 értéket kell beírni. Az átalakított kapcsolást a **6.144.** ábra szemlélteti.



6.144. ábra

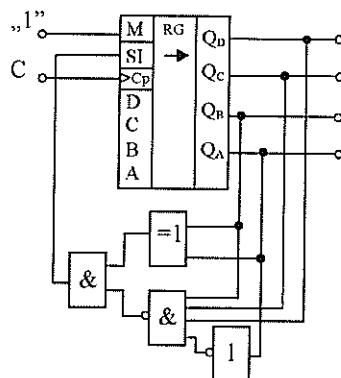
6.5.15. Az átalakított kapcsolás a 6.145. ábrán látható.



6.145. ábra

$$\begin{aligned}
 SI &= (B \cdot \bar{A} + \bar{B} \cdot A) \cdot (\bar{D} \cdot \bar{C} \cdot \bar{B} \cdot A) + \bar{D} \cdot \bar{C} \cdot \bar{A} = (B \oplus A) \cdot (D + C + B + \bar{A}) + \bar{D} \cdot \bar{C} \cdot \bar{A} = \\
 &= (B \oplus A) \cdot (D + C + B + \bar{A}) + (\bar{D} + C + A).
 \end{aligned}$$

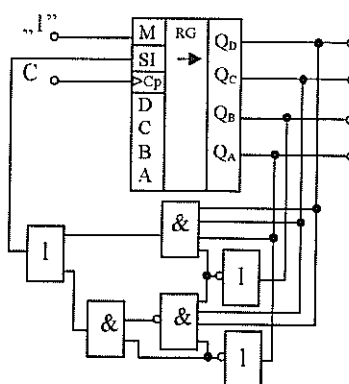
6.5.16. Az átalakított kapcsolás a 6.146. ábrán látható.



6.146. ábra

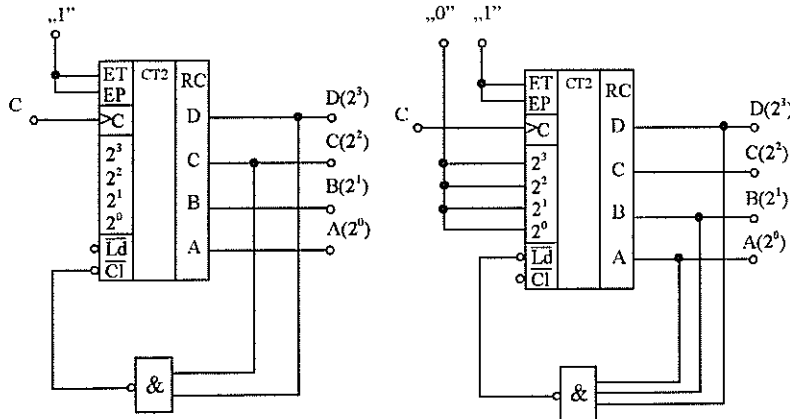
6.5.17. A számláló a 6.147. ábrán látható.

Q _D Q _C Q _B Q _A	Q _D Q _C Q _B Q _A
0 0 0 0	0 1 1 0
1 0 0 0	1 0 1 1
1 1 0 0	0 1 0 1
1 1 1 0	0 0 1 0
1 1 1 1	1 0 0 1
0 1 1 1	0 1 0 0
0 0 1 1	1 0 1 0
0 0 0 1	1 1 0 1
0 0 0 0	0 1 1 0
.	.
.	.



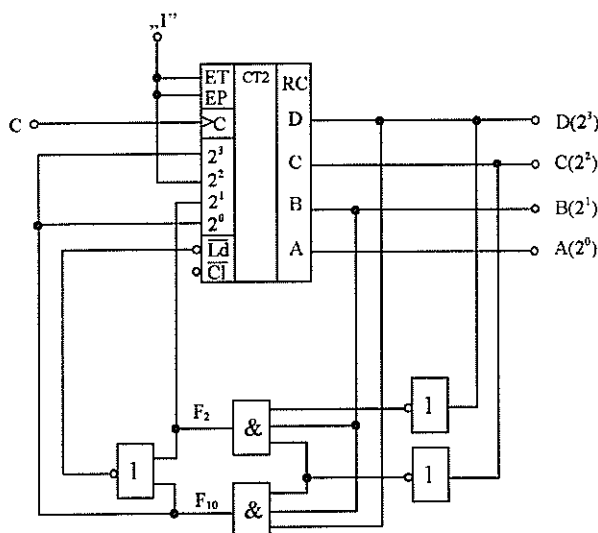
6.147. ábra

6.5.18. Az átalakított számláló a 6.148. ábrán látható.



6.148. ábra

6.5.19. A vezérlő logikai függvények: $F_2 = \bar{D} \cdot \bar{C} \cdot B$; $F_{10} = D \cdot \bar{C} \cdot B$. Az áramkör a 6.149. ábrán látható.

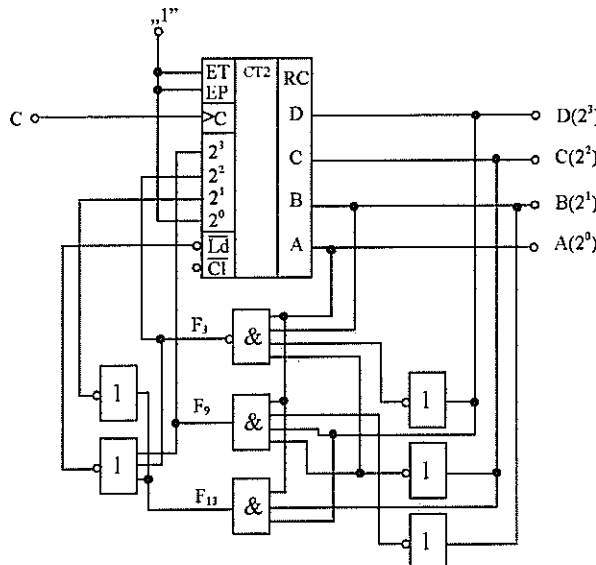


6.149. ábra

6.5.20. A vezérlő logikai függvények: $F_3 = \bar{D} \cdot \bar{C} \cdot B \cdot A$; $F_9 = D \cdot \bar{C} \cdot \bar{B} \cdot A$; $F_{13} = D \cdot C \cdot A$.

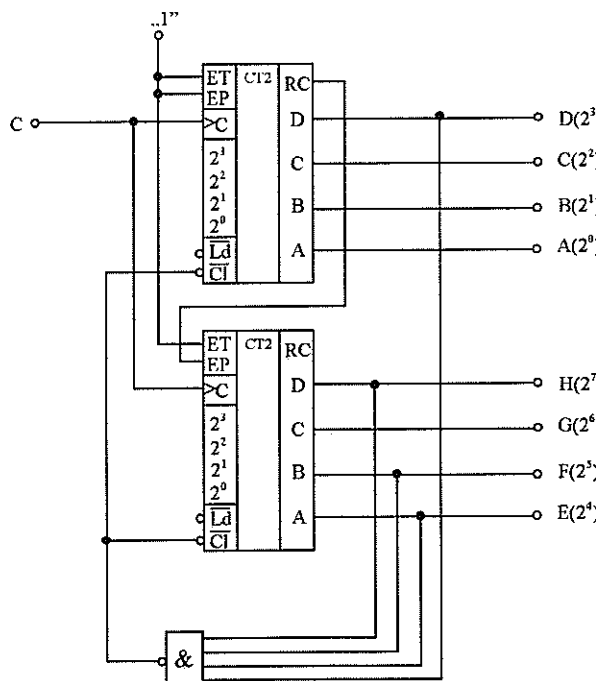
	2^3	2^2	2^1	2^0
F_3	0	1	1	1
F_9	1	0	1	1
F_{13}	0	0	0	1
F_9	F_3	F_{13}	„1”	

Az áramkör a 6.150. ábrán látható.



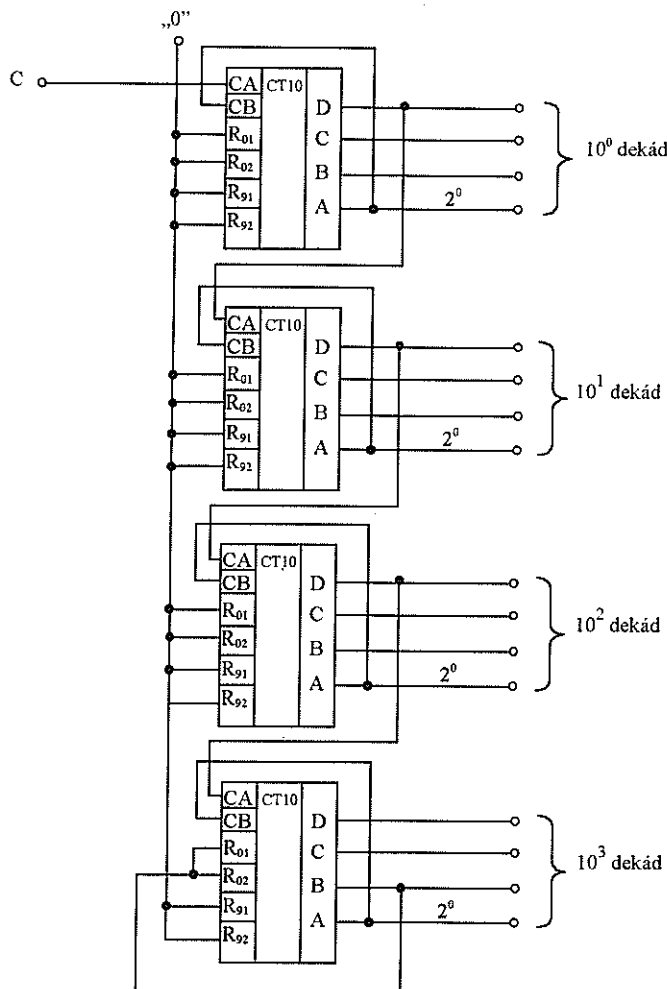
6.150. ábra

7.5.21. A függvények $F_8=D$; $F_{11}=H \cdot F \cdot E$. A kapcsolás a 6.151. ábrán látható.



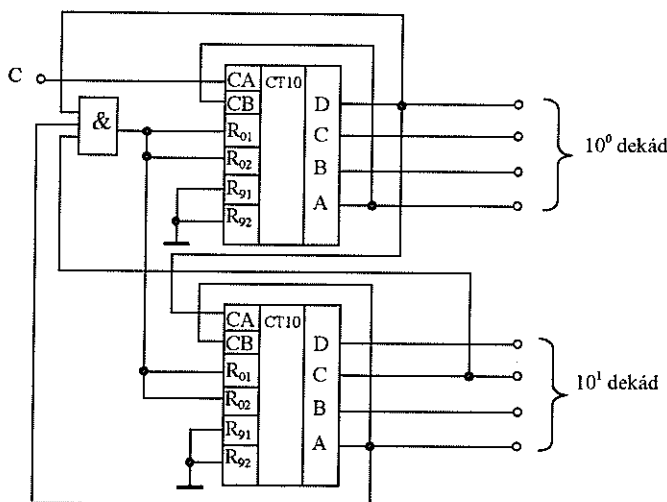
6.151. ábra

6.5.22. A függvény: $F_2 = B$. A számláló a **6.152.** ábrán látható.



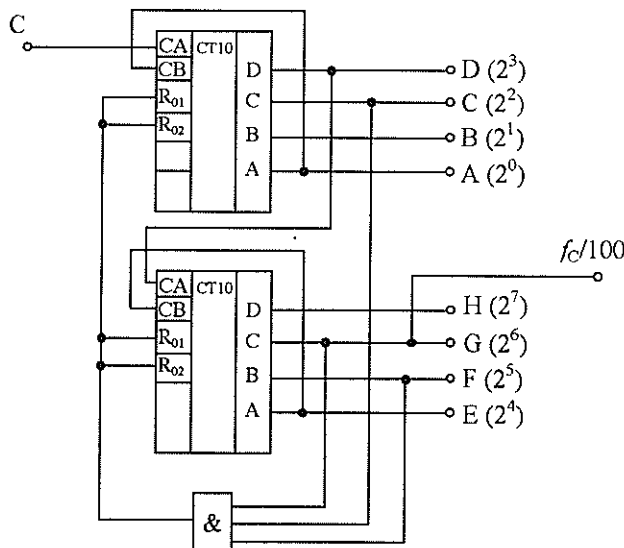
6.152. ábra

6.5.23. Törléshez a 10¹ dekádban: $F_6 = C \cdot B$, a 10⁰ dekádban: $F_8 = D$. A számláló a **6.153.** ábrán látható.



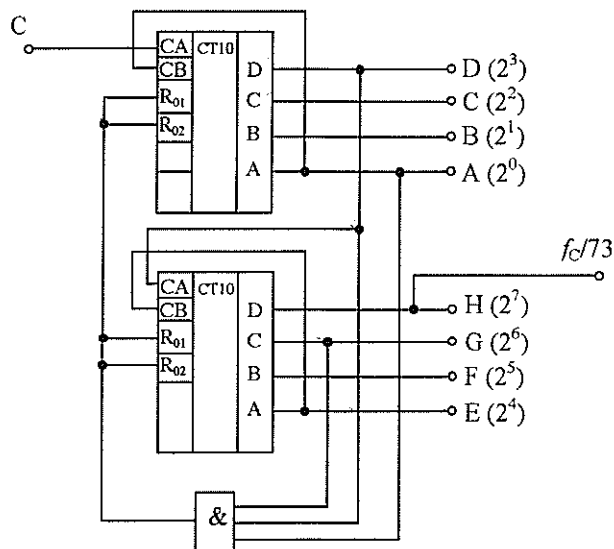
6.153. ábra

6.5.24. $F_6 = G \cdot F$; $F_4 = C$. A számláló a 6.154. ábrán látható.



6.154. ábra

6.5.25. $F_4 = G$; $F_9 = D \cdot A$. A kapcsolás a 6.155. ábrán látható.



6.155. ábra